



UNTERSUCHUNGEN ZUM REAKTIONSVERHALTEN VON
SILYLIERTEN AMINODICHLORPHOSPHANEN UND
HYDRAZINPHOSPHANEN GEGENÜBER LEWIS-SÄUREN

**Diplomarbeit aus dem Fachgebiet
Anorganische Chemie**

von

cand. chem. Andrea Westenkirchner

geboren am 25.01.1983

in Augsburg

für die Diplomhauptprüfung in der Chemie an der

Ludwig-Maximilians-Universität München

UNTERSUCHUNGEN ZUM REAKTIONSVERHALTEN VON
SILYLIERTEN AMINODICHLORPHOSPHANEN UND
HYDRAZINPHOSPHANEN GEGENÜBER LEWIS-SÄUREN

**Diplomarbeit aus dem Fachgebiet
Anorganische Chemie**

von

cand. chem. Andrea Westenkirchner
geboren am 25.01.1983
in Augsburg

für die Diplomhauptprüfung in der Chemie an der

Ludwig-Maximilians-Universität München

Datum der mündlichen Prüfung:	26.10.2009
Beginn der Diplomarbeit:	16.11.2009
Diplomarbeit beim Prüfungsausschuss eingereicht am:	17.05.2010

Erklärung

Ich versichere, dass ich die vorgelegte Diplomarbeit am Institut für Chemie am Lehrstuhl für Anorganische und Elementorganische Chemie der Universität Rostock unter der Betreuung von

Prof Dr. Axel Schulz

selbstständig angefertigt und keine anderen als die angegebenen Hilfsmittel und Quellen benützt habe.

Rostock, den 17.05.2010

(Unterschrift)

1. Gutachter: Prof. Dr. Karaghiosoff

2. Gutachter: Prof. Dr. Klapötke

Mein besonderer Dank gilt Herrn **Prof. Dr. Axel Schulz** für die Bereitstellung des interessanten Themas, das in mich gesetzte Vertrauen, für die mir eingeräumte wissenschaftliche Freiheit und das große Interesse an meiner Arbeit.

Herrn **Prof. Dr. Konstantin Karaghiosoff** möchte ich dafür danken, dass mir die Möglichkeit gegeben wurde, meine Diplomarbeit an der Universität Rostock zu machen. Außerdem danke ich für die Übernahme der ersten Gutachtertätigkeit.

Herrn **Prof. Dr. Thomas M. Klapötke** danke ich für die Übernahme der zweiten Gutachtertätigkeit.

Herrn **Dr. Ronald Wustrack** und Herrn **Dr. Alexander Villinger** danke ich für die großartige Zusammenarbeit und die zahlreichen Gespräche.

Außerdem möchte ich allen Mitarbeitern im Arbeitskreis Schulz danken für die freundliche Aufnahme und die vielen kleinen Hilfen im Laboralltag.

Mein Dank gilt auch der analytischen Abteilung der Universität Rostock und des LIKAT für die gute und problemlose Zusammenarbeit.

Mein ganz besonderer Dank gilt meinen Eltern für die Unterstützung, ihr Verständnis und die Ermöglichung des Studiums.

Meinen Eltern

Inhaltsverzeichnis.

1. Aufgabenstellung.	1
2. Allgemeiner Teil.	3
2.1 Abkürzungen.	3
2.2 Maßeinheiten.	4
3. Ergebnisse und Diskussion.	5
3.1 Umsetzung von <i>N</i> -[Tris(trimethylsilyl)silyl]- <i>N</i> -trimethylsilylamino-dichlorphosphan (1) mit verschiedenen perfluorierten Silbersalzen.	5
3.1.1 Einführung.	5
3.1.2 Darstellung und Charakterisierung von <i>N</i> -[Tris(trimethylsilyl)silyl]- <i>N</i> -trimethylsilylamino-bis(trifluoracetato)phosphan (Me ₃ Si) ₃ SiN(SiMe ₃)P(OCOCF ₃) ₂ (4)...	5
3.1.3 Kristallstruktur von 4.	7
3.1.4 Darstellung und Charakterisierung von Bis{ <i>N</i> -[(trifluormethylsulfonato)-bis(trimethylsilyl)silyl]- <i>N</i> -(trimethylsilyl)amino}-diphosphen (TfO)(SiMe ₃) ₂ SiN(SiMe ₃)P=PN(SiMe ₃)Si(SiMe ₃) ₂ (OTf) (5).	8
3.1.5 Kristallstruktur von 5.	9
3.1.6 Zusammenfassung.	11
3.2 Umsetzung verschiedener silylierter Hydrazinphosphane (SiMe ₃) ₂ NN(SiMe ₃)P(Cl)R (R = Me, Ph, C ₆ F ₅) und (SiMe ₃) ₂ NN(SiMe ₃)P(Me)Ph mit unterschiedlichen Lewis-Säuren (GaCl ₃ , AlCl ₃).	13
3.2.1 Einführung.	13
3.2.2 Darstellung und Charakterisierung der Ausgangsverbindungen.	15
3.2.2.1 Darstellung und Charakterisierung der Ausgangsverbindungen (Me ₃ Si) ₂ NN(SiMe ₃)P(Cl)R (R = Me, Ph, C ₆ F ₅) (9), (10), (11) und (Me ₃ Si) ₂ NN(SiMe ₃)P(Me)Ph (12).	15
3.2.2.2 Kristallstruktur von 11.	17
3.2.2.3 Versuchte Darstellung von <i>N,N',N'</i> -Tris(trimethylsilyl)hydrazin-chlor(2,4,6- <i>tert.</i> -butylphenyl)phosphan (SiMe ₃) ₂ NN(SiMe ₃)P(Cl)Mes* (13).	18
3.2.3 Darstellung und Charakterisierung der Hydrazinphosphan · Galliumtrichlorid-Addukte.	20

3.2.3.1 Darstellung und Charakterisierung der Hydrazinphosphan · Galliumtrichlorid-Addukte $(\text{Me}_3\text{Si})_2\text{NN}(\text{SiMe}_3)\text{P}(\text{Me})\text{R} \cdot \text{GaCl}_3$ ($\text{R} = \text{Cl}$ (14) $\text{R} = \text{Ph}$ (17), $(\text{Me}_3\text{Si})(\text{Me}_2\text{ClSi})\text{NN}(\text{SiMe}_3)\text{P}(\text{Me})\text{R} \cdot \text{ECl}_3$ ($\text{R} = \text{Ph}$; $\text{E} = \text{Ga}, \text{Al}$ (15, 18); $\text{R} = \text{C}_6\text{F}_5$ (16).	20
3.2.3.2 Kristallstrukturen von 14, 15, 17 und 18.....	25
3.2.4 Abtrennung des Galliumtrichlorids mit DMAP.	30
3.2.4.1 Darstellung und Charakterisierung der Hydrazinphospane $(\text{Me}_3\text{Si})(\text{Me}_2\text{ClSi})\text{NN}(\text{SiMe}_3)\text{P}(\text{Me})\text{R}$ ($\text{R} = \text{Ph}, \text{C}_6\text{F}_5$) (19), (20).....	30
3.2.4.2 Kristallstruktur von 20.	32
3.2.5 Zusammenfassung.....	33
4. Experimenteller Teil.....	35
4.1 Arbeitstechnik.....	35
4.2 Ausgangsverbindungen und Lösungsmittel.	35
4.3 Analysenmethoden.....	37
4.4 Reaktionen und Darstellungen.	39
4.4.1 <i>N</i> -[Tris(trimethylsilyl)silyl]- <i>N</i> -trimethylsilylamino-bis(trifluoracetato)phosphan $(\text{Me}_3\text{Si})_3\text{SiN}(\text{SiMe}_3)\text{P}(\text{OCOCF}_3)_2$ (4).....	39
4.4.2 Bis{ <i>N</i> -[(trifluormethylsulfonato)-bis(trimethylsilyl)silyl]- <i>N</i> -(trimethylsilyl)-amino }-diphosphen $(\text{TfO})(\text{SiMe}_3)_2\text{SiN}(\text{SiMe}_3)\text{P}=\text{PN}(\text{SiMe}_3)\text{Si}(\text{SiMe}_3)_2(\text{OTf})$ (5).....	40
4.4.3 <i>N,N',N'</i> -Tris(trimethylsilyl)hydrazinchlormethylphosphan $(\text{Me}_3\text{Si})_2\text{NN}(\text{SiMe}_3)\text{-P}(\text{Me})\text{Ph}$ (12).....	41
4.4.4 <i>N,N',N'</i> -Tris(trimethylsilyl)hydrazinchlormethylphosphan $(\text{Me}_3\text{Si})_2\text{NN}(\text{SiMe}_3)\text{-P}(\text{Cl})\text{Me}$ (9).	42
4.4.5 <i>N,N',N'</i> -Tris(trimethylsilyl)hydrazinchlorphenylphosphan $(\text{SiMe}_3)_2\text{NN}(\text{SiMe}_3)\text{-P}(\text{Cl})\text{Ph}$ (10).	43
4.4.6 <i>N,N',N'</i> -Tris(trimethylsilyl)hydrazin(pentafluorphenyl)chlorphosphan $(\text{Me}_3\text{Si})_2\text{NN}(\text{SiMe}_3)\text{P}(\text{C}_6\text{F}_5)\text{Cl}$ (11).....	44
4.4.7 Versuchte Darstellung von <i>N,N',N'</i> -Tris(trimethylsilyl)hydrazin-chlor(2,4,6- <i>tert.</i> -butylphenyl)phosphan $(\text{Me}_3\text{Si})_2\text{NN}(\text{SiMe}_3)\text{P}(\text{Cl})\text{Mes}^*$ (13).....	46
4.4.8 <i>N,N',N'</i> -Tris(trimethylsilyl)hydrazinmethylphenylphosphan·Galliumtrichlorid-Addukt $(\text{Me}_3\text{Si})_2\text{NN}(\text{SiMe}_3)\text{P}(\text{Me})\text{Ph} \cdot \text{GaCl}_3$ (17).....	47
4.4.9 <i>N,N',N'</i> -Tris(trimethylsilyl)hydrazinchlormethylphosphan·Galliumtrichlorid-Addukt $(\text{Me}_3\text{Si})_2\text{NN}(\text{SiMe}_3)\text{P}(\text{Cl})\text{Me} \cdot \text{GaCl}_3$ (14).	48

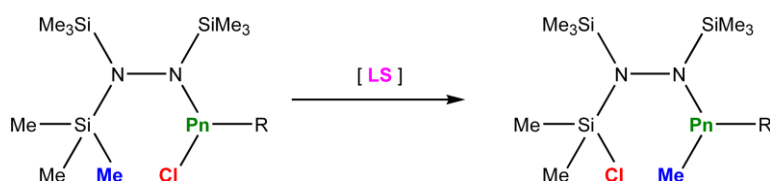
4.4.10 <i>N,N'</i> -Bis(trimethylsilyl)- <i>N</i> -(dimethylchlorsilyl)hydrazin(methyl)phenylphosphan · Galliumtrichlorid-Addukt $(\text{Me}_3\text{Si})(\text{Me}_2\text{ClSi})\text{NN}(\text{SiMe}_3)\text{P}(\text{Me})\text{Ph} \cdot \text{GaCl}_3$ (15).....	50
4.4.11 <i>N,N'</i> -Bis(trimethylsilyl)- <i>N</i> -(dimethylchlorsilyl)hydrazinmethylphenylphosphan · Aluminiumtrichlorid-Addukt $(\text{Me}_3\text{Si})(\text{Me}_2\text{ClSi})\text{NN}(\text{SiMe}_3)\text{P}(\text{Me})\text{Ph} \cdot \text{AlCl}_3$ (18).....	51
4.4.12 <i>N,N'</i> -Bis(trimethylsilyl)- <i>N</i> -(dimethylchlorsilyl)hydrazin(pentafluorphenyl)methylphosphan · Galliumtrichlorid-Addukt $(\text{Me}_3\text{Si})(\text{Me}_2\text{ClSi})\text{NN}(\text{SiMe}_3)\text{P}(\text{C}_6\text{F}_5)\text{Me} \cdot \text{GaCl}_3$ (16).....	53
4.4.13 <i>N,N'</i> -Bis(trimethylsilyl)- <i>N</i> -(dimethylchlorsilyl)hydrazinmethylphenylphosphan $(\text{Me}_3\text{Si})(\text{Me}_2\text{ClSi})\text{NN}(\text{SiMe}_3)\text{P}(\text{Me})\text{Ph}$ (19).....	54
4.4.14 <i>N,N'</i> -Bis(trimethylsilyl)- <i>N</i> -(dimethylchlorsilyl)hydrazin(pentafluorphenyl)methylphosphan $(\text{Me}_3\text{Si})(\text{Me}_2\text{ClSi})\text{NN}(\text{SiMe}_3)\text{P}(\text{C}_6\text{F}_5)\text{Me}$ (20).....	55
5. Zusammenfassung und Ausblick.....	57
6. Anhang.....	58
6.1 Einkristall-Röntgenstrukturanalyse von <i>N</i> -[Tris(trimethylsilyl)silyl]- <i>N</i> -trimethylsilylamino-bis(trifluoracetato)phosphan $(\text{Me}_3\text{Si})_3\text{SiN}(\text{SiMe}_3)\text{P}(\text{OCOCF}_3)_2$ (4).....	58
6.1.1 Angaben zur Einkristall-Röntgenstrukturanalyse von 4.	58
6.1.2 Ausgewählte Bindungslängen und Winkel von 4.....	59
6.2 Einkristall-Röntgenstrukturanalyse von Bis{ <i>N</i> -[(trifluormethylsulfonato)-bis(trimethylsilyl)silyl]- <i>N</i> -(trimethylsilyl)amino}diphosphen $(\text{TfO})(\text{SiMe}_3)_2\text{SiN}(\text{SiMe}_3)\text{P}=\text{PN}(\text{SiMe}_3)\text{Si}(\text{SiMe}_3)_2(\text{OTf})$ (5).....	63
6.2.1 Angaben zur Einkristall-Röntgenstrukturanalyse von 5.	63
6.2.2 Ausgewählte Bindungslängen und Winkel von 5.....	64
6.3 Einkristall-Röntgenstrukturanalyse von <i>N,N',N'</i> -Tris(trimethylsilyl)hydrazin-(pentafluorphenyl)chlorphosphan $(\text{Me}_3\text{Si})_2\text{NN}(\text{SiMe}_3)\text{P}(\text{C}_6\text{F}_5)\text{Cl}$ (11).	69
6.3.1 Angaben zur Einkristall-Röntgenstrukturanalyse von 11.	69
6.3.2 Ausgewählte Bindungslängen und Winkel von 11.....	70
6.4 Einkristall-Röntgenstrukturanalyse von <i>N,N',N'</i> -Tris(trimethylsilyl)hydrazinchlormethylphosphan · Galliumtrichlorid-Addukt $(\text{Me}_3\text{Si})_2\text{NN}(\text{SiMe}_3)\text{P}(\text{Cl})\text{Me} \cdot \text{GaCl}_3$ (14).....	72
6.4.1 Angaben zur Einkristall-Röntgenstrukturanalyse von 14.	72
6.4.2 Ausgewählte Bindungslängen und Winkel von 14.....	73

6.5 Einkristall-Röntgenstrukturanalyse von <i>N,N'</i> -Bis(trimethylsilyl)- <i>N</i> - (dimethylchlorsilyl)hydrazinmethylphenylphosphan · Galliumtrichlorid-Addukt (Me ₃ Si)(Me ₂ ClSi)NN(SiMe ₃)P(Me)Ph · GaCl ₃ -Addukt 15).	75
6.5.1 Angaben zur Einkristall-Röntgenstrukturanalyse von 15.	75
6.5.2 Ausgewählte Bindungslängen und Winkel von 15.	76
6.6 Einkristall-Röntgenstrukturanalyse von <i>N,N',N'</i> -Tris(trimethylsilyl)hydrazinmethyl- phenylphosphan · Galliumtrichlorid-Addukt (Me ₃ Si) ₂ NN(SiMe ₃)P(Me)Ph · GaCl ₃ (17).79	79
6.6.1 Angaben zur Einkristall-Röntgenstrukturanalyse von 17.	79
6.6.2 Ausgewählte Bindungslängen und Winkel von 17.	80
6.7 Einkristall-Röntgenstrukturanalyse von <i>N,N'</i> -Bis(trimethylsilyl)- <i>N</i> -(dimethyl- chlorsilyl)hydrazinmethylphenylphosphan · Aluminiumtrichlorid-Addukt (Me ₃ Si)(Me ₂ ClSi)NN(SiMe ₃)P(Me)Ph · AlCl ₃ (18).	83
6.7.1 Angaben zur Einkristall-Röntgenstrukturanalyse von 18.	83
6.7.2 Ausgewählte Bindungslängen und Winkel von 18.	84
6.8 Einkristall-Röntgenstrukturanalyse von <i>N,N'</i> -Bis(trimethylsilyl)- <i>N</i> -(dimethyl- chlorsilyl)hydrazin(pentafluorphenyl)methylphosphan (Me ₃ Si)(Me ₂ ClSi)NN(SiMe ₃)- P(C ₆ F ₅)Me (20).....	87
6.8.1 Angaben zur Einkristall-Röntgenstrukturanalyse von 20.	87
6.8.2 Ausgewählte Bindungslängen und Winkel von 20.	88
7. Literatur.	91

1. Aufgabenstellung.

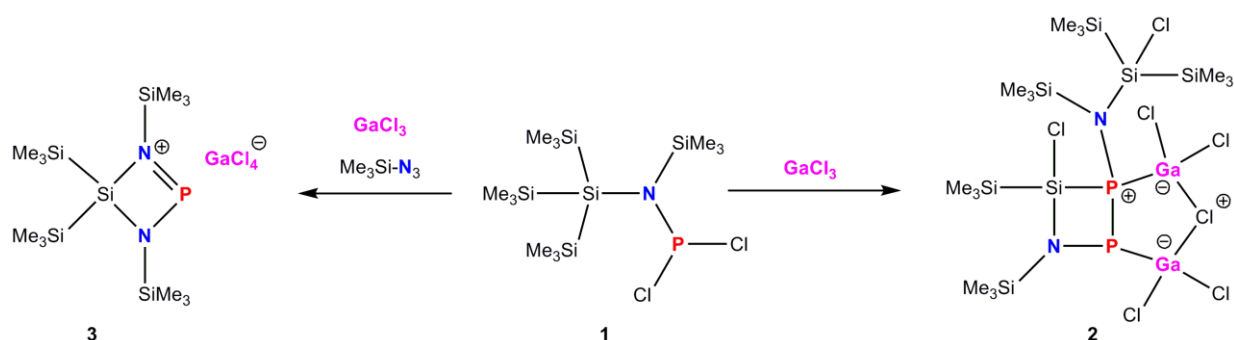
Ziel dieser Arbeit war es zu untersuchen, inwieweit das Prinzip der Lewis-Säure assistierten Methyl/Chlor-Austauschreaktion, die im Arbeitskreis erstmalig an silylierten Amino- und Hydrazindichlorarsanen $\text{RN}(\text{SiMe}_3)\text{AsCl}_2$ ($\text{R} = \text{Me}_3\text{Si}, (\text{Me}_3\text{Si})_2\text{N}, m\text{-terphenyl} = 2,6\text{-Me}_2\text{-C}_6\text{H}_3$)^[1,2] beschrieben wurde, auf die analogen Verbindungen des Phosphors übertragen werden können. Dafür sollten verschiedene P-substituierte, silylierte Hydrazinphosphane $(\text{SiMe}_3)_2\text{NN}(\text{SiMe}_3)\text{P}(\text{Cl})\text{R}$ ($\text{R} = \text{Me}, \text{Ph}, \text{C}_6\text{F}_5$) dargestellt, und die Reaktion mit unterschiedlichen Lewis-Säuren wie Gallium- oder Aluminiumtrichlorid untersucht werden. In Schema 1 ist der Methyl/Chlor-Austausch am Beispiel der silylierten Hydrazindichlorphosphane und -arsane dargestellt.

Schema 1. Methyl/Chlor-Austausch in silylierten Hydrazindichlor-pnictogen-Verbindungen ($\text{Pn} = \text{P}, \text{As}$; $\text{LS} = \text{GaCl}_3, \text{AlCl}_3$; $\text{R} = \text{Me}, \text{Ph}, \text{C}_6\text{F}_5, \text{Cl}$).



Des Weiteren sollte untersucht werden, wie Hypersilyl- (trimethylsilyl)dichlorphosphan $\text{HypN}(\text{SiMe}_3)\text{PCl}_2$ (**1**) ($\text{Hyp} = \text{Si}(\text{SiMe}_3)_3$) mit den Silbersalzen perfluorierter Anionen als Lewis-Säuren reagiert. In vorausgehenden Untersuchungen mit Galliumtrichlorid als Lewis-Säure konnten verschiedene Cyclisierungsreaktionen^[3] beobachtet werden, die in Schema 2 abgebildet sind.

Schema 2. GaCl_3 -assistierte Cyclisierung von $\text{HypN}(\text{SiMe}_3)\text{PCl}_2$ mit und ohne Trimethylsilylazid.



Die Untersuchung der Struktur sowie des chemischen Verhaltens der Verbindungen sollte durch schwingungsspektroskopische Methoden (IR/Raman-Spektroskopie) und multinukleare Kernresonanzspektroskopie (^{31}P -, ^{29}Si -, ^{19}F -, ^{13}C - und ^1H -NMR) in Lösung zum einen, zum anderen mit Hilfe der Röntgendiffraktometrie an geeigneten Einkristallen erfolgen. Das thermische Verhalten der Verbindungen sollte anhand von DSC-Messungen untersucht werden.

2. Allgemeiner Teil.

2.1 Abkürzungen.

Die in der vorliegenden Arbeit verwendeten Abkürzungen sind in Tabelle 1 aufgeführt.

Tabelle 1. Verwendete Abkürzungen.

Abb.	Abbildung	lt.	laut
Aryl	Phenyl, Pentafluorphenyl	Mes	2,4,6-trimethylphenyl
ber.	berechnet	Mes*	2,4,6-tri- <i>tert.</i> butylphenyl
bzw.	beziehungsweise	MS	Massenspektroskopie
CHN	Elementaranalyse	Me	Methyl
d	Bindungslänge	mmol	Millimol
d_{kov}	Summe der Kovalenzradien	NMR	nuclear magnetic resonance
r_{vdW}	Van-der-Waals-Radius	Ph	Phenyl
d	Duplett	ppm	parts per million
δ	chemische Verschiebung	q	Quartett
DMAP	4- <i>N,N</i> -(Dimethylamino)pyridin	RT	Raumtemperatur
gef.	gefunden	s	Singulett
h	Stunde	Smp.	Schmelzpunkt
Hypersilyl (Hyp)	Tris(trimethylsilyl)silyl	t	Triplett
LP	lone pair	THF	Tetrahydrofuran
LS	Lewis-Säure	vgl.	vergleiche

2.2 Maßeinheiten.

Es wurden die im internationalen Einheitensystem (SI) geltenden Maßeinheiten verwendet, alle davon abweichende, in der Arbeit verwendete Einheiten und deren Umrechnung in SI-Einheiten sind in Tabelle 2 aufgeführt.

Tabelle 2. Vom SI-System abweichende Einheiten.

Größe	Symbol	Bezeichnung	Umrechnung in SI-Einheit
Länge	Å	Ångström	$1 \text{ Å} = 100 \text{ pm}$
Temperatur	°C	Grad Celsius	$x \text{ °C} = (x + 273.15) \text{ K}$
Wellenzahl	cm^{-1}	reziproke Zentimeter	$1 \text{ cm}^{-1} = 100 \text{ m}^{-1}$
Zeit	h	Stunde	$1 \text{ h} = 3600 \text{ s}$
Energie	kal.	Kalorie	$1 \text{ kal.} = 4.1868 \text{ J}$

3. Ergebnisse und Diskussion.

3.1 Umsetzung von *N*-[Tris(trimethylsilyl)silyl]-*N*-trimethylsilylamino-dichlorphosphan (**1**) mit verschiedenen perfluorierten Silbersalzen.

3.1.1 Einführung.

Sperrige und elektronenreiche Reste wie z.B. die Hypersilylgruppe dienen zur Stabilisierung niedriger Oxidationsstufen und ungewöhnlicher Strukturelemente.^[4] Dies hat sich bereits in vorausgehenden Umsetzungen von *N*-[Tris(trimethylsilyl)silyl]-*N*-trimethylsilylamino-dichlorphosphan mit GaCl₃ als Lewis-Säure gezeigt, wobei verschiedene cyclische Verbindungen isoliert werden konnten.^[9]

In diesem Zusammenhang soll nun *N*-[Tris(trimethylsilyl)silyl]-*N*-trimethylsilylamino-dichlorphosphan (**1**) mit Silbersalzen perfluorierter Anionen als Lewis-Säuren umgesetzt werden.

3.1.2 Darstellung und Charakterisierung von *N*-[Tris(trimethylsilyl)silyl]-*N*-trimethylsilylamino-bis(trifluoracetato)phosphan (Me₃Si)₃SiN(SiMe₃)P(OCOCF₃)₂ (**4**).

Die Umsetzung einer Lösung von *N*-[Tris(trimethylsilyl)silyl]-*N*-trimethylsilylamino-dichlorphosphan HypN(SiMe₃)PCl₂ (**1**) mit Silbertrifluoracetat (AgTFA) in Toluol bei -70°C führt in einer schnellen, quantitativen Reaktion zur Bildung einer neuen Spezies mit einer ³¹P-NMR-Resonanz bei 161.3 ppm (vgl. HypN(SiMe₃)PCl₂ 191.2 ppm), was im Bereich dreifach-koordinierter Phosphor(III)-Verbindungen liegt. Nach Abtrennen des Niederschlages und Entfernen des Lösungsmittels wird **4** in Form eines farblosen Feststoffs erhalten.

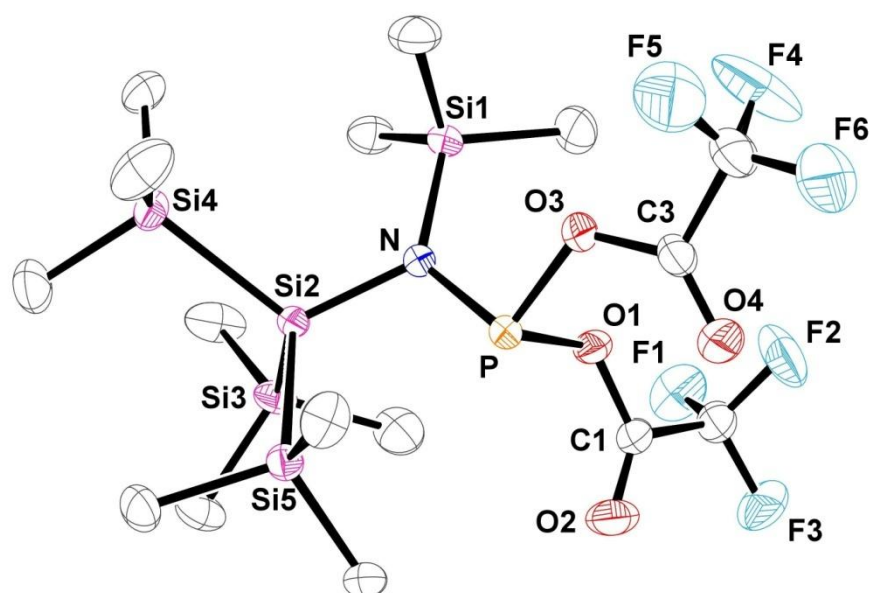
Für die Einkristallröntgenstrukturanalyse geeignete Kristalle erhält man, indem eine konzentrierte *n*-Pentan-Lösung von **4** über 12 Stunden auf -40 °C gekühlt wird. Die Strukturanalyse ergibt das zweifach Trifluoracetat-substituierte Produkt *N*-[Tris(trimethylsilyl)silyl]-*N*-trimethylsilylamino-bis(trifluoracetato)phosphan (Me₃Si)₃SiN(SiMe₃)P(OCOCF₃)₂ (**4**) (Schema 3).

Schema 3. Reaktion von *N*-[Tris(trimethylsilyl)silyl]-*N*-trimethylsilylamino-dichlorphosphan mit 2 Äquivalenten Silbertrifluoracetat zu **4**.



Die zweifache Substitution der Chlor-Atome durch zwei Trifluoracetat-Gruppen unter Silberchlorid-Eliminierung stellt eine schnelle und saubere Reaktion dar, die in guten Ausbeuten zu **4** führt (Reaktionszeit 3 h, Ausbeute > 75 %). **4** ist luft- und feuchtigkeitsempfindlich, jedoch in einer Argonatmosphäre und in üblichen organischen Lösungsmitteln (z.B. Benzol, CH₂Cl₂, Ether) über einen längeren Zeitraum stabil. Unbegrenzt lagern lässt sich **4** in einer abgeschmolzenen Ampulle im Kühlschrank. Dies zusammen mit der sehr guten Löslichkeit in nahezu allen gebräuchlichen organischen Lösungsmitteln macht die Verbindung zu einer guten Ausgangssubstanz für neue Synthesziele.

Abbildung 1. ORTEP-Darstellung der Molekülstruktur von **4** im Kristall mit Atomnummerierung. Verschiebungsellipsoide (bei 173 K) sind bei 50 % Wahrscheinlichkeit gezeichnet (H-Atome sind nicht dargestellt). Strukturdaten siehe Kapitel 6.1.2.



3.1.3 Kristallstruktur von **4**.

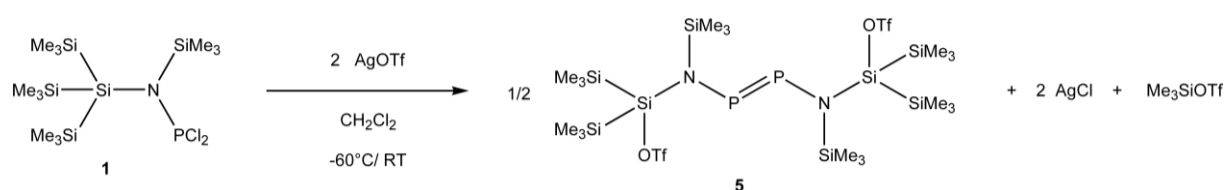
4 kristallisiert in der monoklinen Raumgruppe $C2/c$ mit acht Molekülen in der Elementarzelle (Abb. 1). Der P-N-Abstand von $1.633(1) \text{ \AA}$ ist deutlich kürzer als die Summe der Kovalenzradien ($d_{\text{kov}}(\text{N-P}) = 1.8 \text{ \AA}$, $d_{\text{kov}}(\text{N=P}) = 1.6 \text{ \AA}$)⁵. Dies deutet auf einen partiellen Doppelbindungscharakter für die P-N-Bindung hin. Das N-Atom ist ideal trigonal planar koordiniert (Winkelsumme 360.0°), wodurch sich das Elektronenpaar am N-Atom in einem reinen p-Orbital befindet. Dadurch wird eine Hyperkonjugation mit den benachbarten σ^* -Orbitalen der Phosphor-Sauerstoff-Bindungen möglich ($\text{LP}(\text{N}) \rightarrow \sigma^*(\text{P-O})$), wodurch die P-N-Bindung verkürzt wird. Dies wurde bereits bei verschiedenen silylierten Hydrazindichlorphosphanen beobachtet, und theoretisch untersucht.^[6] Im Vergleich zur Ausgangsverbindung N -[Tris(trimethylsilyl)silyl]- N -trimethylsilylamino-dichlorphosphan $\text{HypN}(\text{SiMe}_3)\text{PCl}_2$ (**1**), bei der die P-N-Bindungslänge $1.6451(9) \text{ \AA}$ beträgt, ist die P-N-Bindung in **4** etwas kürzer. Die Phosphor-Sauerstoff-Bindungen liegen mit $1.712(1) \text{ \AA}$ sowie $1.721(1) \text{ \AA}$ im Bereich einer typischen P-O-Einfachbindung ($d_{\text{kov}}(\text{P-O}) = 1.72 \text{ \AA}$).^[5]

3.1.4 Darstellung und Charakterisierung von Bis{*N*-[(trifluormethylsulfonato)-bis(trimethylsilyl)silyl]-*N*-(trimethylsilyl)amino}-diphosphen (TfO)(SiMe₃)₂SiN(SiMe₃)P=PN(SiMe₃)Si(SiMe₃)₂(OTf) (5).

Bei Zugabe einer Lösung von 2 Äquivalenten Silbertrifluorsulfonat (AgOTf) zu *N*-[Tris(trimethylsilyl)silyl]-*N*-trimethylsilylamino-dichlorphosphan HypN(SiMe₃)PCl₂ (**1**) in Dichlormethan bei -60 °C wird eine orange Suspension erhalten. In den ³¹P-NMR-Spektren des Reaktionsgemisches beobachtet man innerhalb einer Stunde bei Raumtemperatur die schnelle, quantitative Bildung einer neuen Phosphorspezies **5** mit einer ³¹P-NMR-Resonanz bei 500 ppm. Dieses stark tieffeldverschobene Signal liegt im Bereich einer typischen P-P-Doppelbindung (cf. die ³¹P-NMR-Resonanz des N-gebundenen P-Atoms in 2,4,6-Tri-*tert*-butylphenyl-bis(trimethylsilyl)amino-diphosphen Mes*P=PN(SiMe₃)₂ liegt bei 501.5 ppm).^[7] Nach Abtrennen des Silberchlorids und Entfernen der flüchtigen Komponenten im Vakuum wird **5** in Form eines orangen Feststoffes erhalten.

Für eine Kristallstrukturanalyse geeignete Kristalle erhält man, da **5** bei -25 °C über 12 Stunden aus *n*-Hexan kristallisiert. Die Strukturanalyse bestätigte die Bildung eines Diphosphens (TfO)(SiMe₃)₂SiN(SiMe₃)P=PN(SiMe₃)Si(SiMe₃)₂(OTf) (**5**).

Schema 4. Reaktion von *N*-[Tris(trimethylsilyl)silyl]-*N*-trimethylsilylamino-dichlorphosphan mit Silbertriflat zu **5**.

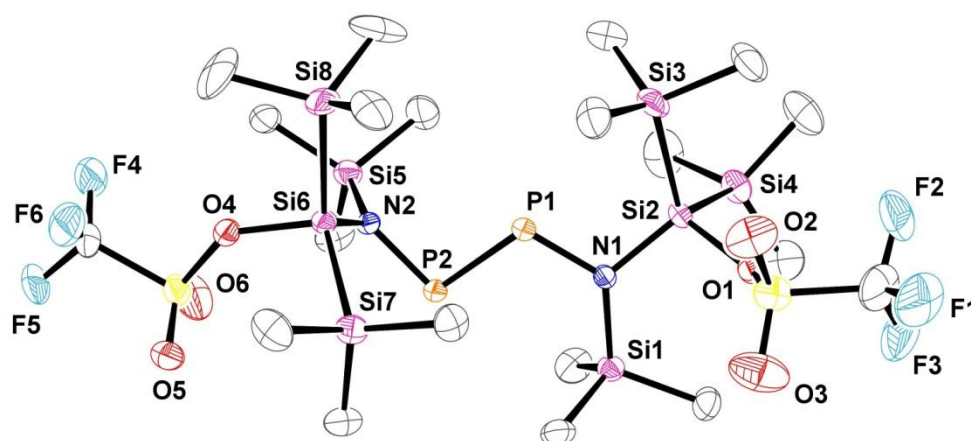


Somit ist in dieser Reaktion nicht, wie zu vermuten wäre, das substituierte Produkt analog der Reaktion von *N*-[Tris(trimethylsilyl)silyl]-*N*-trimethylsilylamino-dichlorphosphan (**1**) mit Silbertrifluoracetat, die zur zweifach Trifluoracetat-substituierten Spezies **4** geführt hat, entstanden, sondern eine dimere Spezies mit einer P-P-Doppelbindung (**5**).

3.1.5 Kristallstruktur von 5.

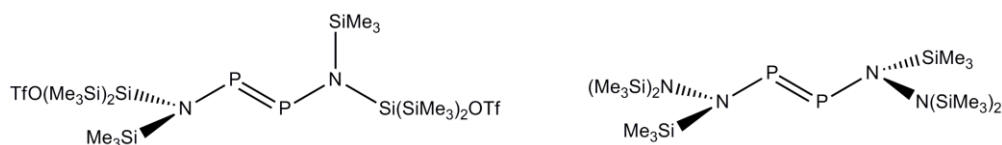
5 kristallisiert in der monoklinen Raumgruppe $P2_1/n$ mit vier Molekülen in der Elementarzelle (Abb. 2). Mit Ausnahme der SiMe_3 -Gruppen an den Si-Atomen Si1, Si3, Si4, Si5 und Si7 ist das gesamte Molekül auf zwei Lagen fehlgeordnet. Die P-P-Bindung besitzt mit $2.050(2) \text{ \AA}$ deutlichen Doppelbindungscharakter ($d_{\text{kov}}(\text{P}=\text{P}) = 2.02 \text{ \AA}$), und liegt im selben Bereich wie in Bis[tris(trimethylsilyl)hydrazin]diphosphen (Me_3Si)₂NN(SiMe₃)P=PN-(SiMe₃)N(SiMe₃)₂ mit einer P-P-Bindungslänge von $2.038(1) \text{ \AA}$.^[8]

Abbildung 2. ORTEP-Darstellung der Molekülstruktur von **5** im Kristall mit Atomnummerierung. Verschiebungsellipsoide (bei 173 K) sind bei 30 % Wahrscheinlichkeit gezeichnet (H-Atome und Fehlordnung sind nicht dargestellt). Strukturdaten siehe Kapitel 6.2.2.



Die P1-N1-bzw. P2-N2-Bindung befindet sich mit $1.704(4)$ bzw. $1.747(3) \text{ \AA}$ zwischen einer P-N-Einfachbindung ($d_{\text{kov}}(\text{P}-\text{N}) = 1.80 \text{ \AA}$) und einer P-N-Doppelbindung ($d_{\text{kov}}(\text{P}=\text{N}) = 1.61 \text{ \AA}$), was auf einen partiellen Doppelbindungscharakter hinweist. Der Wert von $1.704(4) \text{ \AA}$ für die P-N-Bindung ist vergleichbar mit dem Wert für diese Bindung in Bis[tris(trimethylsilyl)hydrazin]diphosphen ($1.700(2) \text{ \AA}$).^[8]

Schema 5. Unterschiedliche Konfigurationen der N-P-P-N-Einheiten in **5** bzw. Bis[tris(trimethylsilyl)hydrazin]diphosphen.



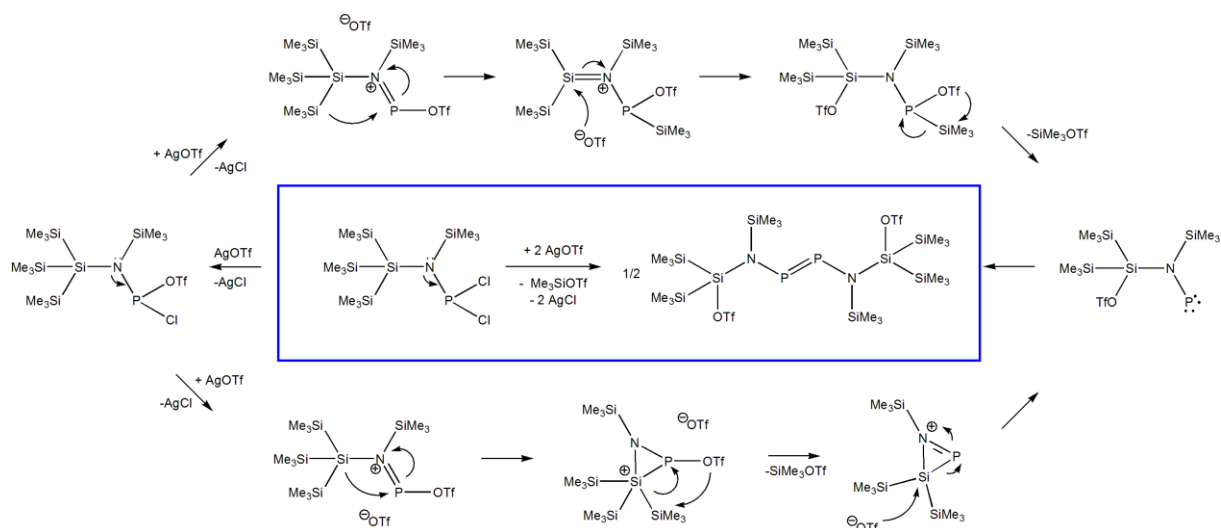
Si1, N1, P1, P2 und N2 liegen annähernd in einer Ebene ($\angle \text{N1-P1-P2-N2} = -178.9(2)^\circ$, $\angle \text{P2-P1-N1-Si1} = -1.5(3)^\circ$), während die P2-N2-Si5-Si6-Ebene orthogonal dazu steht ($\angle \text{P1-P2-N2-Si6} = -89.6(2)^\circ$). Im Unterschied dazu befindet sich in Bis[tris(trimethylsilyl)hydrazin]diphosphen $(\text{Me}_3\text{Si})_2\text{NN}(\text{SiMe}_3)\text{P}=\text{PN}(\text{SiMe}_3)\text{NSiMe}_3)_2$ lediglich die N-P-P-N-Einheit in einer Ebene, während die SiMe_3 -Gruppen an den Phosphor-gebundenen Stickstoff-Atomen außerhalb dieser Ebene liegen (Schema 5).

3.1.6 Zusammenfassung.

Zusammenfassend kann gesagt werden, dass sowohl mit **4** als auch mit **5** die Darstellung eines disubstituierten Produkts bzw. einer P-P-verknüpften Spezies in hohen Ausbeuten (> 76 %) gelungen ist. Bei der Reaktion von *N*-[Tris(trimethylsilyl)silyl]-*N*-trimethylsilylamino-dichlorphosphan ($(\text{Me}_3\text{Si})_3\text{SiN}(\text{SiMe}_3)\text{PCl}_2$ (**1**) mit AgTFA werden beide Chloratome durch Trifluoracetatgruppen substituiert, wohingegen bei der Reaktion mit AgOTf kein einfacher Austausch stattfindet, sondern ein dimeres Produkt mit einer P-P-Doppelbindung entsteht, wobei eine formale Reduktion des Phosphors stattfindet.

Eine einfache Erklärung für die unterschiedliche Tendenz zur nukleophilen Substitution (**4**) bzw. zur Umlagerung/Dimerisierung (**5**) gibt es nicht. Ein offensichtlicher Unterschied der beiden Anionen TFA bzw. OTf ist die Ladungsverteilung der Carboxylat- bzw. Sulfonat-Einheit. Im Falle der Trifluoracetatgruppe (TFA) (**4**) ist die negative Ladung auf die zwei Sauerstoffatome des TFA-Substituenten verteilt, in der Trifluormethansulfonatgruppe (OTf) hingegen auf drei Sauerstoffatome (**5**), weshalb TFA das stärkere und härtere Nukleophil darstellt. Daher entsteht **4**, in dem die beiden Chloratome durch TFA substituiert werden.

Schema 6. Zwei mögliche formale Mechanismen der Reaktion von *N*-[Tris(trimethylsilyl)silyl]-*N*-trimethylsilylamino-dichlorphosphan mit Silbertriflat zu (**5**).



Bei der Reaktion mit AgOTf ist eine Substitution der Chloratome als erster Reaktionsschritt ebenfalls wahrscheinlich, jedoch findet im weiteren Verlauf der Reaktion

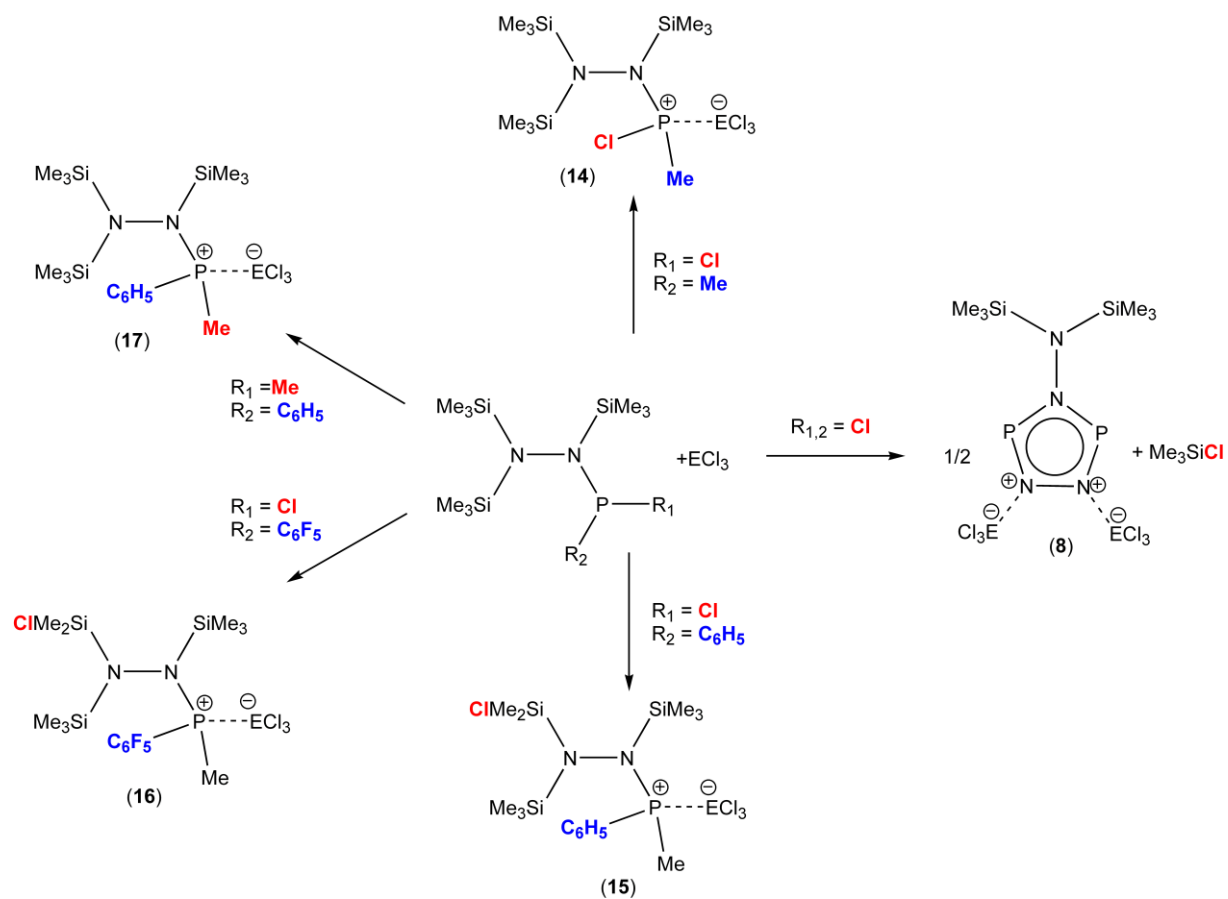
offensichtlich eine Abspaltung sowie eine Wanderung einer Silylgruppe statt. Die Reaktion könnte entweder 1) schrittweise unter Bildung einer $\text{P}(\text{OTf})\text{SiMe}_3$ -Gruppe und anschließender Me_3SiOTf -Eliminierung am Phosphor und Phosphiniden-Bildung oder 2) konzertiert durch Me_3SiOTf -Eliminierung zwischen der Hypersilylgruppe und einem möglichen, cyclischen Phosphenium-Kation POTf^+ , ebenfalls unter Bildung eines Phosphinidens, erfolgen. Es ist zu erwähnen, dass die Reaktion mehrmals durchgeführt wurde und immer ohne Nebenprodukte zum gleichen Produkt führte.

3.2 Umsetzung verschiedener silylierter Hydrazinphosphane $(\text{SiMe}_3)_2\text{NN}(\text{SiMe}_3)\text{P}(\text{Cl})\text{R}$ ($\text{R} = \text{Me}, \text{Ph}, \text{C}_6\text{F}_5$) und $(\text{SiMe}_3)_2\text{NN}(\text{SiMe}_3)\text{P}(\text{Me})\text{Ph}$ mit unterschiedlichen Lewis-Säuren ($\text{GaCl}_3, \text{AlCl}_3$).

3.2.1 Einführung

Bisherige Reaktionen des silylierten Hydrazinphosphans $(\text{SiMe}_3)_2\text{NN}(\text{SiMe}_3)\text{PCl}_2$ (**7**) mit GaCl_3 führten in einer [3+2] Cycloaddition zu einem fünfgliedrigen Triazadiphosphol (**8**), das als GaCl_3 -Mono- oder Diaddukt stabilisiert wird.^[2] Die Lewis-Säure GaCl_3 ist notwendig, um die Aktivierungsbarriere für die Abspaltung von Me_3SiCl , die Triebkraft der Reaktion ist, herabzusetzen und um das Triazaphosphol durch Adduktbildung zu stabilisieren. Bei der analogen Arsen-Spezies führte die Umsetzung mit GaCl_3 hingegen nicht zu einer cyclischen Verbindung, sondern es erfolgte eine Chlor-Methyl-Austauschreaktion zwischen den Silylgruppen und dem Arsen-Zentrum, wobei das entstandene Dimethylarsan-Derivat schließlich als GaCl_3 -Addukt isoliert wurde. Hierbei fungiert die Lewis-Säure als Katalysator und lässt sich mit einer stärkeren Base wie 4-*N,N*-(Dimethylamino)pyridin (DMAP) abtrennen.

Da $(\text{SiMe}_3)_2\text{NN}(\text{SiMe}_3)\text{PCl}_2$ (**7**) und die analoge Arsen-Spezies $(\text{SiMe}_3)_2\text{NN}(\text{SiMe}_3)\text{AsCl}_2$ mit der Lewis-Säure GaCl_3 zu zwei unterschiedlichen Verbindungen reagieren, war es interessant zu untersuchen, wie sich verschiedene Substituenten am Phosphor auf den Reaktionsverlauf auswirken. Dazu wurden verschiedene substituierte silylierte Hydrazinphosphan-Derivate $\{(\text{SiMe}_3)_2\text{NN}(\text{SiMe}_3)\text{P}(\text{Cl})\text{R} \text{ (R = Me, Ph, C}_6\text{F}_5)$ und $(\text{SiMe}_3)_2\text{NN}(\text{SiMe}_3)\text{P}(\text{Me})\text{Ph}\}$ synthetisiert und diese mit verschiedenen Lewis-Säuren (GaCl_3 und AlCl_3) umgesetzt (Schema 7).

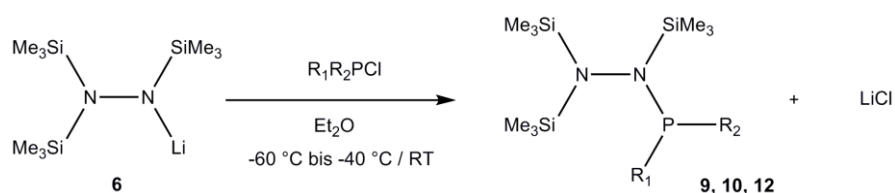


Schema 7. Reaktionswege von substituiertem $(\text{Me}_3\text{Si})_2\text{NN}(\text{SiMe}_3)\text{P}(\text{R}_1)\text{R}_2$ nach Zugabe von ECl_3 ($\text{E} = \text{Al, Ga}$).

3.2.2 Darstellung und Charakterisierung der Ausgangsverbindungen.

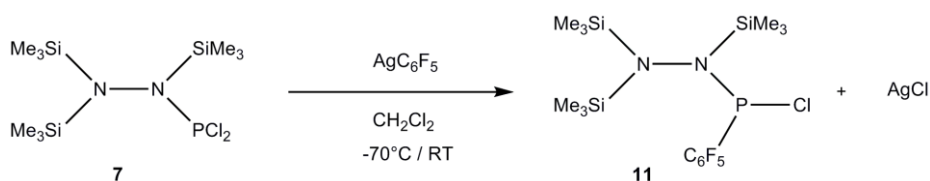
3.2.2.1 Darstellung und Charakterisierung der Ausgangsverbindungen $(\text{Me}_3\text{Si})_2\text{NN}(\text{SiMe}_3)\text{P}(\text{Cl})\text{R}$ ($\text{R} = \text{Me}, \text{Ph}, \text{C}_6\text{F}_5$) (**9**), (**10**), (**11**) und $(\text{Me}_3\text{Si})_2\text{NN}(\text{SiMe}_3)\text{P}(\text{Me})\text{Ph}$ (**12**)

Schema 8. Synthese der Hydrazinphosphate ($\text{R}_1 = \text{Cl}, \text{R}_2 = \text{Me}, \text{Ph}; \text{R}_1 = \text{Me}, \text{R}_2 = \text{Ph}$).



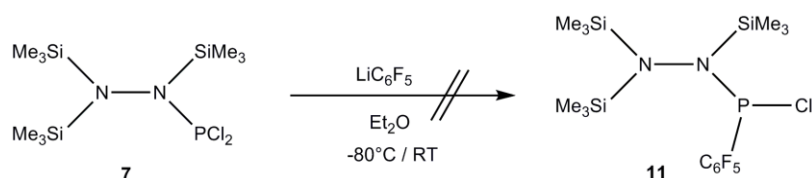
Die silylierten Hydrazinphosphate $(\text{SiMe}_3)_2\text{NN}(\text{SiMe}_3)\text{P}(\text{Cl})\text{Me}$ (**9**), $(\text{SiMe}_3)_2\text{NN}(\text{SiMe}_3)\text{P}(\text{Cl})\text{Ph}$ (**10**) und $(\text{SiMe}_3)_2\text{NN}(\text{SiMe}_3)\text{P}(\text{Me})\text{Ph}$ (**12**) lassen sich in einer Salzeliminierungsreaktion aus einer Lösung des entsprechenden Chlorphosphan $\text{R}_1\text{R}_2\text{P-Cl}$ ($\text{R}_1 = \text{Cl}, \text{R}_2 = \text{Me}, \text{Ph}; \text{R}_1 = \text{Me}, \text{R}_2 = \text{Ph}$) mit Lithium-*N,N',N'*-tris(trimethylsilyl)hydrazid $(\text{SiMe}_3)_2\text{NN}(\text{SiMe}_3)\text{Li}$ (**6**) in Diethylether bei -60 bis -40 °C schnell, sauber und mit sehr guten bis moderaten Ausbeuten (> 60 %) synthetisieren. Nach Extraktion mit *n*-Hexan werden **9**, **10** und **12** jeweils in Form eines farblosen Feststoffs erhalten (**10** und **12** können zur Reinigung sublimiert werden). **9**, **10** und **12** sind luft- und feuchtigkeitsempfindlich, jedoch in einer Argon-Atmosphäre und in üblichen organischen Lösungsmitteln (z.B. CH_2Cl_2 , Ether, *n*-Hexan) über einen längeren Zeitraum stabil. Unbegrenzt lagern lassen sich die Verbindungen unter Lichtausschluss in einer abgeschmolzenen Glasampulle. Zusammen mit der sehr guten Löslichkeit in fast allen gebräuchlichen Lösungsmitteln macht dies **9**, **10** und **12** zu guten Ausgangsverbindungen für neue Synthesen.

Schema 9. Synthese von $(\text{Me}_3\text{Si})\text{NN}(\text{SiMe}_3)\text{P}(\text{C}_6\text{F}_5)\text{Cl}$ (**11**) aus $(\text{Me}_3\text{Si})_2\text{NN}(\text{SiMe}_3)\text{P-Cl}_2$ (**7**) und AgC_6F_5 .



Im Gegensatz zu **9**, **10** und **12** wurde *N,N',N'*-Tris(trimethylsilyl)hydrazin-(pentafluorphenyl)chlorphosphan ($(\text{Me}_3\text{Si})_2\text{NN}(\text{SiMe}_3)\text{P}(\text{C}_6\text{F}_5)\text{Cl}$) (**11**) nicht in der analogen Salzeliminierungsreaktion (Schema 10) dargestellt (siehe unten). Die Synthese von **11** erfolgte durch Zugabe einer Lösung von Pentafluorphenylsilber AgC_6F_5 in Dichlormethan zu einer Lösung von *N,N',N'*-Tris(trimethylsilyl)hydrazindichlorphosphan ($(\text{Me}_3\text{Si})_2\text{NN}(\text{SiMe}_3)\text{PCl}_2$) (**7**) (Schema 9). Nach Extraktion mit *n*-Hexan wird **11** in Form eines gelben Öls erhalten, welches zur Reinigung sublimiert wird. **11** wird dabei als kristalliner farbloser Feststoff erhalten. Die ^{31}P -NMR-Resonanz von **11** liegt bei 105.7 ppm, gemessen in CD_2Cl_2 (vgl. $(\text{Me}_3\text{Si})_2\text{NN}(\text{SiMe}_3)\text{PCl}_2$ (**7**) 165 ppm in Pentan/ C_6D_6 ^[15] und 166.6 ppm in CDCl_3 ^[6]).

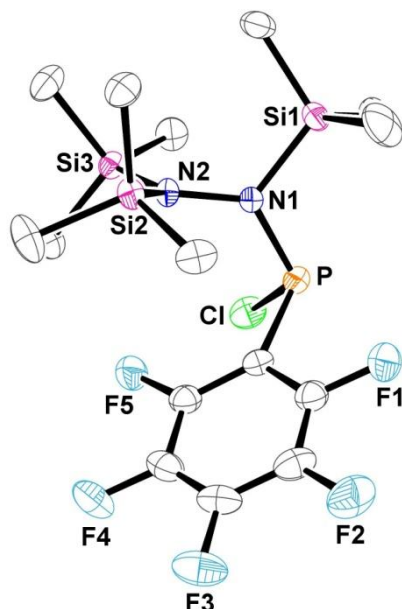
Schema 10. Versuchte Synthese von **11** aus *N,N',N'*-Tris(trimethylsilyl)hydrazindichlorphosphan (**7**) und LiC_6F_5 .



Es ist nicht gelungen, **11** durch Reaktion von $(\text{SiMe}_3)_2\text{NN}(\text{SiMe}_3)\text{PCl}_2$ (**7**) mit LiC_6F_5 , welches *in situ* aus Brompentafluorbenzol BrC_6F_5 und *n*-BuLi hergestellt wurde, darzustellen (Schema 10). Das ^{31}P -NMR-Spektrum der Reaktionslösung hat gezeigt, dass neben 53 % der Ausgangsverbindung $(\text{SiMe}_3)_2\text{NN}(\text{SiMe}_3)\text{PCl}_2$ (**7**) nur 39 % des gewünschten Produkts *N,N',N'*-Tris(trimethylsilyl)hydrazin(pentafluorphenyl)chlorphosphan ($(\text{Me}_3\text{Si})_2\text{NN}(\text{SiMe}_3)\text{P}(\text{C}_6\text{F}_5)\text{Cl}$) (**11**) entstanden sind. Mit einer anschließend durchgeführten Sublimation konnte keine Abtrennung des Edukts erzielt werden.

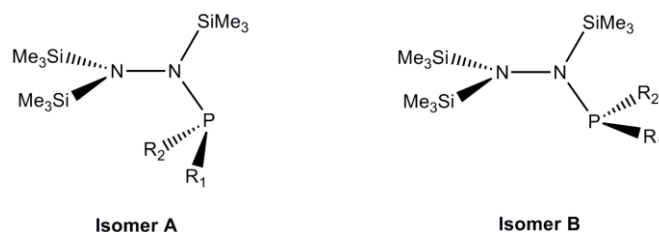
3.2.2.2 Kristallstruktur von 11.

Abbildung 3. ORTEP-Darstellung der Molekülstruktur von **11** im Kristall mit Atomnummerierung. Verschiebungsellipsoide (bei 173 K) sind bei 50 % Wahrscheinlichkeit gezeichnet (H-Atome sind nicht dargestellt). Strukturdaten siehe Kapitel 6.3.2.



11 kristallisiert in der monoklinen Raumgruppe $P2_1/c$ mit vier Molekülen in der Elementarzelle (Abb. 3). Wie bereits theoretisch untersucht wurde,^[2,6] können silylierte Hydrazinphosphane in zwei möglichen Konfigurationen vorliegen. Der Unterschied zwischen beiden Isomeren ist die Position der PR_1R_2 -Einheit, bei der sich die beiden Substituenten am Phosphor (R_1 , R_2) entweder in *trans*- oder *cis*-Konfiguration zur $SiMe_3$ -Gruppe an N1 befinden können (Schema 11, Isomere A und B). In *N,N',N'*-Tris(trimethylsilyl)hydrazinchlorphenylphosphan ($SiMe_3$)₂NN($SiMe_3$)P(Cl)Ph (**10**) liegen die beiden Substituenten am Phosphor (Cl, Ph) in *trans*-Stellung zur $SiMe_3$ -Gruppe vor,^[6] auch *N,N',N'*-Tris(trimethylsilyl)hydrazin(pentafluorphenyl)chlorphosphan (Me_3Si)₂NN($SiMe_3$)-P(C₆F₅)Cl (**11**) weist die *trans*-Konfiguration auf.

Schema 11. Mögliche Isomere für silylierte Hydrazinphosphane (A: *trans*-Isomer, B: *cis*-Isomer).

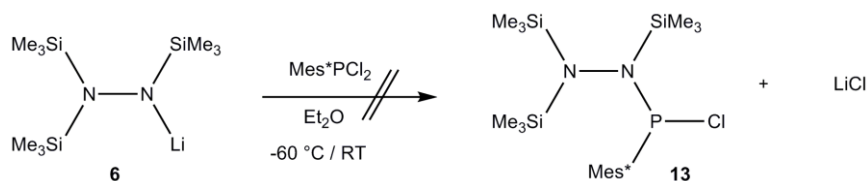


Im Vergleich zu **10** treten weitere Gemeinsamkeiten auf, wie zwei aufeinander senkrecht liegende Ebenen (\angle P-N1-N2-Si3 in **10**: 88.4(3) °; in **11**: 91.8(1) °). Außerdem ist das N1-Atom, ebenso wie in **10**, ideal trigonal planar koordiniert (**10**: Winkelsumme 359.95 °, **11**: Winkelsumme 359.96 °), Das Elektronenpaar am N-Atom befindet sich somit in einem reinen p-Orbital, wodurch eine Hyperkonjugation mit dem benachbarten σ^* -Orbitalen der Phosphor-Chlor, bzw. Phosphor-Kohlenstoff-Bindungen möglich ist ($LP(N) \rightarrow \sigma^*(P-Cl/C)$). Dadurch wird die P-N-Bindung kürzer und die P-Cl- und P-C Bindungen länger, was bereits für **10** gezeigt wurde, wo der P-N-Abstand mit 1.683(3) Å kürzer als eine P-N-Bindung ($d_{kov}(P-N) = 1.76$ Å) ist und der P-Cl-Abstand mit 2.134(2) Å deutlich länger als in PCl_3 ($d_{kov}(P-Cl) = 2.043(3)$ Å^[6]) ist. Auch in **11** hat der P-N-Abstand mit 1.671(1) Å (**10**: 1.683(3) Å) deutlichen Doppelbindungscharakter ($d_{kov}(P-N) = 1.76$ Å und $d_{kov}(P=N) = 1.52$ Å)^[5] und die P-Cl-Bindung ($d(P-Cl) = 2.1050(6)$ Å) ist um 0.062 Å länger als die P-Cl-Bindung in PCl_3 .^[6]

3.2.2.3 Versuchte Darstellung von *N,N',N'*-Tris(trimethylsilyl)hydrazin-chlor(2,4,6-*tert.*-butylphenyl)phosphan ($(SiMe_3)_2NN(SiMe_3)P(Cl)Mes^*$ (**13**)).

Neben der Synthese des Methyl- und Phenylderivates wurde in einer weiteren Salzeliminierungsreaktion (Schema 12) versucht, eine Tri-*tert.*-butylphenyl-chlorphosphan-Gruppe ($PClMes^*$) an das Hydrazin-Fragment zu addieren, um dieses Produkt als Ausgangssubstanz für weitere Lewis-Säure-Reaktionen zu verwenden.

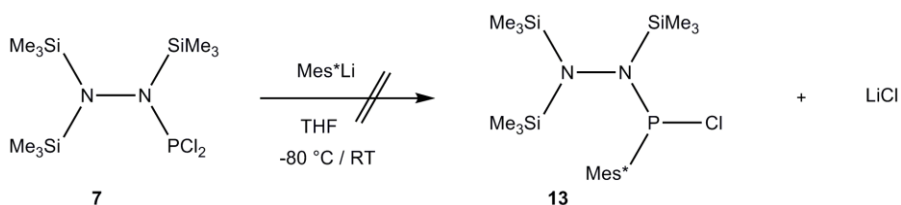
Schema 12. Versuchte Synthese von **13** aus Lithium-*N,N',N'*-Tris(trimethylsilyl)hydrazid und Mes*PCl₂.



Die versuchte Synthese von *N,N',N'*-Tris(trimethylsilyl)hydrazin-chlor(2,4,6-tri-*tert.*-butylphenyl)phosphan (SiMe₃)₂NN(SiMe₃)P(Cl)Mes* (**13**) erfolgte durch Zugabe einer Lösung von Lithium-*N,N',N'*-tris(trimethylsilyl)hydrazid (SiMe₃)₂NN(SiMe₃)Li (**6**) in Diethylether zu einer Lösung von 2,4,6-tri-*tert.*-butylphenyl-dichlorphosphan Mes*PCl₂ bei -60 °C. In den ³¹P-NMR-Spektren des Reaktionsgemisches beobachtete man jedoch neben 66 % des Edukts 2,4,6-Tri-*tert.*-butylphenyl-dichlorphosphan Mes*PCl₂ die Bildung von Bis-2,4,6-tri-*tert.*-butylphenyldiphosphen Mes*PPMes* (22 %) und 12 % *N,N*-bis(trimethylsilyl)amino-*tert.*-butylphenylphosphazen (Me₃Si)₂NNPMes* als Hauptprodukte.

Im Folgenden wurde deshalb versucht, **13** mittels einer Substitutionsreaktion (Schema 13) darzustellen. Dieser Syntheseversuch erfolgte ausgehend aus *N,N',N'*-Tris(trimethylsilyl)hydrazindichlorphosphan (Me₃Si)₂NN(SiMe₃)PCl₂ (**7**) und Mes*Li, welches aus Mes*Br und *n*-BuLi erhalten wurde. In den ³¹P-NMR-Spektren des Reaktionsgemisches beobachtete man neben 22 % der Ausgangsverbindung (SiMe₃)₂NN(SiMe₃)PCl₂ (**7**) die Bildung von 60 % Bis-2,4,6-tri-*tert.*-butylphenyldiphosphen Mes*PPMes* und 18 % *N,N*-bis(trimethylsilyl)amino-*tert.*-butylphenylphosphazen (Me₃Si)₂NNPMes* als Hauptprodukte.

Schema 13. Versuchte Synthese von **13** aus *N,N',N'*-Tris(trimethylsilyl)hydrazindichlorphosphan und Mes*Li.



Anscheinend ist es aufgrund des hohen sterischen Anspruches der 2,4,6-Tri-*tert.*-butylphenyl-Gruppe nicht möglich, das gewünschte Phosphan darzustellen. Die Bildung von *N,N*-bis(trimethylsilyl)amino-*tert.*-butylphenylphosphazen, (Me₃Si)₂NNPMes*, gibt zwar einen

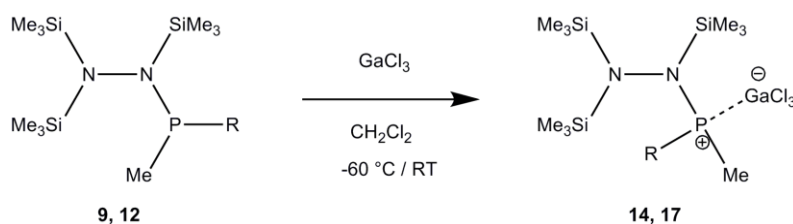
Hinweis darauf, dass sich **13** zumindest teilweise intermediär bildet, aber sich im weiteren Reaktionsverlauf zersetzt oder Me_3SiCl abspaltet.

3.2.3 Darstellung und Charakterisierung der Hydrazinphosphan · Galliumtrichlorid-Addukte

3.2.3.1 Darstellung und Charakterisierung der Hydrazinphosphan · Galliumtrichlorid-Addukte $(\text{Me}_3\text{Si})_2\text{NN}(\text{SiMe}_3)\text{P}(\text{Me})\text{R} \cdot \text{GaCl}_3$ ($\text{R} = \text{Cl}$ (**14**) $\text{R} = \text{Ph}$ (**17**), $(\text{Me}_3\text{Si})(\text{Me}_2\text{ClSi})\text{NN}(\text{SiMe}_3)\text{P}(\text{Me})\text{R} \cdot \text{ECl}_3$ ($\text{R} = \text{Ph}$; $\text{E} = \text{Ga}, \text{Al}$ (**15, 18**); $\text{R} = \text{C}_6\text{F}_5$ (**16**).

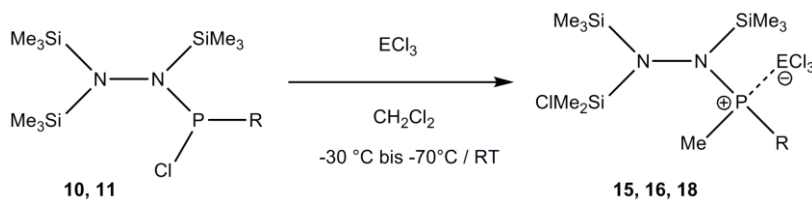
Durch Zugabe von GaCl_3 lassen sich aus **9** und **12** die entsprechenden Addukte bilden (Schema 14). Dazu wird eine Lösung des jeweiligen Hydrazinphosphans in Dichlormethan bei -30 °C bis -70 °C mit GaCl_3 versetzt, wobei die GaCl_3 -Addukte **14** und **17** nach Entfernen des Lösungsmittels in Form farbloser Kristalle isoliert werden konnten.

Schema 14. Synthese der Hydrazinphosphan · GaCl_3 -Addukte $(\text{Me}_3\text{Si})_2\text{NN}(\text{SiMe}_3)\text{P}(\text{Me})\text{R} \cdot \text{GaCl}_3$ ($\text{R} = \text{Cl}, \text{Ph}$) (**14, 17**).

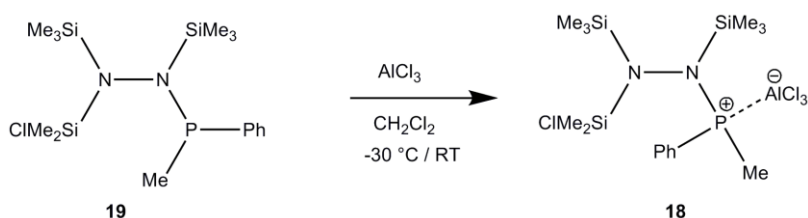


Im Gegensatz dazu erfolgt bei der Umsetzung von **10** und **11** mit GaCl_3 bzw. AlCl_3 eine Chlor-Methyl-Austauschreaktion, die zur Bildung der GaCl_3 - bzw. AlCl_3 -Addukte von **15**, **16** und **18** führt (Schema 15). Darüber hinaus konnte **18** noch auf einem anderen Weg synthetisiert werden. Dazu wurde **15** mit DMAP umgesetzt, um das GaCl_3 zu entfernen und das isolierte Produkt anschließend mit AlCl_3 umgesetzt (Schema 16).

Schema 15. Synthese der Hydrazinphosphan · GaCl₃-Addukte (Me₃Si)(Me₂ClSi)NN(SiMe₃)-P(Me)R · ECl₃ (R = Ph ; E = Ga, Al (**15**, **18**); R = C₆F₅ (**16**)).

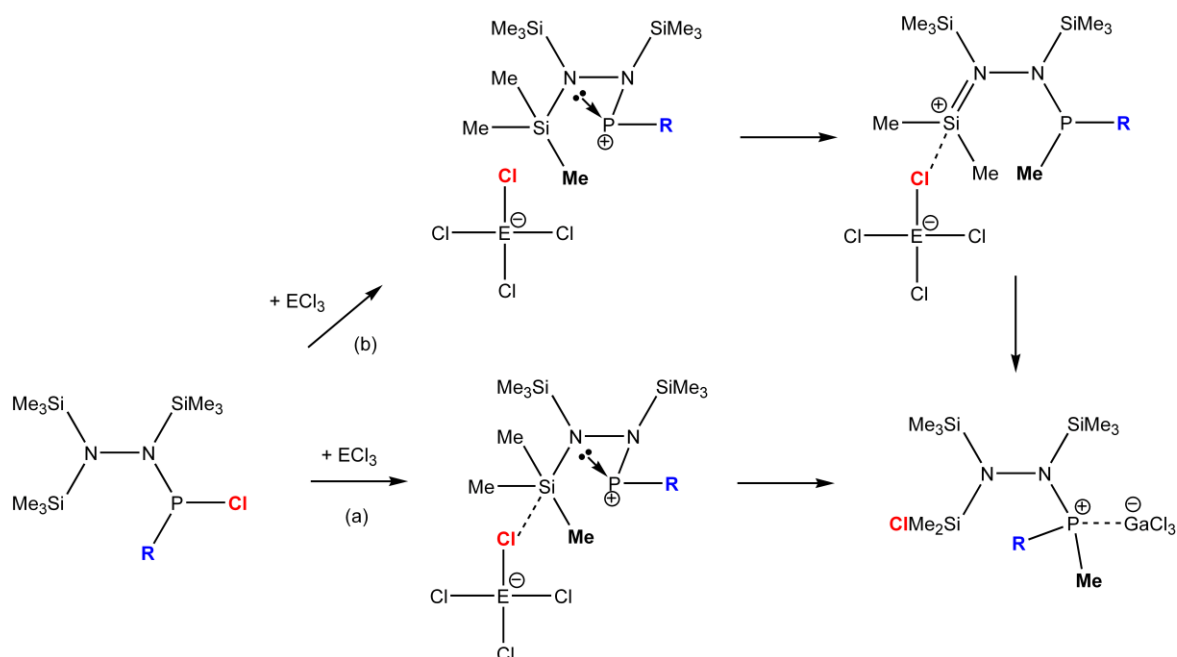


Schema 16. Zweite Darstellungsweise von **18** mit der Reaktion von *N,N',N'*-Tris(trimethylsilyl)hydrazinchlorphenylphosphan und AlCl₃.



Diese Austausch-Reaktionen verlaufen über eine instabile, reaktive Zwischenstufe, die sich bei Zugabe der Lewis-Säure anhand einer kurzfristig auftretenden, tiefroten Färbung zeigt. Im Gegensatz dazu entstand bei der Reaktion von **14** und **17** mit GaCl₃ eine farblose Lösung. Als instabile reaktive Zwischenstufe kann man ein (Me₃Si)₂NN(Me₃Si)PR⁺-Kation (R = Ph, C₆F₅) annehmen. Die Bildung eines Hydrazinarsenium-Kations wurde bereits bei der Chlor-Methyl-Austauschreaktion von (Me₃Si)₂NN(SiMe₃)AsCl₂ mit GaCl₃ als reaktive Zwischenstufe formuliert.^[1] Innerhalb weniger Stunden reagiert das Phosphor-Kation vollständig zu **15**, **16** und **18**, was sich gut anhand der Entfärbung der Reaktionslösung von rot nach farblos erkennen lässt. Die ³¹P-NMR Spektren der Lewis-Säure-Addukte **15** und **18** zeigen als vorwiegende Spezies eine sehr breite Resonanz bei ca. 30 ppm, daneben sind in geringer Konzentration die relativ scharfen Resonanzen der Austauschprodukte ohne Lewis-Säure (**19**, **20**) bei ca. 42 und 40 ppm zu erkennen. Das ³¹P-Spektrum von **16** zeigt zwei sehr breite Resonanzen bei 45 und 44 ppm (s. Kapitel 3.2.4). Die starke Signalbreite ist vermutlich teilweise durch den Einfluss der Quadrupol-Kerne Gallium und Aluminium zu begründen, ob jedoch auch eine Dynamik durch das Gleichgewicht zwischen freiem und koordiniertem Phosphan einen Einfluss hat, ist derzeit noch nicht aufgeklärt.

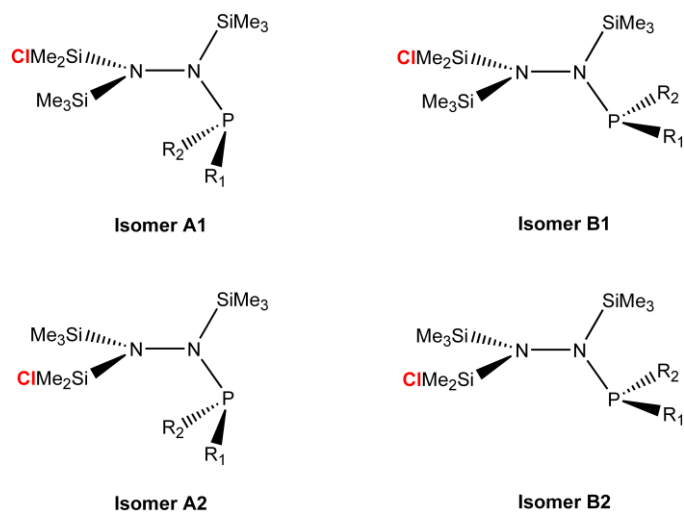
Schema 17. Mögliche Reaktionsmechanismen für die Chlor-Methyl-Austausch-Reaktion in Aryl-substituierten Chlorhydrazinphosphanen (E = Al, Ga; (a) konzertierter und (b) schrittweiser Reaktionsverlauf).



Als möglichen Reaktionsmechanismus für den Chlor-Methyl-Austausch lassen sich zwei verschiedene Wege formulieren (Schema 17), die beide jeweils zur Bildung eines cyclischen Phosphor-Kations führen. In einem schrittweisen Mechanismus (Schema 17 (b)) wird zuerst Chlorid abgespalten und es bildet sich das Tetrachlorgallat GaCl_4^- . In der entstandenen kationischen P-N-Verbindung erfolgt die Wanderung einer Methylgruppe vom Silicium zum Phosphor und das GaCl_4^- überträgt ein Chlorid auf das Si-Atom der $\text{Me}_2\text{Si}=\text{N}$ -Gruppe. Neben dem schrittweisen Mechanismus lässt sich zusätzlich ein konzertierter Reaktionsverlauf (Schema 17 (a)) formulieren. Hierbei erfolgen die Chlorid-Übertragung und die Methyl-Wanderung gleichzeitig und es existiert, im Gegensatz zum schrittweisen Verlauf, nur eine Zwischenstufe. Zusätzlich zu diesen intramolekularen Mechanismen, sind ebenfalls intermolekulare Reaktionen denkbar.

Bei der Reaktion von Hydrazinchlormethylphosphan (**9**) mit GaCl_3 hingegen wurde kein Chlor-Methyl-Austausch beobachtet. Der Grund dafür ist vermutlich die geringe Stabilisierung der kationischen Phosphor-Zwischenstufe durch den Methylrest im Gegensatz zu den Arylsubstituenten Phenyl und C_6F_5 .

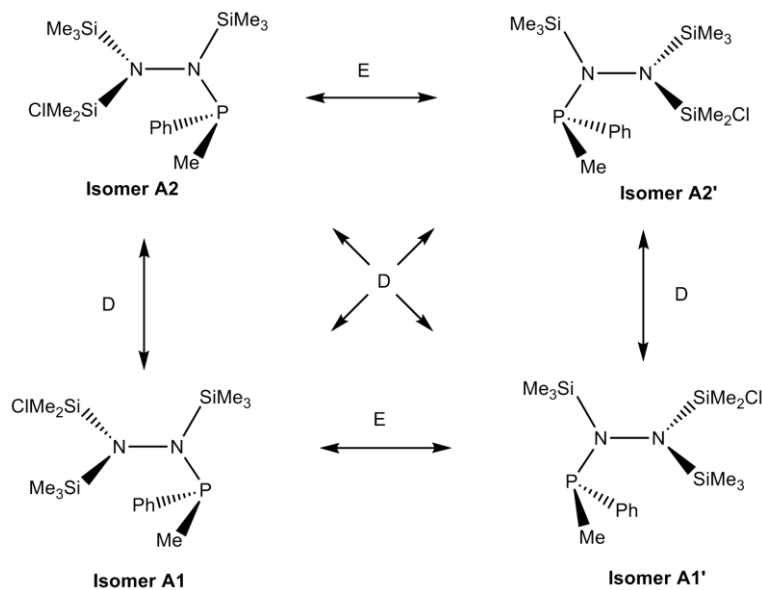
Schema 18. Mögliche Isomere der Hydrazinphosphan- ECl_3 -Addukte ($\text{E} = \text{Al}, \text{Ga}$).



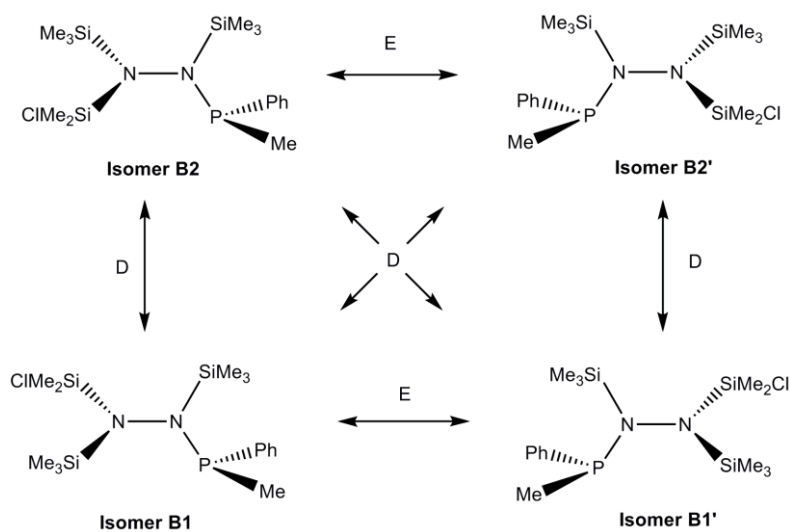
Ebenso wie die silylierten Hydrazinphosphate **9**, **10**, **11** und **12** können auch die GaCl_3 -Addukte bzw. die freien Phosphate nach Abtrennung der Lewis-Säure mit DMAP theoretisch als zwei mögliche *trans*- oder der *cis*-Isomere (Isomer A und B) vorkommen. Da die Rotation um die P-N-Bindung gehindert ist, sind beide Isomere konstitutionsstabil, und können daher als Diastereomere aufgefasst werden.

Da allerdings der Chlor-Methyl-Austausch an beiden SiMe_3 -Gruppen am N2-Atom erfolgen kann und sich die Hydrazin-Einheit dadurch zu einer chiralen Gruppe verändert, lassen sich zu den beiden Isomeren A1 und B1 (Schema 18) jeweils ein Diastereomer formulieren (Isomer A2 und B2). Da die Phosphan-Einheit ebenfalls ein chirales Zentrum darstellt, resultiert daraus das Vorliegen von vier möglichen Isomeren (zwei diastereomeren Paaren) A1, A2, B1 und B2. Zu jedem Diastereomer existiert das zugehörige Spiegelbildisomer (Enantiomer) (A1^c , A2^c , B1^c und B2^c), was insgesamt zum Vorliegen von acht denkbaren Isomeren führen könnte (siehe Schema 19 und Schema 20). Allerdings lassen sich in NMR-Spektren grundsätzlich nur Diastereomere unterscheiden.

Schema 19. *Trans*-Isomere A1 und A2 mit den jeweiligen Enantiomeren A1' und A2'.



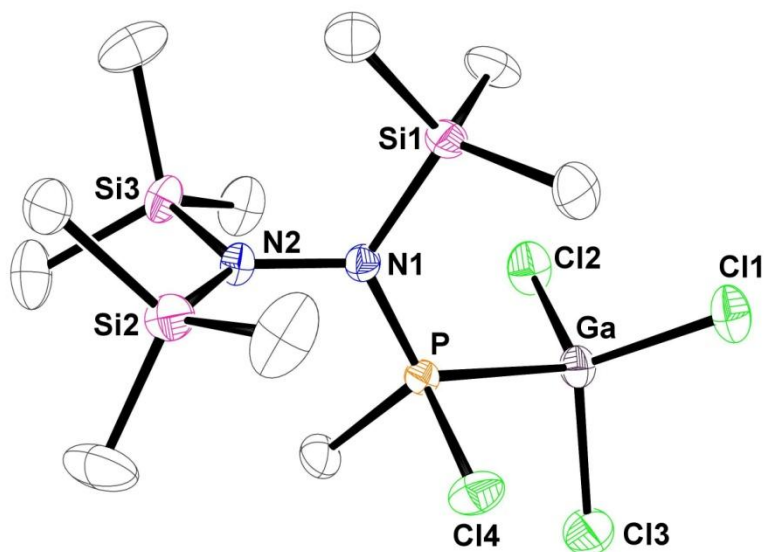
Schema 20. *Cis*-Isomere B1 und B2 mit den jeweiligen Enantiomeren B1' und B2'.



Die in dieser Arbeit synthetisierten Verbindungen liegen sowohl im Festkörper (lt. Kristallstrukturanalyse) als auch in Lösung (lt. NMR) als *trans*-Isomere vor. Die daraus resultierenden beiden Diastereomere A1 und A2 führen im ¹H und ³¹P-NMR zu sehr komplexen Spektren, daher war eine eindeutige Signalzuordnung nur durch korrelierte ¹H/¹³C-Spektren möglich. Die beiden Diastereomere sind im experimentellen Teil 4 dieser Arbeit mit A1 und A2 gekennzeichnet.

3.2.3.2 Kristallstrukturen von 14, 15, 17 und 18.

Abbildung 4. ORTEP-Darstellung der Molekülstruktur von **14** im Kristall mit Atomnummerierung. Verschiebungsellipsoide (bei 173 K) sind bei 50 % Wahrscheinlichkeit gezeichnet (H-Atome sind nicht dargestellt). Strukturdaten siehe Kapitel 6.4.2.



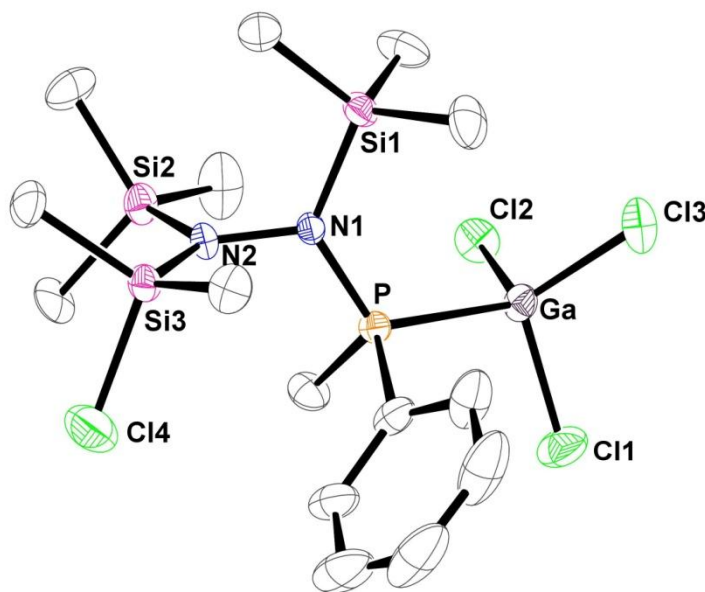
14 kristallisiert in der monoklinen, chiralen Raumgruppe $P2_1$ mit zwei Molekülen in der Elementarzelle (Abb. 4) und weist *trans*-Konfiguration auf, was sich mit dem erhöhten Platzanspruch der Lewis-Säure begründen lässt. Der N-N-P-Winkel von $117.61(8)^\circ$ in **14** ist größer als der N-N-P-Winkel in **15** ($116.0(1)^\circ$) (siehe unten). Grund dafür ist, dass in **14** anstelle des sperrigen Phenylrests in **15**, ein Chlor-Atom als Substituent am Phosphor gebunden ist. Dieses benötigt weniger Platz, daher ist der N-N-P-Winkel kleiner. Ebenso wie **10** zeigt auch **14** eine annähernd gestaffelte Anordnung, bei der zwei Ebenen P–N1–N2 und N1–N2–Si3 auftreten, die mit $98.79(10)^\circ$ (\angle P–N1–N2–Si3) fast senkrecht aufeinander liegen. Die N-Atome sind ideal trigonal planar koordiniert ($\Sigma \angle (N1) = 359.75^\circ$, $\Sigma \angle (N2) = 359.54^\circ$). Das P-Atom befindet sich in einer pyramidalen Umgebung (die Bindungswinkel liegen im Bereich zwischen 110 und 122°).

Die P-N-Bindung liegt mit $1.647(1) \text{ \AA}$ zwischen einer P-N-Einfachbindung (1.76 \AA) und einer N-P-Doppelbindung (1.52 \AA).^[5] Daher ist eine Hyperkonjugation des p-Orbitals am Stickstoff mit dem benachbarten σ^* -Orbital der Phosphor-Chlor-Bindung möglich (LP(N) \rightarrow

$\sigma^*(\text{P-Cl})$), wodurch die P-N-Bindung (1.647(1) Å) kürzer ($d_{\text{kov}}(\text{N-P}) = 1.76$ Å) und die P-Cl-Bindung (2.0470(5) Å) etwas länger ($d_{\text{kov}}(\text{P-Cl}) = 2.04$ Å) wird.^[5] Die N-N-Bindungslänge von 1.4626(15) Å entspricht in guter Näherung einer N-N-Einfachbindung ($d_{\text{kov}}(\text{N-N}) = 1.48$ Å)^[5] und ist mit den N-N-Bindungslängen in $(\text{Me}_3\text{Si})_2\text{NN}(\text{Me}_3\text{Si})\text{P}(\text{Cl})\text{Ph}$ (**10**) mit 1.473(4) Å^[6] und $(\text{Me}_3\text{Si})_2\text{NN}(\text{Me}_3\text{Si})\text{PPh}_2$ mit 1.476(3) Å^[6] vergleichbar.

Die Bindung zwischen der Lewis-Säure GaCl_3 und dem Phosphor-Atom des Hydrazinphosphans kann als Donor-Akzeptor-Bindung beschrieben werden. Die Länge der Ga-P-Bindung (2.4201(3) Å) ist deutlich kleiner als die Summe der Van-der-Waals-Radien ($\sum r_{\text{vdW}}(\text{Ga-P}) = 3.80$ Å)^[9] und hat daher starken kovalenten Charakter ($d_{\text{kov}}(\text{Ga-P}) = 2.36$ Å)^[5]. Die Bindungslänge ist vergleichbar mit der Ga-P-Bindung in $(t\text{-Bu})_2(\text{Cl})\text{P} \cdot \text{GaCl}_3$ (2.40(1) Å)^[10].

Abbildung 5. ORTEP-Darstellung der Molekülstruktur von **15** im Kristall mit Atomnummerierung. Verschiebungsellipsoide (bei 173 K) sind bei 50 % Wahrscheinlichkeit gezeichnet (H-Atome sind nicht dargestellt). Strukturdaten siehe Kapitel 6.5.2.



15 kristallisiert in der monoklinen Raumgruppe $P2_1/c$ mit vier Molekülen in der Elementarzelle (Abb. 5). Wie **10** kommt auch das GaCl_3 -Addukt **15** in der *trans*-Konfiguration vor. Der N-N-P-Winkel in **15** ist mit $116.0(1)^\circ$ im Vergleich zu **10** ($110.5(2)^\circ$) aufgrund sterischer Effekte etwas größer und ist mit dem N-N-P-Winkel in $(\text{Me}_2(\text{Cl})\text{Si})_2\text{NN}(\text{Me}_3\text{Si})\text{AsMe}_2 \cdot \text{GaCl}_3$ ($115.6(2)^\circ$)^[2] gut vergleichbar.

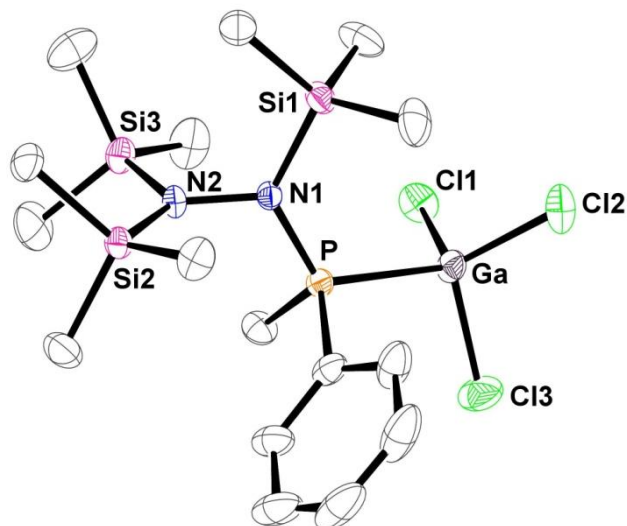
Ähnlich den bereits beschriebenen silylierten Hydrazin-Verbindungen $(\text{Me}_3\text{Si})_2\text{NN}(\text{SiMe}_3)\text{E}(\text{R}_1)\text{R}_2$ ($\text{E} = \text{P}$: $\text{R}_1, \text{R}_2 = \text{Cl}$; $\text{R}_1 = \text{Cl}$, $\text{R}_2 = \text{Ph}$; $\text{R}_1, \text{R}_2 = \text{Ph}$; $\text{E} = \text{As}$: $\text{R}_1, \text{R}_2 = \text{Cl}$)^[2,6] und $(\text{Me}_2(\text{Cl})\text{Si})_2\text{NN}(\text{Me}_3\text{Si})\text{AsMe}_2$ ^[2] zeigt auch **15** eine gestaffelte Anordnung, bei der zwei annähernd senkrecht zueinander stehende Ebenen P–N1–N2 und N1–N2–Si3 auftreten ($\angle \text{P–N1–N2–Si3} = 88.02(13)^\circ$). Die N-Atome sind ideal trigonal planar ($\Sigma \angle (\text{N1}) = 359.87^\circ$, $\Sigma \angle (\text{N2}) = 359.68^\circ$), das Phosphor-Atom pyramidal koordiniert (die Bindungswinkel liegen zwischen 101 und 118°).

Im Gegensatz zu den P-C-Bindungslängen $1.809(2) \text{ \AA}$ (P–C_{Ph}) und $1.805(2) \text{ \AA}$ (P–C_{Me}), die im Bereich typischer P-C-Einfachbindungen liegen ($d_{\text{kov}}(\text{P-C}) = 1.87 \text{ \AA}$), ist die P-N-Bindung mit $1.679(2) \text{ \AA}$ etwas kürzer als eine typische P-N-Einfachbindung ($d_{\text{kov}}(\text{P-N}) = 1.76 \text{ \AA}$), sie lässt sich allerdings gut mit den P-N-Bindungen in $(\text{Me}_3\text{Si})_2\text{NN}(\text{Me}_3\text{Si})\text{P}(\text{Cl})\text{Ph}$ (**10**) mit $1.683(3) \text{ \AA}$ und $(\text{Me}_3\text{Si})_2\text{NN}(\text{Me}_3\text{Si})\text{P}(\text{Ph})_2$ mit $1.704(2) \text{ \AA}$ vergleichen.^[6] Solch kurze P-N-Bindungen (1.67 \AA) wurden bereits bei einer Reihe von Amino/Iminophosphanen ($\text{R}_2\text{N–P=N–R}'$)^[11] und Cyclodiphosph(V)azenen^[12] gefunden. Die N-N-Bindungslänge mit $1.466(2) \text{ \AA}$ entspricht in guter Näherung einer N-N-Einfachbindung (1.48 \AA)^[5] und ist vergleichbar mit den N-N-Bindungslängen in $(\text{Me}_3\text{Si})_2\text{N–N}(\text{Me}_3\text{Si})\text{–P}(\text{Ph})\text{Cl}$ (**10**) mit $1.473(4) \text{ \AA}$ und $(\text{Me}_3\text{Si})_2\text{N–N}(\text{Me}_3\text{Si})\text{–P}(\text{Ph})_2$ mit $1.476(3) \text{ \AA}$.^[6]

Wie $(\text{Me}_2(\text{Cl})\text{Si})_2\text{NN}(\text{Me}_3\text{Si})\text{AsMe}_2 \cdot \text{GaCl}_3$ ist auch **15** ein typischer Charge-Transfer-Komplex. Die Bindung zwischen der Lewis-Säure GaCl_3 und dem Phosphor-Atom des Hydrazinphosphans kann als Donor-Akzeptor-Bindung formuliert werden. Die Ga-P-Bindungslänge mit $2.3892(7) \text{ \AA}$ ist gut vergleichbar mit der in $(t\text{-Bu})_2(\text{Cl})\text{P} \cdot \text{GaCl}_3$ ($2.40(1) \text{ \AA}$).

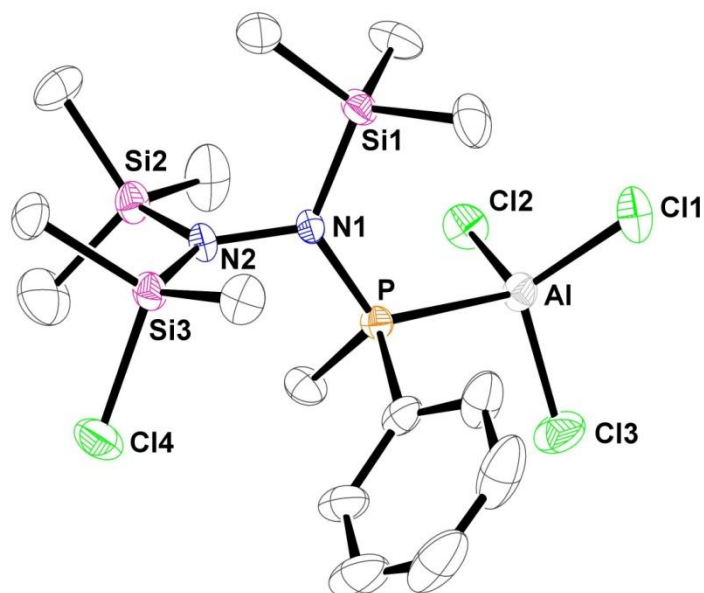
Die Konfiguration entlang der Ga-P-Achse ist gestaffelt und nicht auf Deckung, wie in $(\text{Me}_2(\text{Cl})\text{Si})_2\text{NN}(\text{Me}_3\text{Si})\text{AsMe}_2 \cdot \text{GaCl}_3$, bei dem angenommen wurde, dass das Auftreten der ungewöhnlichen ekliptischen Konfiguration auf Packungseffekte im Festkörper zurückzuführen ist.^[2]

Abbildung 6. ORTEP-Darstellung der Molekülstruktur von **17** im Kristall mit Atomnummerierung. Verschiebungsellipsoide (bei 173 K) sind bei 50 % Wahrscheinlichkeit gezeichnet (H-Atome sind nicht dargestellt). Strukturdaten siehe Kapitel 6.6.2.



17 kristallisiert in der monoklinen Raumgruppe $P2_1/n$ mit vier Molekülen in der Elementarzelle (Abb. 6). Strukturell ist **17** mit $(\text{Me}_3\text{Si})_2\text{NN}(\text{Me}_3\text{Si})\text{P}(\text{Cl})\text{Me} \cdot \text{GaCl}_3$ (**14**), $(\text{Me}_3\text{Si})(\text{Me}_2\text{ClSi})\text{NN}(\text{Me}_3\text{Si})\text{P}(\text{Me})\text{Ph} \cdot \text{GaCl}_3$ (**15**) und $(\text{Me}_3\text{Si})(\text{Me}_2\text{ClSi})\text{NN}(\text{Me}_3\text{Si})\text{P}(\text{Me})\text{Ph} \cdot \text{AlCl}_3$ (**18**) vergleichbar, da **17** ebenfalls eine *trans*-Konfiguration und eine gestaffelte Anordnung der Substituenten aufweist. Außerdem sind die beiden Stickstoffatome N1 und N2 bzw. das Phosphoratom, wie schon in **14**, **15** und **18** beschrieben, trigonal planar bzw. pyramidal koordiniert. Auch die Donor-Akzeptor-Bindung P-Ga liegt mit 2.3876(3) Å im Bereich dieser Bindungslängen von **14** und **15** bzw. der P-Al-Bindung von **18**.

Abbildung 7. ORTEP-Darstellung der Molekülstruktur von **18** im Kristall mit Atomnummerierung. Verschiebungsellipsoide (bei 173 K) sind bei 50 % Wahrscheinlichkeit gezeichnet (H-Atome und Fehlordnung sind nicht dargestellt). Strukturdaten siehe Kapitel 6.7.2.



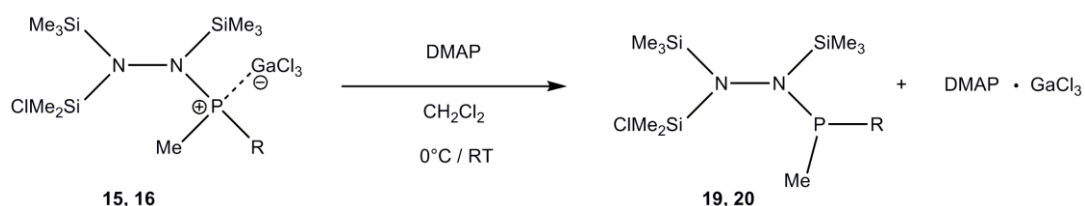
18 kristallisiert in der monoklinen Raumgruppe $P2_1/n$ mit vier Molekülen in der Elementarzelle (Abb. 7) und verhält sich strukturell wie das analoge GaCl_3 -Addukt **15**. **18** liegt in *trans*-Konfiguration vor und hat aufgrund zweier senkrecht zueinander stehender Ebenen P–N1–N2 und N1–N2–Si3 ($\angle \text{P–N1–N2–Si3} = 88.02(13)^\circ$) eine gestaffelte Anordnung. Der N–N–P-Winkel ist mit $116.60(8)^\circ$ etwas größer als in **15** ($116.0(1)^\circ$). Eine weitere Übereinstimmung mit **15** sind die ideal trigonal planaren Koordinationen an den beiden Stickstoff-Atomen N1 und N2 ($\Sigma \angle (\text{N1}) = 359.89^\circ$, $\Sigma \angle (\text{N2}) = 359.68^\circ$) und die pyramidale Umgebung am Phosphoratom (die Bindungswinkel liegen zwischen 108 und 119°).

Die P–N-Bindungslänge von $1.686(1) \text{ \AA}$ ist etwas größer als die P–N-Bindung in **15** ($1.679(2) \text{ \AA}$), aber deutlich kürzer als eine typische P–N-Einfachbindung (1.76 \AA)^[5]. Die N–N-Bindungslänge entspricht mit $1.472(2) \text{ \AA}$ einer N–N-Einfachbindung (1.48 \AA)^[5] und lässt sich, genau wie **15**, mit den N–N-Bindungslängen in $(\text{Me}_3\text{Si})_2\text{NN}(\text{Me}_3\text{Si})\text{P}(\text{Ph})\text{Cl}$ (**10**) ($1.473(4) \text{ \AA}$) und $(\text{Me}_3\text{Si})_2\text{NN}(\text{Me}_3\text{Si})\text{P}(\text{Ph})_2$ ($1.476(3) \text{ \AA}$)^[6] vergleichen.

3.2.4 Abtrennung des Galliumtrichlorids mit DMAP.

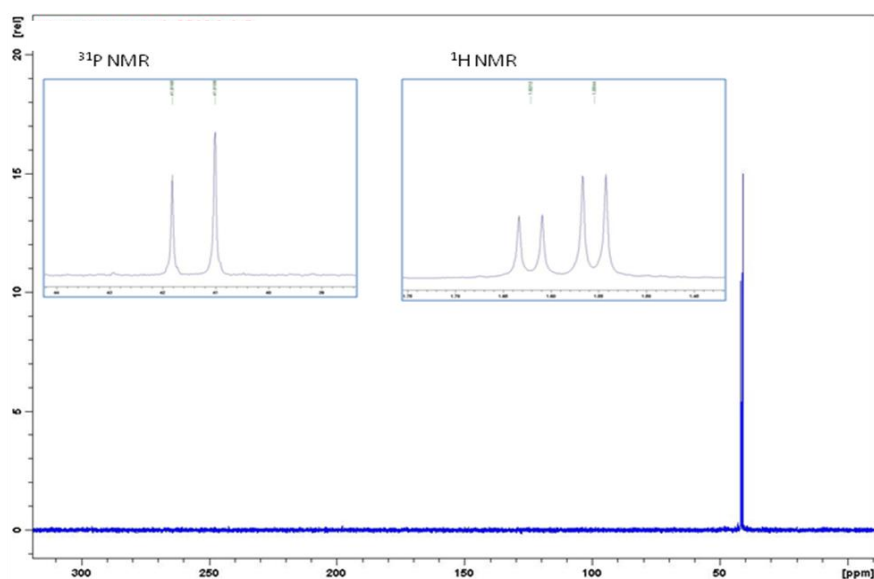
3.2.4.1 Darstellung und Charakterisierung der Hydrazinphosphate $(\text{Me}_3\text{Si})(\text{Me}_2\text{ClSi})\text{NN}(\text{SiMe}_3)\text{P}(\text{Me})\text{R}$ ($\text{R} = \text{Ph}, \text{C}_6\text{F}_5$) (**19**), (**20**).

Schema 21. Abtrennung des GaCl_3 mit DMAP.



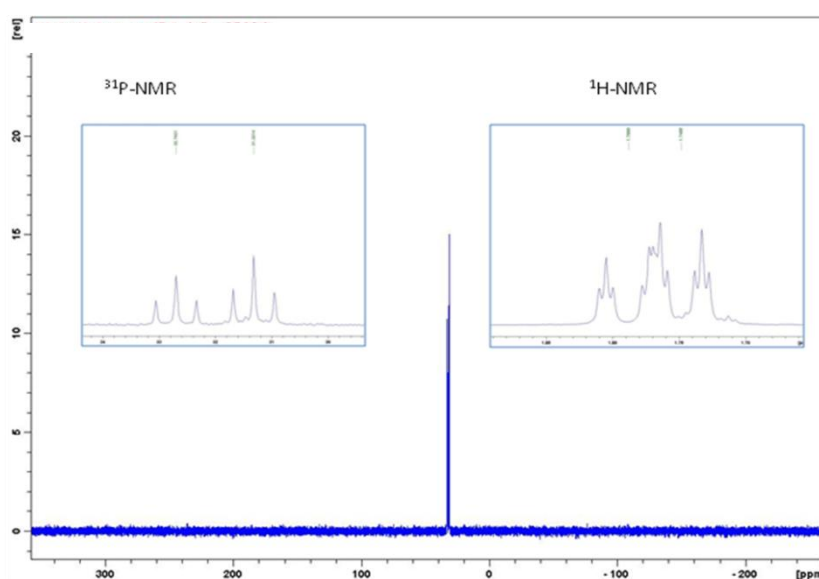
Mittels der stärkeren Base 4-*N,N*-(Dimethylamino)pyridin (DMAP) lässt sich die Abtrennung der Lewis-Säure GaCl_3 erreichen. Dazu wird eine Lösung von Hydrazinphosphan · Galliumtrichlorid-Addukt (**15**, **16**) in Dichlormethan bei 0°C mit einer Lösung von 4-*N,N*-(Dimethylamino)pyridin (DMAP) versetzt. Nach Extraktion des Produktes in *n*-Hexan verbleibt **19** bzw. **20** nach Entfernen des Lösungsmittels in Form eines farblosen Feststoffs.

Abbildung 7. ^1H - und ^{31}P -NMR-Spektren in CD_2Cl_2 von $(\text{Me}_3\text{Si})(\text{Me}_2\text{ClSi})\text{NN}(\text{Me}_3\text{Si})\text{P}(\text{Me})\text{Ph}$ (**19**).



Für **19** wurde im ^1H -NMR- bzw. ^{31}P -NMR-Spektrum eine Aufspaltung der Signale aufgrund des Vorliegens zweier Diastereomere A1 und A2 beobachtet, die im Verhältnis A1 : A2 = 62 : 38 vorliegen (Abb. 7). Das ^1H -NMR-Spektrum zeigt zwei Signale bei einer Resonanz von 1.55 ppm (A1) und 1.62 ppm (A2) mit jeweils einer ^{31}P - ^1H -Kopplung von 7.5 Hz (vgl. 1.75 ppm (A1), 1.79 ppm (A2), $^2J(^{31}\text{P}-^1\text{H}) = 9.4$ Hz (A1) und $^2J(^{31}\text{P}-^1\text{H}) = 9.7$ Hz (A2) bei **20**, siehe unten). Im ^{31}P -NMR-Spektrum sind wiederum zwei Signale zu sehen (41.0 ppm (A1) und 41.8 ppm (A2), siehe auch Kapitel 4.4.13).

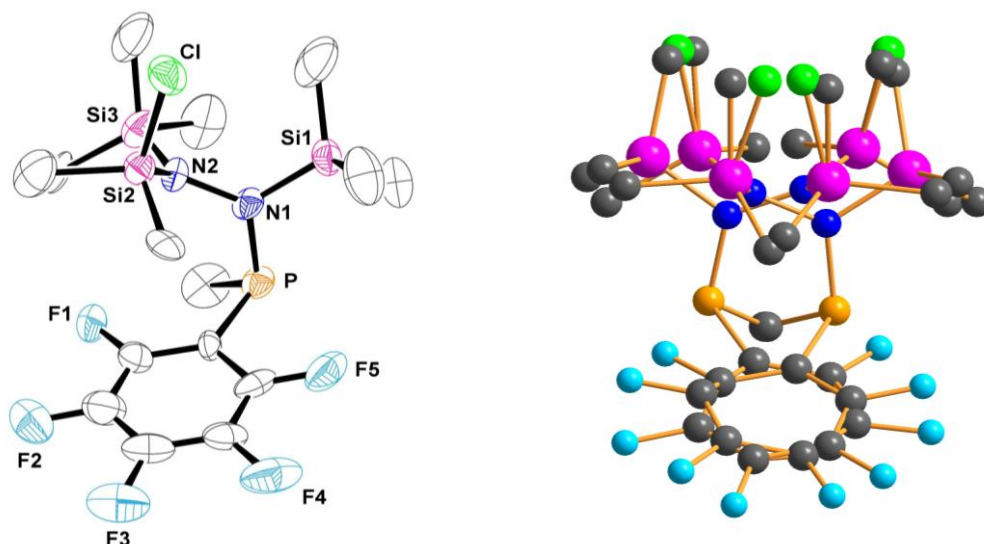
Abbildung 8. ^1H - und ^{31}P -NMR-Spektren in CD_2Cl_2 von $(\text{Me}_3\text{Si})(\text{Me}_2\text{ClSi})\text{NN}(\text{Me}_3\text{Si})\text{P}(\text{Me})\text{C}_6\text{F}_5$ (**20**).



Für **20** wurde im ^1H -NMR- bzw. ^{31}P -NMR-Spektrum ebenfalls eine Aufspaltung der Signale aufgrund des Vorliegens zweier Diastereomere A1 und A2 beobachtet, die im Verhältnis A1 : A2 = 60 : 40 vorliegen (Abb. 8). Das ^1H -NMR zeigt zwei Signale bei einer Resonanz von 1.75 ppm (A1) mit $^2J(^1\text{H}-^{31}\text{P}) = 9.4$ Hz) und 1.79 ppm (A2) mit $^2J(^1\text{H}-^{31}\text{P}) = 9.7$ Hz. Zusätzlich treten bei A1 und A2 ^1H - ^{19}F -Kopplungen auf ($J(^{19}\text{F}-^1\text{H}) = 1.6$ Hz). Das ^{31}P -NMR-Spektrum zeigt zwei Signale (31.3 ppm (A1) und 32.7 ppm (A2)) und die ^{31}P - ^{19}F -Kopplung ($^3J(^{19}\text{F}-^{31}\text{P})$) beträgt bei beiden Diastereomeren 44.0 Hz (siehe auch Kapitel 4.4.14).

3.2.4.2 Kristallstruktur von 20.

Abbildung 9. Linkes Bild: ORTEP-Darstellung der Molekülstruktur von **20** im Kristall mit Atomnummerierung. Verschiebungsellipsoide (bei 173 K) sind bei 50 % Wahrscheinlichkeit gezeichnet (H-Atome und Fehlordnung sind nicht dargestellt). Rechtes Bild: Kugel-Stabmodell des fehlgeordneten Moleküls **20** (H-Atome sind nicht dargestellt).

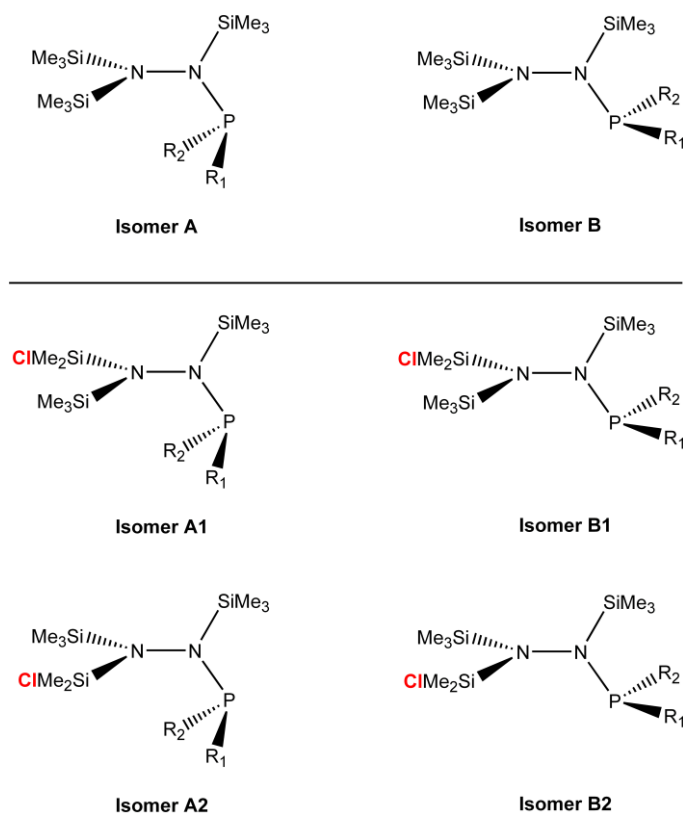


20 kristallisiert in der monoklinen Raumgruppe $P2_1/c$ mit vier Molekülen in der Elementarzelle. Einkristalle konnten sowohl aus *n*-Hexan, als auch durch Sublimation erhalten werden. Zwei unabhängige Strukturbestimmungen ergaben jeweils eine starke Fehlordnung des gesamten Moleküls über zwei Lagen (Abbildung 9). Interessanterweise kristallisiert das Molekül als Gemisch beider Enantiomere auf derselben Position im Kristall. Zusätzlich ist die Position des Chloratoms der SiMe_2Cl -Gruppe in beiden Moleküllagen fehlgeordnet, wodurch zusätzlich zwei Diastereomere vorliegen. Somit ist die Fehlordnung in der Kristallstruktur gleichzeitig ein Beweis für das Vorliegen des racemischen Gemisches aus den Isomeren $A1'$, $A2'$, $B1'$ und $B2'$. Strukturell ist **20** mit den GaCl_3 - und AlCl_3 -Addukten $(\text{Me}_3\text{Si})(\text{Me}_2\text{ClSi})\text{NN}(\text{Me}_3\text{Si})\text{P}(\text{Me})\text{Ph} \cdot \text{GaCl}_3$ (**15**) und $(\text{Me}_3\text{Si})(\text{Me}_2\text{ClSi})\text{NN}(\text{Me}_3\text{Si})\text{P}(\text{Me})\text{Ph} \cdot \text{AlCl}_3$ (**17**) vergleichbar. Neben einer *trans*-Konfiguration und einer gestaffelten Anordnung der Substituenten wie in **15** und **17** liegen in **20** beide Stickstoffatome N1 und N2 trigonal planar vor, das Phosphoratom ist pyramidal koordiniert. Die Bindungslängen befinden sich alle im Bereich der jeweiligen Bindungslängen in **15** und **17**. Durch die starke Fehlordnung sind die strukturellen Daten jedoch mit einem erheblichen Fehler behaftet, weshalb hier auf eine genaue Strukturdiskussion verzichtet wird.

3.2.5 Zusammenfassung.

Die Hydrazinchlorarylphosphane (Aryl = C₆H₅ (**10**), C₆F₅ (**11**)) reagieren mit Lewis-Säure (GaCl₃, AlCl₃) in einer Chlor-Methyl-Austauschreaktion zum GaCl₃-Addukt. Der Mechanismus dieses Austauschs könnte entweder über einen konzertierten oder schrittweisen Mechanismus erfolgen. Mit einer stärkeren Base wie DMAP lässt sich das GaCl₃ entfernen, weswegen GaCl₃ als Katalysator fungiert. Als Grund dafür, dass in der Reaktion von Hydrazinchlormethylphosphan mit Lewis-Säure nicht in analoger Weise das Chlor-Methyl-Austausch-Addukt entsteht, kann die geringe Stabilisierung der kationischen Phosphor-Zwischenstufe durch den Methylrest im Gegensatz zu den Arylsubstituenten C₆H₅ und C₆F₅ angenommen werden.

Schema 22 Diastereomere der Hydrazinphosphane.



Wie bereits in der Literatur gezeigt wurde,^[2,6] existieren für die Hydrazinphosphane zwei mögliche unterschiedliche Konfigurations-Isomere, ein *cis*- und ein *trans*-Isomer in

Bezug auf die Stellung der PR_1R_2 -Einheit zur $SiMe_3$ -Gruppe an N1. Alle in dieser Arbeit synthetisierten Hydrazinphosphane weisen die *trans*-Form auf (Isomer A, A1 und A2 in Schema 22). Im Gegensatz dazu liegt das $GaCl_3$ -Addukt der Arsen-Spezies $(Me_2(Cl)Si)_2NN(SiMe_3)AsMe_2 \cdot GaCl_3$ ^[2] zwar als *trans*-Isomer, die $GaCl_3$ -freien Verbindungen jedoch als *cis*-Isomere vor. Rechnungen zufolge ist die *cis*-Konfiguration der Hydrazinphosphane um ca. 3 kcal/mol stabiler als die *trans*-Konfiguration.^[6] Verantwortlich dafür, dass hier die *trans*-Form gebildet wird, sind vermutlich sterische Effekte. Die Arylsubstituenten (C_6H_5 und C_6F_5) sind für eine *cis*-Anordnung zu groß, daher nehmen **10** und **11** die *trans*-Konfiguration ein. Die $GaCl_3$ -bzw. $AlCl_3$ -Addukte **14**, **17** und **18** kommen, ebenso wie $(Me_2(Cl)Si)_2NN(SiMe_3)AsMe_2 \cdot GaCl_3$ als *trans*-Isomere vor. Nach dem Methyl-Chlor-Austausch kann die Silylgruppe mit dem ausgetauschten Chloratom entweder nach vorne oder nach hinten stehen. Die auf diese Weise gebildeten Diastereomere A1 und A2 lassen sich im NMR-Spektrum gut anhand der beiden unterschiedlichen Gruppen an auftretenden 1H bzw. ^{31}P -NMR-Signalen erkennen. Bei allen drei Austauschreaktionen entstehen die Diastereomere in einem ähnlichen Verhältnis von etwa 60 : 40 (A1 : A2).

4. Experimenteller Teil.

4.1 Arbeitstechnik.

Alle Reaktionen wurden unter Verwendung der Schlenk-Arbeitstechnik unter Argon als Inertgas durchgeführt. Zu Beginn wurden alle Glasgeräte im Hochvakuum ausgeheizt. Die Handhabung empfindlicher Substanzen erfolgte in einer Dry-Box unter Inertgasatmosphäre.

4.2 Ausgangsverbindungen und Lösungsmittel.

Die in der vorliegenden Arbeit verwendeten Ausgangsverbindungen wurden entweder über den Handel bezogen oder nach Literaturvorschrift hergestellt (Tabelle 3). In Tabelle 4 sind die verwendeten Lösungsmittel sowie deren Trocknung und Reinigung aufgeführt.

Tabelle 3. Ausgangsverbindungen.

Substanz	Herkunft	Reinigung
Silbertriflat	Literatur 13	-
Silbertrifluoracetat	Literatur 13	-
(SiMe ₃) ₃ SiN(SiMe ₃)PCl ₂	Literatur 3	-
(SiMe ₃) ₂ NN(SiMe ₃)Li	Literatur 14	-
(SiMe ₃) ₂ NN(SiMe ₃)PCl ₂	Literatur 15	Sublimation
(SiMe ₃) ₂ NN(SiMe ₃)P(Ph)Cl	Literatur 6	Sublimation
PhPMeCl	Literatur 16	Destillation
MePCl ₂ (99 %)	Merck	Destillation
PhPCl ₂ (97 %)	Alfa Aesar	Destillation

AgC ₆ F ₅	Literatur 17	-
BrC ₆ F ₅ (99 %)	Alfa Aesar	Destillation
Mes*PCl ₂	Literatur 18	-
Mes*Br	Literatur 18	-
Mes*PCl ₂	Literatur 18	-
GaCl ₃ (99.999 %)	Sigma-Aldrich	-
AlCl ₃ (99.999 %)	Acros	-
DMAP (99 %)	Aldrich	-
<i>n</i> -BuLi (2.5 M)	Acros	-
PCl ₃ (99 %)	Acros	Destillation

Tabelle 4. Verwendete Lösungsmittel.

Lösungsmittel	Reinigung	Trocknung
CH ₂ Cl ₂	Literatur 19 und Destillation	P ₄ O ₁₀
Diethylether	Destillation	Na/Benzophenon
<i>n</i> -Hexan	Destillation	Na/Benzophenon/Tetraglyme
<i>n</i> -Pentan	Destillation	Na/Benzophenon/Tetraglyme
THF	Destillation	Na/Benzophenon
Toluol	Destillation	Na/K/Benzophenon

4.3 Analysenmethoden.

NMR: $^{31}\text{P}\{^1\text{H}\}$ -, ^{29}Si -INEPT-, $^{19}\text{F}\{^1\text{H}\}$ -, $^{13}\text{C}\{^1\text{H}\}$ -, ^{13}C -DEPT- und ^1H -NMR-Spektren wurden auf einem Bruker AVANCE 300, 400 oder 500 Spektrometer gemessen und intern auf die deuterierten Lösemittel (^{13}C , CD_2Cl_2 : $\delta_{\text{Referenz}} = 54$ ppm, C_6D_6 : $\delta_{\text{Referenz}} = 128$ ppm) oder auf protische Verunreinigungen in den deuterierten Lösemitteln (^1H , CDHCl_2 : $\delta_{\text{Referenz}} = 5.31$ ppm, $\text{C}_6\text{D}_5\text{H}$: $\delta_{\text{Referenz}} = 7.16$ ppm) oder extern (^{19}F : CFCl_3 , ^{29}Si -INEPT: SiMe_4 , ^{31}P : 85% $\text{H}_3\text{PO}_4(\text{aq})$) kalibriert. C_6D_6 wurde über Na/Benzophenon getrocknet und frisch destilliert, CD_2Cl_2 wurde über P_4O_{10} getrocknet und frisch destilliert.

IR: Nicolet 6700 FT-IR Spektrometer mit einem Smart Endurance ATR Modul oder Nicolet 380 FT-IR (HeNe Laser, 633nm) mit Smart Orbit ATR Modul.

Raman: Bruker VERTEX 70 FT-IR mit RAM II FT-Raman-Modul, ausgerüstet mit einem Nd:YAG Laser (1064nm).

MS: Finnigan MAT 95-XP von Thermo Electron.

Elementaranalyse: Analysator Flash EA 1112 von Thermo Quest.

Schmelzpunkte: nicht korrigiert (EZ-Melt, Stanford Research Systems). Heizrate 20 °C/min (angegeben ist jeweils der Klärpunkt)

DSC: DSC 823e von Mettler-Toledo, Heizrate 20 °C/min.

Strukturbestimmung: Kristalle wurde in Fomblin YR-1800-Öl (Alfa Aesar) bei Raumtemperatur selektiert. Alle Proben wurden während der Messung auf 173(2) K gekühlt. Die Daten wurden auf einem Bruker-Nonius Apex X8- oder Bruker Apex Kappa II-CCD Diffraktometer mit monochromatischer (Graphit) Mo-K_α -Strahlung ($\lambda = 0.71073$) gemessen. Die Strukturen wurden durch direkte Methoden gelöst (*SHELXS-97*)^[20] und durch *full-matrix least squares* Verfahren verfeinert (*SHELXL-97*)^[21]. Semi-empirische Absorptionskorrekturen wurden angewendet (*SADABS*)^[22]. Alle Nicht-Wasserstoffatome wurden anisotrop verfeinert, Wasserstoffatome wurden in idealisierten Lagen berechnet. Detaillierte kristallographische

Daten sowie ausgewählte Bindungslängen (Å), Winkel (°) und Diederwinkel (°) aller Datensätze sind im Anhang 6 zusammengefasst.

4.4 Reaktionen und Darstellungen.

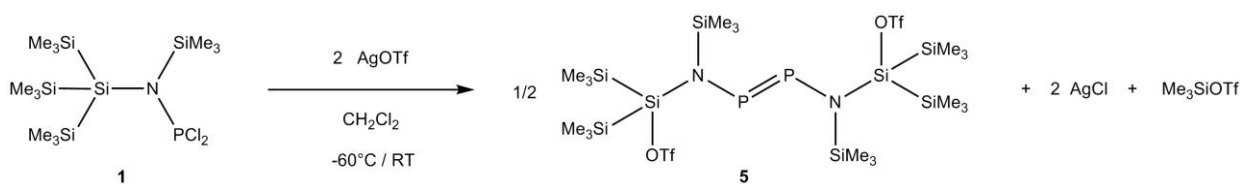
4.4.1 *N*-[Tris(trimethylsilyl)silyl]-*N*-trimethylsilylamino-bis(trifluoracetato)phosphan (Me_3Si)₃SiN(SiMe₃)P(OCOCF₃)₂ (**4**).



Eine Lösung von *N*-[Tris(trimethylsilyl)silyl]-*N*-trimethylsilylamino-dichlorophosphan (Me_3Si)₃SiN(SiMe₃)PCl₂ (**1**) (0.437 g, 1.00 mmol) in 5 mL Toluol wird bei -70 °C tropfenweise über einen Zeitraum von 15 Minuten mit einer Lösung von Silbertrifluoroacetat AgTFA (0.453 g, 2.05 mmol) versetzt. Es bildet sich ein hellgelber Niederschlag in einer farblosen Lösung. Das Lösungsmittel wird im Hochvakuum entfernt, und der erhaltene gelbliche Rückstand mit 10 mL *n*-Pentan extrahiert. Nach Filtration wird die farblose Lösung eingengt und bei -40 °C gelagert, wobei sich farblose Kristalle bilden. Nach Entfernen des Überstandes und Trocknen im Hochvakuum werden 0.45 g (0.76 mmol, 76 %) (Me_3Si)₃SiN(SiMe₃)P(OCOCF₃)₂ (**4**) in Form farbloser Kristalle erhalten. **Smp.** 101 °C. **CHN:** C₁₆H₃₆F₆NO₄PSi₅ (591.85): ber. C 32.47, H 6.13, N 2.37; gef. C 32.00, H 6.30, N 2.41. **¹H-NMR** (25 °C, CD₂Cl₂, 300.13 MHz): δ = 0.29 (d, 27 H, ⁵J(³¹P-¹H) = 1.3 Hz, ¹J(¹³C-¹H) = 121 Hz, Si(Si(CH₃)₃)₃), 0.35 (s, 9 H, ²J(²⁹Si-¹H) = 6.6 Hz, N(Si(CH₃)₃)). **¹³C{¹H}-NMR** (25 °C, CD₂Cl₂, 75.47 MHz): δ = 2.24 (d, ⁴J(³¹P-¹³C) = 5.3 Hz, ¹J(²⁹Si-¹³C) = 46 Hz, Si(Si(CH₃)₃)₃), 3.79 (s, ¹J(²⁹Si-¹³C) = 57 Hz, N(Si(CH₃)₃)), 114.7 (dq, ³J(³¹P-¹³C) = 4.3 Hz, ¹J(¹⁹F-¹³C) = 286.5 Hz, CF₃), 155.4 (dq, ²J(³¹P-¹³C) = 6.8 Hz, ²J(¹⁹F-¹³C) = 43.7 Hz, OCO). **¹⁹F{¹H}-NMR** (25 °C, CD₂Cl₂, 282.4 MHz): δ = -76.0 (s). **²⁹Si-NMR** (25 °C, CD₂Cl₂, 59.63 MHz): δ = -26.0 (m, ²J(³¹P-²⁹Si) = 44 Hz, Si(SiMe₃)₃), -12.6 (m, Si(SiMe₃)), 14.8 (m, ²J(³¹P-²⁹Si) = 1.9 Hz, N(SiMe₃)). **³¹P{¹H}-NMR** (25 °C, CD₂Cl₂, 121.49 MHz): δ = 147.7 (s). **IR** (ATR, 32 Scans): 2950 (m), 2894 (m), 1787 (s), 1774 (s), 1441 (w), 1398 (w), 1360 (m), 1260 (m), 1245 (m), 1219 (s), 1169 (s), 1149 (s), 1108 (s), 981 (s), 824 (s), 791 (m), 774 (m), 748 (m), 727 (s), 682 (s), 656 (m), 622 (s), 566 (m). **Raman** (200 mW, 1049 Scans, 25 °C, cm⁻¹): 2994 (2), 2952 (5), 2896 (10), 1789 (1), 1776 (1), 1418 (1), 1265 (1), 1241 (1), 1108 (1), 1050 (1), 985 (1), 863 (1), 751 (1), 686 (2), 645 (1), 627 (3), 509 (2), 485 (1), 464 (1), 450 (1), 433 (1), 402 (1), 364

(1), 333 (1), 301 (1), 176 (2), 119 (1). **MS** (Cl^+ , Isobutan): 478 $[\text{M} - \text{CF}_3\text{CO}_2]^+$, 518 $[\text{M} - \text{SiMe}_3]^+$, 592 $[\text{M} - \text{H}]^+$.

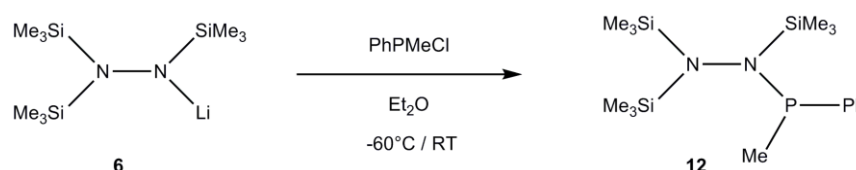
4.4.2 Bis{*N*-[(trifluormethylsulfonato)-bis(trimethylsilyl)silyl]-*N*-(trimethylsilyl)-amino}-diphosphen (TfO)(SiMe₃)₂SiN(SiMe₃)P=PN(SiMe₃)Si(SiMe₃)₂(OTf) (5).



Eine Lösung von *N*-[Tris(trimethylsilyl)silyl]-*N*-trimethylsilylamino-dichlorphosphan ($(\text{Me}_3\text{Si})_3\text{SiN}(\text{SiMe}_3)\text{PCl}_2$ (**1**) (0.873 g, 2.00 mmol) in 10 mL Toluol wird bei $-60\text{ }^\circ\text{C}$ tropfenweise mit einer Lösung von Silbertriflat AgOTf (1.028 g, 4.00 mmol) in 10 mL Toluol über einen Zeitraum von 25 Minuten versetzt und unter Rühren auf Raumtemperatur gebracht. Die anfangs farblose Lösung nimmt langsam eine dunkelbraune Farbe an. Das Lösungsmittel wird im Hochvakuum entfernt und 10 mL *n*-Hexan zugegeben. Nach dem Abfiltrieren verbleibt eine braune Lösung, von der das Lösungsmittel im Hochvakuum entfernt wird und der bräunliche Feststoff in 2 mL Toluol gelöst wird. Nach dem Einengen wird die Lösung langsam über einen Zeitraum von 12 Stunden auf $-25\text{ }^\circ\text{C}$ gebracht, wobei sich orange Kristalle bilden. Nach Abnehmen des Überstandes und Entfernen des restlichen Lösungsmittels am Hochvakuum werden 1.34 g (1.52 mmol, 76 %) $(\text{TfO})(\text{SiMe}_3)_2\text{SiN}(\text{SiMe}_3)\text{P}=\text{PN}(\text{SiMe}_3)\text{Si}(\text{SiMe}_3)_2(\text{OTf})$ (**5**) in Form oranger Kristalle erhalten. **Smp.** $134\text{ }^\circ\text{C}$. **CHN:** $\text{C}_{20}\text{H}_{54}\text{F}_6\text{N}_2\text{O}_6\text{P}_2\text{S}_2\text{Si}_8$ (883.4): ber. C 27.19, H 6.16, N 3.17; gef. C 26.90, H 6.25, N 3.06. **$^1\text{H-NMR}$** ($25\text{ }^\circ\text{C}$, CD_2Cl_2 , 300.13 MHz): $\delta = 0.32$ (s, 36 H, $^2J(^{29}\text{Si}-^1\text{H}) = 6.5\text{ Hz}$, $^1J(^{13}\text{C}-^1\text{H}) = 121\text{ Hz}$, $\text{Si}(\text{Si}(\text{CH}_3)_3)_2$), 0.45 (s, 18 H, $^2J(^{29}\text{Si}-^1\text{H}) = 6.2\text{ Hz}$, $\text{N}(\text{Si}(\text{CH}_3)_3)$). **$^{13}\text{C}\{^1\text{H}\}\text{-NMR}$** ($25\text{ }^\circ\text{C}$, CD_2Cl_2 , 75.47 MHz): $\delta = 0.51$ (s, $\text{Si}(\text{Si}(\text{CH}_3)_3)_2$), 2.61 (t, $^3J(^{31}\text{P}-^{13}\text{C}) = 8.2\text{ Hz}$, $\text{N}(\text{Si}(\text{CH}_3)_3)$), 119.1 (q, $^1J(^{19}\text{F}-^{13}\text{C}) = 317.8\text{ Hz}$, $\text{S}(\text{CF}_3)$). **$^{19}\text{F}\{^1\text{H}\}\text{-NMR}$** ($25\text{ }^\circ\text{C}$, CD_2Cl_2 , 282.4 MHz): $\delta = -76.8$ (s). **$^{29}\text{Si-NMR}$** ($25\text{ }^\circ\text{C}$, CD_2Cl_2 , 59.63 MHz): $\delta = -14.9$ (m, $\text{Si}(\text{SiMe}_3)_2$), 13.1 (m, NSiMe_3), 25.0 (m, $\text{Si}(\text{SiMe}_3)_2$). **$^{31}\text{P}\{^1\text{H}\}\text{-NMR}$** ($25\text{ }^\circ\text{C}$, CD_2Cl_2 , 121.49 MHz): $\delta = 505.7$ (s). **IR** (ATR, 32 Scans): 2955 (m), 2897 (m), 1383 (s), 1244 (s), 1199 (s), 1149 (s), 1072 (m),

1031 (m), 950 (m), 918 (m), 878 (m), 828 (s), 792 (s), 749 (m), 689 (m), 624 (s), 599 (w), 565 (m), 537 (m).

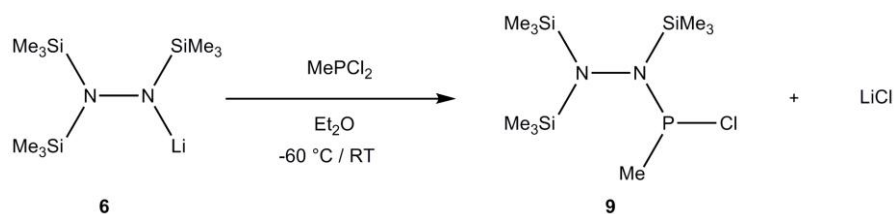
4.4.3 *N,N',N'*-Tris(trimethylsilyl)hydrazinchloromethylphosphan (Me_3Si)₂NN(SiMe_3)-**P(Me)Ph (12)**.



Eine Lösung von Chloromethylphenylphosphan PhPMeCl (0.753 g, 4.75 mmol) in 5 mL Diethylether wird bei -60°C tropfenweise mit einer Lösung von Lithium-*N,N',N'*-tris(trimethylsilyl)hydrazid $\text{Li}[(\text{Me}_3\text{Si})_2\text{NN}(\text{SiMe}_3)]$ (**6**) (1.209 g, 4.75 mmol) in 20 mL Diethylether versetzt. Die erhaltene gelbe Lösung wird weitere 10 Minuten bei -60°C gerührt, und anschließend über 30 Minuten auf Raumtemperatur gebracht, wobei LiCl als farbloser Niederschlag ausfällt. Das Lösungsmittel wird im Hochvakuum entfernt und der erhaltene gelbe Rückstand mit 10 mL *n*-Hexan extrahiert. Nach Filtration und Entfernen des Lösungsmittels im Hochvakuum verbleibt ein wachsartiger gelblicher Feststoff. Durch Sublimation bei 65°C über einen Zeitraum von 24 Stunden werden 1.42 g (3.83 mmol, 81%) $(\text{Me}_3\text{Si})_2\text{NN}(\text{SiMe}_3)\text{P}(\text{Me})\text{Ph}$ (**12**) als farbloser amorpher Feststoff erhalten. **Smp.** 68°C , **CHN:** $\text{C}_{16}\text{H}_{35}\text{N}_2\text{PSi}_3$ (370.69): ber. C 51.84, H 9.52, N 7.56; gef. C 51.53, H 10.07, N 7.71. **$^1\text{H-NMR}$** (25°C , CD_2Cl_2 , 300.13 MHz): $\delta = 0.00$ (s, 9 H, $\text{N}'\text{Si}(\text{CH}_3)_3$ oder $\text{NSi}(\text{CH}_3)_3$), 0.22 (d, 9 H, $J(^{31}\text{P}-^1\text{H}) = 0.8$ Hz, $\text{N}'\text{Si}(\text{CH}_3)_3$ oder $\text{NSi}(\text{CH}_3)_3$), 0.29 (s, 9 H, $\text{N}'\text{Si}(\text{CH}_3)_3$ oder $\text{NSi}(\text{CH}_3)_3$), 1.60 (d, 3 H, $^2J(^{31}\text{P}-^1\text{H}) = 7.6$ Hz, CH_3), 7.34 - 7.42 (m, 3 H, *m*-Ph und *p*-Ph), 7.70 (m, 2 H, *o*-Ph). **$^{13}\text{C}\{^1\text{H}\}$ -NMR** (25°C , CD_2Cl_2 , 75.47 MHz): $\delta = 3.4$ (d, $J(^{31}\text{P}-^{13}\text{C}) = 1.4$ Hz, $\text{N}'\text{Si}(\text{CH}_3)_3$ oder $\text{NSi}(\text{CH}_3)_3$), 3.7 (d, $J(^{31}\text{P}-^{13}\text{C}) = 5.5$ Hz, $\text{N}'\text{Si}(\text{CH}_3)_3$ oder $\text{NSi}(\text{CH}_3)_3$), 3.8 (d, $J(^{31}\text{P}-^{13}\text{C}) = 1.0$ Hz, $\text{N}'\text{Si}(\text{CH}_3)_3$ oder $\text{NSi}(\text{CH}_3)_3$), 14.9 (d, $^1J(^{31}\text{P}-^{13}\text{C}) = 19.2$ Hz, CH_3), 128.3 (d, $^3J(^{31}\text{P}-^{13}\text{C}) = 6.6$ Hz, *m*-Ph), 129.6 (s, *p*-Ph), 133.8 (d, $^2J(^{31}\text{P}-^{13}\text{C}) = 22.4$ Hz, *o*-Ph), 141.5 (d, $^1J(^{31}\text{P}-^{13}\text{C}) = 20.4$ Hz, *ipso*-Ph). **$^{29}\text{Si-NMR}$** (25°C , CD_2Cl_2 , 59.63 MHz): $\delta = 8.9, 8.9, 12.4$. **$^{31}\text{P}\{^1\text{H}\}$ -NMR** (25°C , CD_2Cl_2 , 121.49 MHz): $\delta = 42.9$. **IR** (ATR, 32 Scans): 3073 (w), 3055 (w), 2952 (m), 2900 (m), 1486 (w), 1473 (w), 1434 (m), 1415 (m), 1323 (w), 1306 (w), 1246 (s), 1179 (w),

1157 (w), 1099 (m), 1070 (w), 1024 (m), 897 (s), 828 (s), 770 (s), 742 (s), 698 (s), 670 (s), 639 (m), 618 (m), 603 (m), 582 (m), 531 (w). **Raman** (400 mW, 1000 Scans, 25 °C, cm⁻¹): 3058 (3), 2957 (5), 2903 (10), 1587 (2), 1572 (1), 1412 (1), 1263 (1), 1247 (1), 1180 (1), 1157 (1), 1099 (1), 1028 (2), 1002 (4), 917 (1), 901 (1), 844 (1), 742 (1), 674 (2), 640 (3), 619 (1), 510 (1), 493 (1), 433 (1), 403 (2), 319 (1), 296 (1), 236 (2), 204 (1). **MS** (CI⁺, Isobutan): 73 [SiMe₃]⁺, 174 [Me₃Si-NN-SiMe₃], 210 [M-(PhMeP)]⁺, 355 [M-Me]⁺, 371 [M+H]⁺.

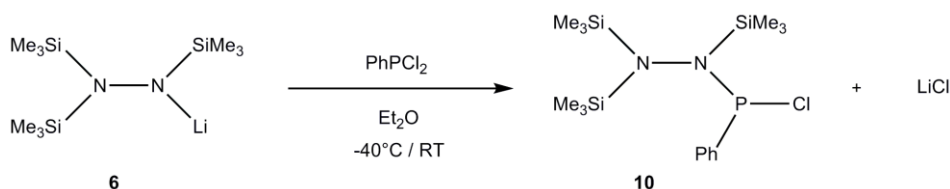
4.4.4 *N,N',N'*-Tris(trimethylsilyl)hydrazinchloromethylphosphan (Me₃Si)₂NN(SiMe₃)-P(Cl)Me (**9**).



Eine Lösung von Dichlormethylphosphan (0.368 g, 3.15 mmol) in 10 mL Diethylether wird bei -60 °C tropfenweise mit einer Lösung von Lithium-*N,N',N'*-tris(trimethylsilyl)hydrazid Li[(Me₃Si)₂NN(SiMe₃)] (**6**) (0.764 g, 3.00 mmol) in 10 mL Diethylether über einen Zeitraum von zehn Minuten versetzt, wobei LiCl als farbloser Niederschlag ausfällt. Nach zehnminütigem Rühren bei -60 °C wird das Reaktionsgemisch auf Raumtemperatur gebracht und anschließend das Lösungsmittel im Hochvakuum entfernt. Nach Zugabe von 10 mL Hexan wird der Niederschlag abfiltriert. Vom farblose Überstand wird das Lösungsmittel im Hochvakuum entfernt und es bilden sich 0.585 g (1.77 mmol, 60 %) (Me₃Si)₂NN(SiMe₃)P(Cl)Me (**9**) als farbloser Feststoff. **Smp**: 137 °C (Zers.). **CHN**: C₁₀H₃₀ClN₂PSi₃ (329.04) : ber. C 36.50, H 9.19, N 8.51 ; gef. C 34.37, H 8.90, N 8.74. **¹H-NMR** (25 °C, CD₂Cl₂, 300.13 MHz): δ = 0.23 (s, 9 H, N'Si(CH₃)₃ oder NSi(CH₃)₃), 0.25 (s, 9 H, N'Si(CH₃)₃ oder NSi(CH₃)₃), 0.34 (s, 9 H, N'Si(CH₃)₃ oder NSi(CH₃)₃), 1.86 (d, 3 H, ²J(³¹P-¹H) = 14.0 Hz, CH₃). **¹³C{¹H}-NMR** (25°C, CD₂Cl₂, 75.47MHz): δ = 2.82 (d, ³J(³¹P-¹³C) = 4.8 Hz, NSi(CH₃)₃), 2.93 (s, N'Si(CH₃)₃), 3.04 (d, ⁴J(³¹P-¹³C) = 2.8 Hz, N'Si(CH₃)₃), 22.8 (d, ¹J(³¹P-¹³C) = 33.0 Hz, CH₃). **²⁹Si-NMR** (25°C, CD₂Cl₂, 59.63 MHz): δ = 10.2, 10.2, 17.4. **³¹P{¹H}-NMR** (25 °C, CD₂Cl₂, 121.49 MHz): δ = 159.5. **IR** (ATR, 32 Scans): 2954 (m), 2900 (m), 1410 (m), 1248 (s), 1046 (w), 1026 (w), 956 (m), 916 (s), 901 (s), 872 (s), 829 (s), 815 (s),

768 (s), 754 (s), 675 (s), 664 (w), 641 (m), 619 (m), 607 (m), 586 (m). **Raman** (500 mW, 800 Scans, 25 °C, cm⁻¹): 2957 (5), 2903 (10), 1412 (2), 1263 (1), 1249 (1), 1047 (1), 875 (1), 840 (1), 771 (1), 752 (1), 696 (2), 682 (2), 663 (2), 641 (5), 518 (1), 505 (1), 481 (1), 436 (2), 415 (2), 377 (2), 356 (1), 327 (1), 290 (1), 234 (2), 189 (2), 140 (1), 109 (1). **MS** (FAB⁺, NBA): 293 [M - Cl]⁺, 313 [M - Me]⁺, 327 [M - H]⁺.

4.4.5 *N,N',N''*-Tris(trimethylsilyl)hydrazinchlorphenylphosphan (SiMe₃)₂NN(SiMe₃)P(Cl)Ph (**10**).

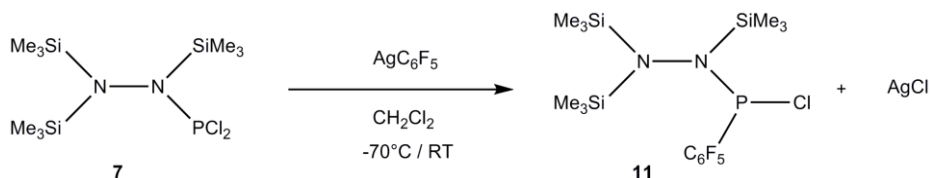


Eine Lösung von Dichlorphenylphosphan PhPCl₂ (0.895 g, 5.00 mmol) in 10 mL Diethylether wird bei -40 °C tropfenweise mit einer Lösung von Lithium-*N,N',N''*-tris(trimethylsilyl)hydrazid Li[(Me₃Si)₂NN(SiMe₃)] (**6**) (1.273 g, 5.00 mmol) in 25 mL Diethylether über einen Zeitraum von 10 Minuten versetzt. Es fällt LiCl als farbloser Niederschlag aus. Nach zweieinhalb Stunden Rühren bei -40 °C wird das Reaktionsgemisch auf Raumtemperatur gebracht, das Lösungsmittel im Hochvakuum entfernt und der farblose Rückstand mit 20 mL *n*-Hexan extrahiert. Nach Filtration wird eine gelblich, trübe Lösung erhalten. Nach Entfernen des *n*-Hexans im Hochvakuum verbleibt ein farbloser Feststoff, der bei 65 °C über einen Zeitraum von 12 Stunden im Hochvakuum sublimiert wird, wobei 1.435 g (3.67 mmol 73 %) (SiMe₃)₂NN(SiMe₃)P(Cl)Ph (**10**) als farbloser kristalliner Feststoff erhalten werden. Die analytischen Daten entsprechen denen der Literatur.^[6] Zusätzliche Daten: **¹H-NMR** (25 °C, CD₂Cl₂, 300.13 MHz): δ = 0.01 (s, 9 H, N'Si(CH₃)₃ oder NSi(CH₃)₃), 0.23 (s, 9 H, N'Si(CH₃)₃ oder NSi(CH₃)₃), 0.32 (d, 9 H, *J*(³¹P-¹H) = 0.8 Hz, N'Si(CH₃)₃ oder NSi(CH₃)₃), 7.44 (m, 3 H, *m*-Ph und *p*-Ph), 7.95 (m, 2 H, *o*-Ph). **¹³C{¹H}-NMR** (25 °C, CD₂Cl₂, 75.47 MHz): δ = 3.1 (d, *J*(³¹P-¹³C) = 2.3 Hz, N'Si(CH₃)₃ oder NSi(CH₃)₃), 3.2 (br, *J*(³¹P-¹³C) = 0.9 Hz, N'Si(CH₃)₃ oder NSi(CH₃)₃), 3.5 (d, *J*(³¹P-¹³C) = 3.7 Hz, N'Si(CH₃)₃ oder NSi(CH₃)₃), 128.5 (d, *J*(³¹P-¹³C) = 6.9 Hz, *m*-Ph), 131 (m, *p*-Ph), 133.0 (d, *J*(³¹P-¹³C) = 27.0 Hz, *o*-Ph), 138.6 (d, *J*(³¹P-¹³C) = 38.4 Hz, *ipso*-Ph). **²⁹Si-NMR** (25 °C, CD₂Cl₂, 59.63 MHz): δ = 10.2,

11.0, 19.0. $^{31}\text{P}\{^1\text{H}\}$ -NMR (25 °C, CD_2Cl_2 , 121.49 MHz): $\delta = 145.2$. IR (ATR, 32 Scans): 3076 (w), 3047 (w), 3020 (w), 2952 (m), 2901 (m), 1477 (m), 1462 (w), 1432 (m), 1402 (m), 1357 (w), 1330 (w), 1309 (m), 1266 (m), 1248 (s), 1182 (m), 1157 (m), 1086 (m), 1072 (m), 1020 (m), 1003 (w), 992 (w), 937 (s), 914 (s), 863 (w), 831 (m), 814 (m), 768 (m), 745 (s), 698 (m), 687 (m), 662 (m), 645 (w), 621 (m), 590 (s).

4.4.6 *N,N',N'*-Tris(trimethylsilyl)hydrazin(pentafluorphenyl)chlorphosphan ($(\text{Me}_3\text{Si})_2\text{NN}(\text{SiMe}_3)\text{P}(\text{C}_6\text{F}_5)\text{Cl}$ (**11**)).

1. Darstellung:

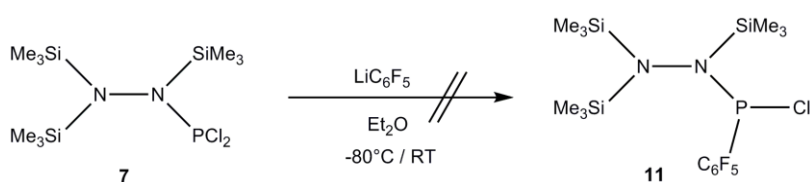


Eine Lösung von *N,N',N'*-Tris(trimethylsilyl)hydrazindichlorphosphan ($(\text{Me}_3\text{Si})_2\text{NN}(\text{SiMe}_3)\text{PCl}_2$ (**7**)) (0.689 g, 2.00 mmol) in 5 mL Dichlormethan wird bei Raumtemperatur tropfenweise mit einer Lösung Pentafluorphenylsilber AgC_6F_5 (0.577 g, 2.10 mmol) in 20 mL Dichlormethan über einen Zeitraum von 20 Minuten versetzt. Es bildet sich eine anfangs weiße Suspension, die nach vollständigem Zutropfen eine gelbe Farbe aufweist. Es wird 20 Minuten bei Raumtemperatur weitergerührt, anschließend wird das Lösungsmittel im Hochvakuum entfernt und 10 mL *n*-Hexan zugegeben, woraufhin eine gelbe Lösung mit weißem Niederschlag entsteht, von dem abfiltriert wird. Nach Entfernen des Lösungsmittels im Hochvakuum wird ein gelbes Öl erhalten, das bei 95 °C über einen Zeitraum von 20 Stunden sublimiert wird. Es werden 0.285 g (0.59 mmol, 22 %) ($(\text{Me}_3\text{Si})_2\text{NN}(\text{SiMe}_3)\text{P}(\text{C}_6\text{F}_5)\text{Cl}$ (**11**)) als farbloser wachsartiger Feststoff erhalten. **Smp.** 91 °C. **CHN:** $\text{C}_{15}\text{H}_{27}\text{ClF}_5\text{N}_2\text{PSi}_3$ (481.06): ber. C 37.45, H 5.66, N 5.82; gef. C 37.16, H 5.40, N 5.72. ^1H -NMR (25°C, CD_2Cl_2 , 300.13 MHz): $\delta = 0.08$ (s, 9 H, $\text{N}'\text{Si}(\text{CH}_3)_3$ oder $\text{NSi}(\text{CH}_3)_3$), 0.288 (d, 9 H, $J(^{31}\text{P}-^1\text{H}) = 0.5$ Hz, $\text{N}'\text{Si}(\text{CH}_3)_3$ oder $\text{NSi}(\text{CH}_3)_3$), 0.295 (d, 9 H, $J(^{31}\text{P}-^1\text{H}) = 1.0$ Hz, $\text{N}'\text{Si}(\text{CH}_3)_3$ oder $\text{NSi}(\text{CH}_3)_3$). $^{13}\text{C}\{^1\text{H}\}$ -NMR (25°C, CD_2Cl_2 , 75.47 MHz): $\delta = 2,96$ (d, $J(^{31}\text{P}-^{13}\text{C}) = 6.5$ Hz, $\text{N}'\text{Si}(\text{CH}_3)_3$ oder $\text{NSi}(\text{CH}_3)_3$), 3,06 (d, $J(^{31}\text{P}-^{13}\text{C}) = 0.8$ Hz, $\text{N}'\text{Si}(\text{CH}_3)_3$ oder

NSi(CH₃)₃, 3.3 (m, N'Si(CH₃)₃ oder NSi(CH₃)₃), 115.0 (m, *ipso*-C), 138.0 (m, ¹J(¹⁹F-¹³C) = 255 Hz, *m*-CF oder *o*-CF), 144.0 (m, ¹J(¹⁹F-¹³C) = 152 Hz, *p*-CF), 147.7 (m, ¹J(¹⁹F-¹³C) = 255 Hz, *m*-CF oder *o*-CF). ¹⁹F{¹H}-NMR (25 °C, CD₂Cl₂, 282.4 MHz): δ = -126.1 (m, 2 F), -149.4 (tt, 1 F, ³J(¹⁹F-¹⁹F) = 20.5 Hz, ⁴J(¹⁹F-¹⁹F) = 5.0 Hz), -161.3 (m, 2 F). ²⁹Si-NMR (25 °C, CD₂Cl₂, 59.63 MHz): δ = 10.5, 12.1, 21.1. ³¹P{¹H}-NMR (25 °C, CD₂Cl₂, 121.49 MHz): δ = 105.7 (t, ³J(³¹P-¹⁹F) = 64.0 Hz). IR (ATR, 32 Scans): 2960 (m), 2904 (m), 1636 (m), 1515 (s), 1469 (s), 1407 (m), 1379 (m), 1284 (m), 1265 (w), 1249 (s), 1142 (m), 1084 (s), 1049 (w), 1026 (w), 1003 (w), 978 (s), 902 (m), 882 (m), 831 (w), 818 (w), 780 (m), 768 (w), 754 (m), 727 (m), 678 (m), 659 (m), 646 (w), 629 (m), 608 (m), 584 (m), 571 (m). Raman (200 mW, 1049 Scans, 25 °C, cm⁻¹): 2963 (5), 2909 (10), 2794 (1), 2755 (1), 1638 (2), 1520 (1), 1413 (2), 1379 (1), 1312 (1), 1286 (1), 1269 (1), 1249 (1), 1139 (1), 1089 (1), 1048 (1), 976 (1), 885 (1), 826 (1), 784 (1), 746 (1), 683 (2), 649 (5), 631 (1), 586 (2), 522 (1), 506 (2), 468 (2), 444 (2), 419 (3), 392 (1), 338 (1), 230 (3), 205 (2), 184 (2). MS (CI⁺, Isobutan): 247 [M - PCl(C₆F₅)]⁺, 445 [M - Cl]⁺, 481 [M - H]⁺.

Für die Einkristallröntgenstrukturanalyse geeignete Einkristalle wurden erhalten, indem **11** in einem Minimum *n*-Hexan bei Raumtemperatur gelöst und anschließend langsam auf -80 °C gekühlt wurde.

2. Versuchte Darstellung von **11** aus *N,N',N'*-Tris(trimethylsilyl)hydrazindichlorphosphan (Me₃Si)₂NN(SiMe₃)PCl₂ und Pentafluorphenyllithium LiC₆F₅:



Eine Lösung von Pentafluorphenyllithium LiC₆F₅ (0.870 g, 5.00 mmol) in 30 mL Diethylether wird bei -80 °C mit einer Lösung von *N,N',N'*-Tris(trimethylsilyl)hydrazindichlorphosphan (Me₃Si)₂NN(SiMe₃)PCl₂ (**7**) (1.747 g, 5.00 mmol) in 20 mL Diethylether versetzt. Nach zehn Minuten Rühren bei -80 °C wird die Lösung auf Raumtemperatur gebracht, wobei nach zehn Minuten ein farbloser Niederschlag entsteht. Die Suspension wird 3 Stunden bei Raumtemperatur gerührt, danach wird das Lösungsmittel im Hochvakuum entfernt und der braune Rückstand mit 10 mL *n*-Hexan extrahiert. Nach Filtrieren

und Entfernen des Lösungsmittels im Hochvakuum verbleibt ein dunkelbraunes Öl. Das ^{31}P -NMR zeigt zu 53 % das Edukt $(\text{Me}_3\text{Si})_2\text{NN}(\text{SiMe}_3)\text{PCl}_2$ und zu 39 % das gewünschte Produkt $(\text{Me}_3\text{Si})_2\text{NN}(\text{SiMe}_3)\text{P}(\text{C}_6\text{F}_5)\text{Cl}$ (**11**).

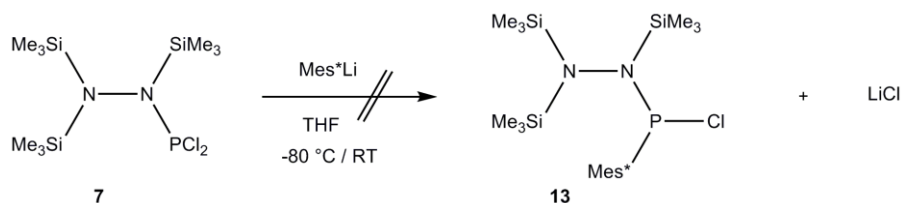
4.4.7 Versuchte Darstellung von *N,N',N'*-Tris(trimethylsilyl)hydrazin-chlor(2,4,6-tri-*tert.*-butylphenyl)phosphan $(\text{Me}_3\text{Si})_2\text{NN}(\text{SiMe}_3)\text{P}(\text{Cl})\text{Mes}^*$ (**13**).

1. Methode:



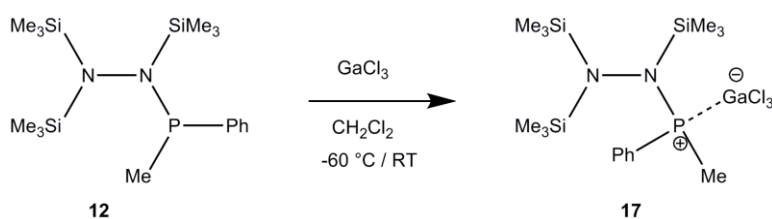
Eine Lösung von 2,4,6-tri-*tert.*-butylphenyl-dichlorphosphan (1.614 g, 4.65 mmol) in 8 mL Diethylether wird bei $-60\text{ }^\circ\text{C}$ tropfenweise mit einer Lösung von Lithium-*N,N',N'*-tris(trimethylsilyl)hydrazid $\text{Li}[(\text{Me}_3\text{Si})_2\text{NN}(\text{SiMe}_3)]$ (**6**) (1.184 g, 4.65 mmol) in 15 mL Diethylether über einen Zeitraum von 10 Minuten versetzt. Die braun-orange Suspension wird auf Raumtemperatur gebracht und eine Stunde gerührt. Das Lösungsmittel wird im Hochvakuum entfernt und der bräunliche Rückstand mit 10 mL *n*-Hexan extrahiert. Nach dem Filtrieren verbleibt eine dunkelbraune Lösung. Das ^{31}P -NMR-Spektrum zeigt, dass neben dem Edukt Mes^*PCl_2 (152 ppm, 66 %), $\text{Mes}^*\text{PPMes}^*$ (492 ppm, 22 %) und $(\text{Me}_3\text{Si})_2\text{NNPMes}^*$ (360 ppm, 12 %) als Hauptprodukte entstanden sind.

2. Methode:



Eine Lösung von N,N',N' -Tris(trimethylsilyl)hydrazindichlorphosphan ($(\text{Me}_3\text{Si})_2\text{NN}(\text{SiMe}_3)\text{PCl}_2$ (**7**)) (1.048 g, 3.00 mmol) in 10 mL THF wird bei $-80\text{ }^\circ\text{C}$ mit einer Lösung von 2,4,6-tri-*tert.*-butylphenyl-lithium Mes^*Li (0.757 g, 3.00 mmol), hergestellt aus *n*-BuLi (2.5 M, 1.24 mL, 3.00 mmol) und Mes^*Br (0.977 g, 3.00 mmol), in 15 mL THF über einen Zeitraum von 10 Minuten versetzt. Die gelbe Lösung wird langsam auf Raumtemperatur erwärmt und weist nach 12 Stunden eine orange-rote Farbe auf. Das ^{31}P -NMR-Spektrum der Reaktionslösung zeigt, dass neben dem Edukt $(\text{Me}_3\text{Si})_2\text{NN}(\text{SiMe}_3)\text{PCl}_2$ (**7**) (166 ppm, 22 %) $\text{Mes}^*\text{PPMes}^*$ (488 ppm, 60 %) und $(\text{Me}_3\text{Si})_2\text{NNPMes}^*$ (360 ppm, 18 %) als Hauptprodukte entstanden sind.

4.4.8 N,N',N' -Tris(trimethylsilyl)hydrazinmethylphenylphosphan·Galliumtrichlorid-Addukt $(\text{Me}_3\text{Si})_2\text{NN}(\text{SiMe}_3)\text{P}(\text{Me})\text{Ph} \cdot \text{GaCl}_3$ (**17**).

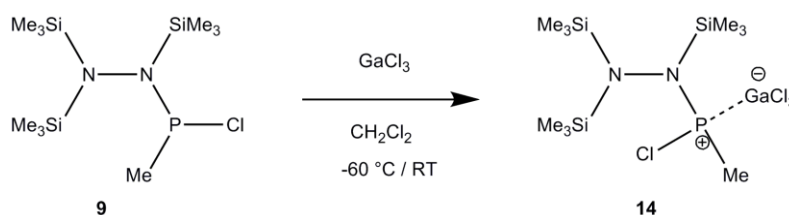


Eine Lösung von N,N',N' -Tris(trimethylsilyl)hydrazinmethylphenylphosphan ($(\text{Me}_3\text{Si})_2\text{NN}(\text{SiMe}_3)\text{P}(\text{Me})\text{Ph}$ (**12**)) (0.371 g, 1.00 mmol) in 5 mL Dichlormethan wird bei $-60\text{ }^\circ\text{C}$ tropfenweise mit einer Lösung von Galliumtrichlorid (0.185 g, 1.05 mmol) in 5 mL Dichlormethan über einen Zeitraum von zehn Minuten versetzt. Die farblose Lösung wird auf Raumtemperatur gebracht und weitere drei Stunden gerührt. Dann wird die Lösung bis zur einsetzenden Kristallisation im Hochvakuum eingengt und für eine Stunde bei

Raumtemperatur gelagert. Nach Entfernen des Überstandes und Trocknen im Hochvakuum werden 0.39 g (0.71 mmol, 71 %) $(\text{Me}_3\text{Si})_2\text{NN}(\text{SiMe}_3)\text{P}(\text{Me})\text{Ph} \cdot \text{GaCl}_3$ (**17**) in Form farbloser Kristalle erhalten. **Smp.** 190 °C. **CHN:** $\text{C}_{16}\text{H}_{35}\text{Cl}_3\text{GaN}_2\text{PSi}_3$ (546.77): ber. C 35.15, H 6.45, N 5.12; gef. C 34.47, H 6.54, N 5.23. **$^1\text{H-NMR}$** (25 °C, CD_2Cl_2 , 300.13 MHz): $\delta = -0.04$ (s, 9 H, $\text{N}'\text{Si}(\text{CH}_3)_3$), 0.34 (s, 9 H, $\text{NSi}(\text{CH}_3)_3$), 0.49 (s, 9 H, $\text{N}'\text{Si}(\text{CH}_3)_3$), 2.21 (d, 3 H, $^2J(^{31}\text{P}-^1\text{H}) = 7.0$ Hz, CH_3), 7.51 - 7.65 (m, 3 H, *m*-Ph und *p*-Ph), 7.79 (m, 2 H *o*-Ph). **$^{13}\text{C}\{^1\text{H}\}$ -NMR** (25°C, CD_2Cl_2 , 75.47MHz): $\delta = 3.23$ (s, $\text{NSi}(\text{CH}_3)_3$), 3.63 (s, $\text{N}'\text{Si}(\text{CH}_3)_3$), 3.72 (s, $\text{N}'\text{Si}(\text{CH}_3)_3$), 8.8 (d, $^2J(^{31}\text{P}-^{13}\text{C}) = 43.0$ Hz, CH_3), 129.4 (d, $^2J(^{31}\text{P}-^{13}\text{C}) = 11.8$ Hz, *m*-Ph), 133.5 (br d, *p*-Ph), 133.8 (d, $^2J(^{31}\text{P}-^{13}\text{C}) = 11.8$ Hz, *o*-Ph), *ipso*-Ph nicht angegeben. **$^{29}\text{Si-NMR}$** (25°C, CD_2Cl_2 , 59.63 MHz): $\delta = 13.0$, 13.8, 22.6. **$^{31}\text{P}\{^1\text{H}\}$ -NMR** (25 °C, CD_2Cl_2 , 121.49 MHz): $\delta = 39.9$ (scharf), 33.7 (breit). **IR** (ATR, 32 Scans): 2956 (m), 2900 (m), 1588 (m), 1574 (w), 1485 (m), 1439 (m), 1410 (m), 1317 (w), 1298 (w), 1282 (w), 1253 (s), 1164 (m), 1120 (m), 1103 (m), 1014 (w), 1004 (w), 994 (w), 976 (m), 920 (s), 878 (s), 826 (s), 771 (s), 749 (s), 691 (s), 667 (s), 643 (m), 623 (m), 600 (m), 585 (m). **Raman** (200 mW, 1049 Scans, 25 °C, cm^{-1}): 3177 (1), 3149 (1), 3071 (4), 3061 (3), 3023 (2), 2995 (3), 2961 (5), 2928 (5), 2907 (10), 1589 (3), 1576 (1), 1411 (1), 1272 (1), 1252 (1), 1190 (1), 1164 (1), 1145 (1), 1104 (1), 1029 (2), 1001 (2), 924 (1), 880 (1), 854 (1), 751 (1), 736 (1), 692 (1), 667 (1), 643 (3), 617 (1), 506 (1), 448 (1), 420 (1), 400 (1), 380 (1), 356 (3), 342 (1), 270 (1), 232 (1), 197 (1), 152 (1), 137 (1), 111 (1), 99 (1), 83 (2). **MS** (FAB^+ , NBA): 210 $[\text{M} - \text{GaCl}_3 - \text{N}(\text{SiMe}_3)(\text{SiMe}_2\text{Cl})]^+$, 247 $[\text{N}(\text{SiMe}_3)\text{N}(\text{SiMe}_3)_2]^+$, 355 $[\text{M} - \text{Me}]^+$, 371 $[\text{M} - \text{GaCl}_3 + \text{H}]^+$.

Für die Röntgenstrukturanalyse geeignete Einkristalle wurden direkt aus der konzentrierten Reaktionslösung von **17** bei Raumtemperatur erhalten.

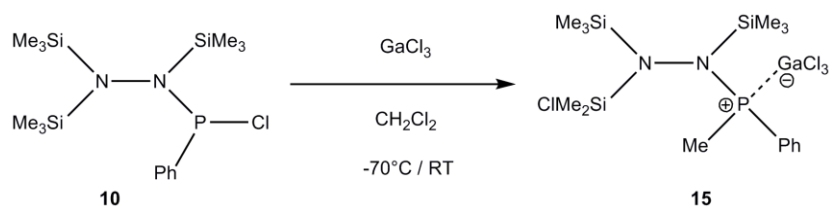
4.4.9 *N,N',N'*-Tris(trimethylsilyl)hydrazinchloromethylphosphan-Galliumtrichlorid-Addukt $(\text{Me}_3\text{Si})_2\text{NN}(\text{SiMe}_3)\text{P}(\text{Cl})\text{Me} \cdot \text{GaCl}_3$ (**14**).



Eine Lösung von *N,N,N'*-Tris(trimethylsilyl)hydrazinchlormethylphosphan ($(\text{Me}_3\text{Si})_2\text{NN}(\text{SiMe}_3)\text{P}(\text{Cl})\text{Me}$) (**9**) (0.443 g, 1.35 mmol) in 5 mL Dichlormethan wird bei $-60\text{ }^\circ\text{C}$ tropfenweise mit einer Lösung von Galliumtrichlorid (0.250 g, 1.418 mmol) in 5 mL Dichlormethan über einen Zeitraum von zehn Minuten versetzt. Die farblose Lösung wird auf Raumtemperatur gebracht, worauf sie sich langsam schwach gelblich färbt. Dann wird die Lösung bis zur einsetzenden Kristallisation im Hochvakuum eingengt und für eine Stunde bei Raumtemperatur gelagert. Nach Entfernen des Überstandes und Trocknen im Hochvakuum werden 0.49 g (0.97 mmol, 72 %) $(\text{Me}_3\text{Si})_2\text{NN}(\text{SiMe}_3)\text{P}(\text{Cl})\text{Me} \cdot \text{GaCl}_3$ (**14**) in Form farbloser Kristalle erhalten. **Smp.** $92\text{ }^\circ\text{C}$ (Zers.). **CHN:** $\text{C}_{10}\text{H}_{30}\text{Cl}_4\text{GaN}_2\text{PSi}_3$ (505.12): ber. C 23.78, H 5.99, N 5.55; gef. C 23.60, H 5.99, N 5.81. **$^1\text{H-NMR}$** ($25\text{ }^\circ\text{C}$, CD_2Cl_2 , 300.13 MHz): $\delta = 0.32$ (s, 18 H, $\text{N}'(\text{Si}(\text{CH}_3)_3)_2$), 0.52 (s, 9 H, $\text{NSi}(\text{CH}_3)_3$), 2.32 (br s, 3H, CH_3). **$^{31}\text{P}\{^1\text{H}\}\text{-NMR}$** ($25\text{ }^\circ\text{C}$, CD_2Cl_2 , 121.49 MHz): $\delta = 98.0$ (br). **IR** (ATR, 32 Scans): 2957 (m), 2904 (w), 1444 (w), 1406 (m), 1297 (w), 1284 (m), 1256 (s), 1162 (w), 1108 (w), 1015 (m), 1000 (w), 923 (m), 890 (s), 826 (s), 769 (w), 758 (m), 679 (w), 667 (m), 654 (w), 645 (w), 621 (m), 606 (m). **Raman** (200 mW, 1049 Scans, $25\text{ }^\circ\text{C}$, cm^{-1}): 2964 (4), 2906 (10), 1413 (1), 1273 (1), 1254 (1), 1035 (1), 930 (1), 849 (1), 734 (1), 685 (1), 644 (4), 609 (1), 497 (1), 434 (1), 393 (2), 343 (5), 252 (1), 200 (1), 131 (1), 116 (1), 104 (1), 91 (1).

Für die Röntgenstrukturanalyse geeignete Einkristalle wurden direkt aus der konzentrierten Reaktionslösung von **14** bei Raumtemperatur erhalten.

4.4.10 *N,N'*-Bis(trimethylsilyl)-*N*-(dimethylchlorosilyl)hydrazin(methyl)phenylphosphan · Galliumtrichlorid-Addukt ($\text{Me}_3\text{Si}(\text{Me}_2\text{ClSi})\text{NN}(\text{SiMe}_3)\text{P}(\text{Me})\text{Ph} \cdot \text{GaCl}_3$ (15**).**



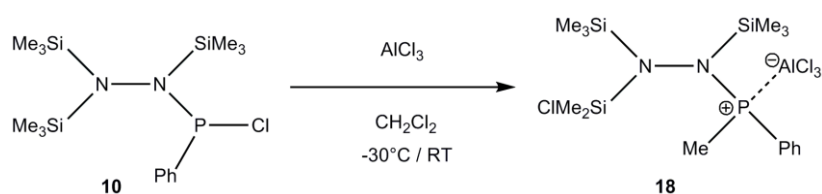
Eine Lösung von *N,N,N'*-Tris(trimethylsilyl)hydrazinchlorphenylphosphan ($\text{Me}_3\text{Si})_2\text{NN}(\text{SiMe}_3)\text{P}(\text{Cl})\text{Ph}$ (**10**) (0.782 g, 2.00 mmol) in 10 mL Dichlormethan wird bei -70°C tropfenweise mit einer Lösung von GaCl_3 (0.370 g, 2.10 mmol) in 5 mL Dichlormethan versetzt, wobei eine tiefrote Lösung erhalten wird. Das Reaktionsgemisch wird auf Raumtemperatur gebracht und zwölf Stunden weitergerührt, wobei eine Entfärbung nach farblos eintritt. Nach dem Einengen verbleibt eine gelbe ölige Flüssigkeit, die auf -25°C gekühlt wird, wobei sich farblose Kristalle bilden. Nach Entfernen des Überstandes, Waschen mit 1 mL *n*-Hexan und Entfernen des Lösungsmittels im Hochvakuum erhält man 0.675 g (1.19 mmol, 60 %) $\text{Me}_3\text{Si}(\text{Me}_2\text{ClSi})\text{NN}(\text{SiMe}_3)\text{P}(\text{Me})\text{Ph} \cdot \text{GaCl}_3$ -Addukt (**15**) als farblose Kristalle. **Smp.** 177°C . **CHN:** $\text{C}_{15}\text{H}_{32}\text{Cl}_4\text{GaN}_2\text{PSi}_3$ (567.19): ber. C 31.76, H 5.69, N 4.94; gef. C 30.66, H 5.70, N 4.53. **NMR:** (Verhältnis **A1** : **A2** = 62 : 38). (**A1**): **$^1\text{H-NMR}$** (25°C , CD_2Cl_2 , 300.13 MHz): $\delta = -0.06$ (s, 3 H, $\text{N}'\text{SiCl}(\text{CH}_3)_2$), 0.43 (s, 9 H, $\text{N}'\text{Si}(\text{CH}_3)_3$ oder $\text{NSi}(\text{CH}_3)_3$), 0.51 (s, 3 H, $\text{N}'\text{SiCl}(\text{CH}_3)_2$), 0.53 (s, 9 H, $\text{N}'\text{Si}(\text{CH}_3)_3$ oder $\text{NSi}(\text{CH}_3)_3$), 2.35 (d, 3 H, $^2J(^{31}\text{P}-^1\text{H}) = 7.6$ Hz, CH_3), 7.69-7.52 (m, 3 H, *m*-Ph und *p*-Ph), 7.95 (m, 2 H, *o*-Ph). **$^{13}\text{C}\{^1\text{H}\}$ -NMR** (25°C , CD_2Cl_2 , 75.47 MHz): $\delta = 3.4$ (s, $\text{N}'\text{Si}(\text{CH}_3)_3$ oder $\text{NSi}(\text{CH}_3)_3$), 3.4 (s, $\text{N}'\text{SiCl}(\text{CH}_3)_2$), 3.5 (s, $\text{N}'\text{Si}(\text{CH}_3)_3$ oder $\text{NSi}(\text{CH}_3)_3$), 6.1 (s, $\text{N}'\text{SiCl}(\text{CH}_3)_2$), 8.3 (d, $^1J(^{31}\text{P}-^{13}\text{C}) = 45.0$ Hz, CH_3), 129.5 (d, $^3J(^{31}\text{P}-^{13}\text{C}) = 11.0$ Hz, *m*-Ph), 131.0 (d, $^1J(^{31}\text{P}-^{13}\text{C}) = 13.5$ Hz, *ipso*-Ph), 133.9 (s, *p*-Ph), 134.3 (d, $^2J(^{31}\text{P}-^{13}\text{C}) = 11.9$ Hz, *o*-Ph). **$^{29}\text{Si-NMR}$** (25°C , CD_2Cl_2 , 59.63 MHz): $\delta = 17.2, 22.5, 24.6$ (oder 24.2). **$^{31}\text{P}\{^1\text{H}\}$ -NMR** (25°C , CD_2Cl_2 , 121.49 MHz): $\delta = 34.0$ (breit), 41.9. (**A2**): **$^1\text{H-NMR}$** (25°C , CD_2Cl_2 , 300.13 MHz): $\delta = 0.06$ (s, 9 H, $\text{N}'\text{Si}(\text{CH}_3)_3$ oder $\text{NSi}(\text{CH}_3)_3$), 0.53 (s, 9 H, $\text{N}'\text{Si}(\text{CH}_3)_3$ oder $\text{NSi}(\text{CH}_3)_3$), 0.76 (s, 3 H, $\text{N}'\text{SiCl}(\text{CH}_3)_2$), 0.79 (s, 3 H, $\text{N}'\text{SiCl}(\text{CH}_3)_2$), 2.30 (d, 3 H, $^2J(^{31}\text{P}-^1\text{H}) = 7.6$ Hz, CH_3), 7.69-7.52 (m, 3 H, *m*-Ph und *p*-Ph), 7.83 (m, 2 H, *o*-Ph). **$^{13}\text{C}\{^1\text{H}\}$ -NMR** (25°C , CD_2Cl_2 , 75.47 MHz): $\delta = 3.2$ (s, $\text{N}'\text{Si}(\text{CH}_3)_3$ oder $\text{NSi}(\text{CH}_3)_3$), 3.7 (s, $\text{N}'\text{Si}(\text{CH}_3)_3$ oder $\text{NSi}(\text{CH}_3)_3$), 5.7 (s, $\text{N}'\text{SiCl}(\text{CH}_3)_2$), 6.4 (s, $\text{N}'\text{SiCl}(\text{CH}_3)_2$), 9.6 (d, $^1J(^{31}\text{P}-^{13}\text{C}) = 43.0$ Hz, CH_3), 129.6 (d, $^3J(^{31}\text{P}-^{13}\text{C}) = 11.0$ Hz, *m*-Ph), 131.0 (d, $^1J(^{31}\text{P}-$

^{13}C) = 13.5 Hz, *ipso*-Ph), 134.0 (d, $^2J(^{31}\text{P}-^{13}\text{C})$ = 11.5 Hz, *o*-Ph), 134.0 (s, *p*-Ph). ^{29}Si -NMR (25°C, CD_2Cl_2 , 59.63 MHz): δ = 16.2, 24.2 (oder 24.6), 25.1. $^{31}\text{P}\{^1\text{H}\}$ -NMR (25°C, CD_2Cl_2 , 121.49 MHz): δ = 34.0 (breit), 40.2. **IR** (ATR, 32 Scans): 3086 (w), 3061 (w), 2958 (m), 2920 (w), 2902 (w), 1588 (m), 1575 (w), 1486 (m), 1462 (w), 1439 (m), 1411 (m), 1335 (w), 1317 (m), 1298 (m), 1284 (w), 1256 (s), 1163 (m), 1120 (m), 1104 (m), 1019 (m), 1002 (w), 974 (m), 915 (w), 894 (m), 879 (m), 827 (m), 808 (m), 795 (w), 745 (s), 689 (s), 653 (s), 638 (w), 604 (m), 592 (m). **Raman** (200 mW, 400 Scans, 25 °C, cm^{-1}): 3068 (3), 2995 (4), 29863 (4), 2909 (10), 2845 (1), 2814 (1), 2789 (1), 1589 (3), 1414 (1), 1321 (1), 1190 (1), 1165 (1), 1105 (1), 1029 (2), 1001 (3), 922 (1), 843 (1), 736 (1), 692 (2), 655 (2), 638 (1), 617 (1), 595 (1), 556 (1), 530 (1), 502 (1), 477 (1), 448 (1), 416 (1), 383 (1), 343 (5), 238 (1), 196 (1), 177 (1), 156 (1), 136 (2). **MS** (Cl^+ , Isobutan): 355 $[\text{M} - \text{Cl} - \text{GaCl}_3]^+$, 391 $[\text{M} - \text{GaCl}_3 + \text{H}]^+$.

Für die Röntgenstrukturanalyse geeignete Einkristalle wurden direkt aus der konzentrierten Reaktionslösung von **15** bei Raumtemperatur erhalten.

4.4.11 *N,N'*-Bis(trimethylsilyl)-*N*-(dimethylchlorosilyl)hydrazinmethylphenylphosphan · Aluminiumtrichlorid-Addukt $(\text{Me}_3\text{Si})(\text{Me}_2\text{ClSi})\text{NN}(\text{SiMe}_3)\text{P}(\text{Me})\text{Ph} \cdot \text{AlCl}_3$ (**18**).

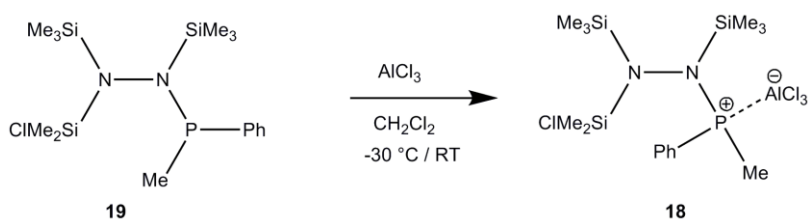
1. Darstellung:



Eine Suspension von AlCl_3 (0.140 g, 1.05 mmol) in 5 mL Dichlormethan wird bei $-30\text{ }^\circ\text{C}$ mit einer Lösung von *N,N',N'*-Tris(trimethylsilyl)hydrazinchlorphenylphosphan $(\text{Me}_3\text{Si})_2\text{NN}(\text{SiMe}_3)\text{P}(\text{Cl})\text{Ph}$ (**10**) (0.391 g, 1.00 mmol) in 15 mL Dichlormethan versetzt, wobei eine tiefrote Suspension erhalten wird. Nach 20 Minuten wird das Reaktionsgemisch auf Raumtemperatur gebracht und eine Stunde weitergerührt, wobei eine Entfärbung nach farblos eintritt. Die Lösung wird bis zur einsetzenden Kristallisation im Hochvakuum eingengt und eine Stunde bei Raumtemperatur gelagert. Nach Entfernen des Überstands und Trocknen im

Hochvakuum werden 0.514 g (0.980 mmol, 98 %) $(\text{Me}_3\text{Si})(\text{Me}_2\text{ClSi})\text{NN}(\text{SiMe}_3)\text{P}(\text{Me})\text{Ph} \cdot \text{AlCl}_3$ (**18**) in Form eines farblosen kristallinen Feststoffs erhalten.

2. Darstellung:



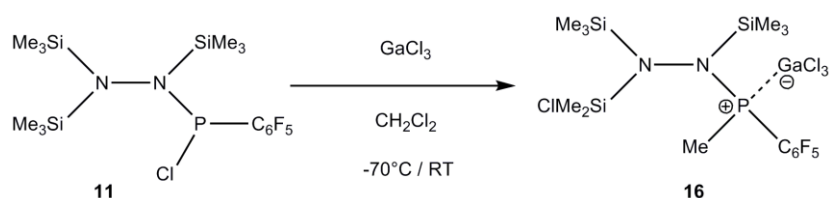
Eine Suspension von AlCl_3 (0.051 g, 3.785 mmol) in 5 mL Dichlormethan wird bei -30 °C mit einer Lösung von *N,N'*-Bis(trimethylsilyl)-*N*-(dimethylchlorosilyl)hydrazin-methylphenylphosphan: $(\text{Me}_3\text{Si})(\text{Me}_2\text{ClSi})\text{NN}(\text{SiMe}_3)\text{P}(\text{Me})\text{Ph}$ (**19**) (0.160 g, 0.361 mmol) in 2 mL Dichlormethan versetzt. Nach 30 Minuten wird die farblose Suspension auf Raumtemperatur gebracht und eine Stunde weitergerührt, wobei eine farblose Lösung gebildet wird. Diese wird bis zur einsetzenden Kristallisation eingengt und eine Stunde bei Raumtemperatur gelagert, wobei farblose Kristalle entstehen. Nach Entfernen des Lösungsmittels im Hochvakuum und Trocknen im Hochvakuum werden 0.136 g (0.259 mmol, 72 %) $(\text{Me}_3\text{Si})(\text{Me}_2\text{ClSi})\text{NN}(\text{SiMe}_3)\text{P}(\text{Me})\text{Ph} \cdot \text{AlCl}_3$ (**18**) in Form eines farblosen kristallinen Feststoffs erhalten.

Smp. 104 °C (Zers.). **CHN:** $\text{C}_{15}\text{H}_{32}\text{AlCl}_4\text{N}_2\text{PSi}_3$ (524.45): ber. C 34.35, H 6.15, N 5.34; gef. C 34.34, H 6.36, N 5.53. **NMR:** (Verhältnis **A1** : **A2** \approx 50 : 50). $^{31}\text{P}\{^1\text{H}\}$ -NMR (25°C, CD_2Cl_2 , 121.49 MHz): δ = ca. 30 (breit), 40.4, 42.0. **IR** (ATR, 32 Scans): 3059 (w), 2957 (m), 2920 (w), 2903 (w), 1589 (m), 1486 (w), 1439 (m), 1410 (m), 1316 (w), 1300 (m), 1257 (s), 1162 (w), 1120 (m), 1102 (w), 1042 (m), 1004 (w), 974 (m), 939 (w), 898 (m), 878 (m), 830 (s), 807 (s), 744 (s), 689 (s), 650 (m), 637 (m), 606 (w), 591 (m). **Raman** (700 mW, 1500 Scans, 25 °C, cm^{-1}): 3176 (1), 3149 (1), 3070 (3), 3019 (2), 2995 (3), 2963 (4), 2908 (10), 1590 (3), 1576 (1), 1413 (2), 1271 (1), 1191 (1), 1164 (1), 1104 (1), 1029 (2), 1001 (3), 948 (1), 916 (1), 880 (1), 849 (1), 795 (1), 757 (1), 733 (1), 693 (3), 656 (1), 638 (3), 618 (1), 517 (1), 507 (1), 478 (1), 455 (1), 421 (2), 400 (1), 379 (1), 346 (3), 308 (1), 250 (2), 211 (1), 181 (1), 158 (1), 129 (1),

110 (1). **MS** (FAB⁺, NBA): 210 [M –AlCl₃ –N(SiMe₃)SiMe₃Cl]⁺, 355 [M –AlCl₃ –Cl]⁺, 391 [M –AlCl₃+H]⁺.

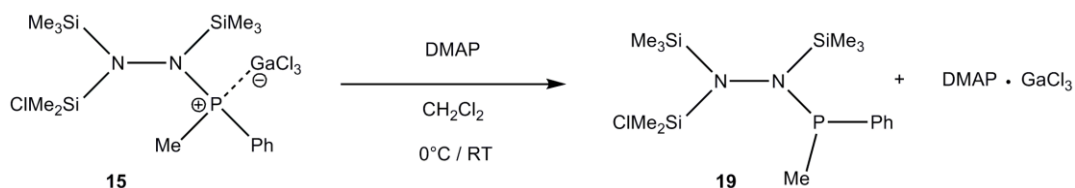
Für die Röntgenkristallstrukturanalyse geeignete Einkristalle wurden aus der konzentrieren Reaktionslösung von **18** bei Raumtemperatur erhalten.

4.4.12 *N,N'*-Bis(trimethylsilyl)-*N*-(dimethylchlorsilyl)hydrazin(pentafluorphenyl)methylphosphan · Galliumtrichlorid-Addukt (Me₃Si)(Me₂ClSi)NN(SiMe₃)P(C₆F₅)Me · GaCl₃ (**16**).



Eine Lösung von *N,N',N'*-Tris(trimethylsilyl)hydrazinchlor(pentafluorphenyl)phosphan (Me₃Si)₂NN(SiMe₃)P(C₆F₅)Cl (**11**) (0.285 g, 0.592 mmol) in 4 mL Dichlormethan wird bei -70 °C tropfenweise mit einer Lösung von GaCl₃ (0.110 g, 0.622 mmol) in 3 mL Dichlormethan versetzt, worauf sich die Lösung rot färbt. Nach zehn Minuten bei -70 °C wird die Lösung auf Raumtemperatur gebracht, und weitere zwölf Stunden gerührt, wobei eine schwach gelbliche Lösung erhalten wird. Das Lösungsmittel wird im Hochvakuum entfernt, wobei 0.320 g (0.87 mmol, 82 %) (Me₃Si)(Me₂ClSi)NN(SiMe₃)P(C₆F₅)Me · GaCl₃ (**16**) in Form eines farblosen hochviskosen Öls erhalten werden. **Smp.** 3 °C (144 °C Zers.). **CHN:** C₁₅H₂₇Cl₄F₅GaN₂PSi₃ (657.15): ber. C 27.42, H 4.14, N 4.26; gef. C 26.87, H 4.22, N 4.04. **NMR:** (Verhältnis **A1** : **A2** = 60 : 40). **³¹P{¹H}-NMR** (25°C, CH₂Cl₂/C₆D₆, 121.49 MHz): δ = 43.6 (breit), 44.6 (breit). **IR** (ATR, 32 Scans): 2959 (m), 2920 (m), 1646 (m), 1591 (w), 1520 (s), 1490 (s), 1398 (m), 1307 (m), 1259 (s), 1153 (w), 1107 (s), 1089 (w), 1028 (m), 971 (m), 950 (w), 898 (m), 880 (w), 834 (s), 807 (m), 754 (m), 725 (w), 684 (m), 647 (m), 631 (w), 584 (m). **Raman** (400 mW, 1000 Scans, 25 °C, cm⁻¹): 2994 (3), 2965 (4), 2909 (10), 2814 (1), 1646 (2), 1591 (1), 1523 (1), 1483 (1), 1416 (2), 1307 (1), 1272 (1), 1232 (1), 1085 (1), 1029 (1), 979 (1), 946 (1), 902 (1), 875 (1), 844 (1), 797 (1), 752 (1), 734 (1), 685 (2), 639 (3), 588 (2), 512 (2), 446 (2), 421 (2), 394 (2), 358 (2), 345 (3), 288 (1), 246 (1), 204 (1), 180 (1), 151 (1), 135 (1), 115 (1).

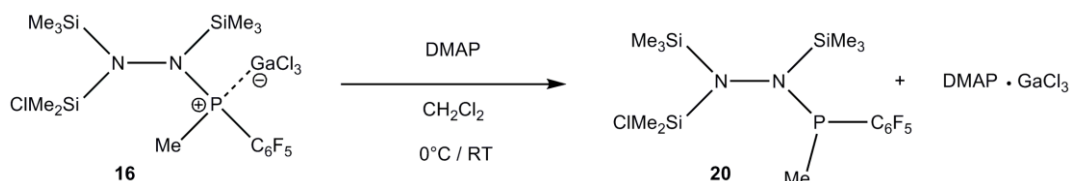
**4.4.13 *N,N'*-Bis(trimethylsilyl)-*N*-(dimethylchlorsilyl)hydrazinmethylphenylphosphan
(Me_3Si)(Me_2ClSi) $\text{NN}(\text{SiMe}_3)\text{P}(\text{Me})\text{Ph}$ (**19**).**



Eine Lösung von *N,N'*-Bis(trimethylsilyl)-*N*-(dimethylchlorsilyl)hydrazinmethylphenylphosphan·Galliumtrichlorid-Addukt (Me_3Si)(Me_2ClSi) $\text{NN}(\text{SiMe}_3)\text{P}(\text{Me})\text{Ph} \cdot \text{GaCl}_3$ (**15**) (1.718 g, 3.04 mmol) in 10 mL Dichlormethan wird bei 0 °C tropfenweise mit einer Lösung von *N,N*-Dimethylaminopyridin (0.389 g, 3.187 mmol) in 5 mL Dichlormethan versetzt. Es bildet sich eine farblose Lösung, die zehn Minuten bei 0 °C weitergerührt und anschließend auf Raumtemperatur gebracht wird. Das Lösungsmittel wird im Hochvakuum entfernt, wobei ein farbloser Feststoff verbleibt. Nach Zugabe von 10 mL *n*-Hexan und Rühren im Ultraschallbad wird filtriert, wobei eine farblose Lösung erhalten wird. Nach Entfernen des Lösungsmittels im Hochvakuum verbleibt ein farbloser Feststoff, der bei 65 °C über einen Zeitraum von zwei Stunden sublimiert wird, wobei 0.787 g (2.02 mmol, 66 %) (Me_3Si)(Me_2ClSi) $\text{NN}(\text{SiMe}_3)\text{P}(\text{Me})\text{Ph}$ (**19**) als farbloser wachsartiger Feststoff erhalten werden. **Smp.** 164 °C **CHN:** $\text{C}_{15}\text{H}_{32}\text{ClN}_2\text{PSi}_3$ (391.11): ber. C 46.06, H 8.25, N 7.16; gef. C 45.17, H 7.99, N 7.28. **NMR:** (Verhältnis **A1** : **A2** = 62 : 38). (**A1**): **$^1\text{H-NMR}$** (25°C, CD_2Cl_2 , 300.13 MHz): δ = -0.11 (s, 3 H, $\text{SiCl}(\text{CH}_3)_2$), 0.26 (d, 9 H, $J(^{31}\text{P}-^1\text{H}) = 0.8$ Hz, $\text{N}^+\text{Si}(\text{CH}_3)_3$ oder $\text{NSi}(\text{CH}_3)_3$), 0.35 (s, 9 H, $\text{N}^+\text{Si}(\text{CH}_3)_3$ oder $\text{NSi}(\text{CH}_3)_3$), 0.36 (s, 3 H, $\text{SiCl}(\text{CH}_3)_2$), 1.55 (d, 3 H, $^2J(^{31}\text{P}-^1\text{H}) = 7.5$ Hz, CH_3), 7.35 - 7.40 (m, 3 H, *m*-Ph und *p*-Ph), 7.67 (m, 2 H, *o*-Ph). **$^{13}\text{C}\{^1\text{H}\}$ -NMR** (25°C, CD_2Cl_2 , 75.47 MHz): δ = 3.3 (d, $J(^{31}\text{P}-^{13}\text{C}) = 1.8$ Hz, $\text{N}^+\text{Si}(\text{CH}_3)_3$ oder $\text{NSi}(\text{CH}_3)_3$), 3.4 (d, $J(^{31}\text{P}-^{13}\text{C}) = 2.2$ Hz, $\text{N}^+\text{Si}(\text{CH}_3)_3$ oder $\text{NSi}(\text{CH}_3)_3$), 4.4 (d, $^4J(^{31}\text{P}-^{13}\text{C}) = 1.8$ Hz, $\text{SiCl}(\text{CH}_3)_2$), 5.5 (s, $\text{SiCl}(\text{CH}_3)_2$), 14.6 (d, $^1J(^{31}\text{P}-^{13}\text{C}) = 17.9$ Hz, CH_3), 128.5 (d, $^3J(^{31}\text{P}-^{13}\text{C}) = 7.5$ Hz, *m*-Ph), 130.2 (s, *p*-Ph), 134.2 (d, $^2J(^{31}\text{P}-^{13}\text{C}) = 23.8$ Hz, *o*-Ph), 140.2 (d, $^1J(^{31}\text{P}-^{13}\text{C}) = 17.4$ Hz, *ipso*-Ph). **$^{29}\text{Si-NMR}$** (25°C, CD_2Cl_2 , 59.63 MHz): δ = 12.5, 13.6 (oder 14.1), 19.3. **$^{31}\text{P}\{^1\text{H}\}$ -NMR** (25°C, CD_2Cl_2 , 121.49 MHz): δ = 41.0. (**A2**): **$^1\text{H-NMR}$** (25°C, CD_2Cl_2 , 300.13 MHz): δ = -0.06 (s, 9 H, $\text{N}^+\text{Si}(\text{CH}_3)_3$ oder $\text{NSi}(\text{CH}_3)_3$), 0.23 (d, 9 H, $J(^{31}\text{P}-^1\text{H}) = 0.8$ Hz, $\text{N}^+\text{Si}(\text{CH}_3)_3$ oder $\text{NSi}(\text{CH}_3)_3$), 0.61 (s, 3 H, $\text{SiCl}(\text{CH}_3)_2$), 0.63 (s, 3 H, $\text{SiCl}(\text{CH}_3)_2$), 1.62 (d, 3 H, $^2J(^{31}\text{P}-^1\text{H}) = 7.5$ Hz, CH_3), 7.35 - 7.40 (m, 3 H, *m*-Ph und *p*-Ph), 7.74 (m, 2 H, *o*-Ph). **$^{13}\text{C}\{^1\text{H}\}$ -NMR** (25°C, CD_2Cl_2 , 75.47 MHz): δ = 2.9 (d, $J(^{31}\text{P}-^{13}\text{C}) = 1.5$ Hz, $\text{N}^+\text{Si}(\text{CH}_3)_3$ oder

NSi(CH₃)₃, 3.3 (d, $J(^{31}\text{P}-^{13}\text{C}) = 1.0$ Hz, N^cSi(CH₃)₃ oder NSi(CH₃)₃), 5.2 (s, SiCl(CH₃)₂), 6.4 (d, $^4J(^{31}\text{P}-^{13}\text{C}) = 1.0$ Hz, SiCl(CH₃)₂), 14.9 (d, $^1J(^{31}\text{P}-^{13}\text{C}) = 17.9$ Hz, CH₃), 128.4 (d, $^3J(^{31}\text{P}-^{13}\text{C}) = 7.5$ Hz, *m*-Ph), 130.0 (s, *p*-Ph), 134.3 (d, $^2J(^{31}\text{P}-^{13}\text{C}) = 23.4$ Hz, *o*-Ph), 140.1 (d, $^1J(^{31}\text{P}-^{13}\text{C}) = 17.0$ Hz, *ipso*-Ph). **²⁹Si-NMR** (25 °C, CD₂Cl₂, 59.63 MHz): δ = 11.7, 14.1 (13.6), 19.6. **³¹P{¹H}-NMR** (25 °C, CD₂Cl₂, 121.49 MHz): δ = 41.8. **IR** (ATR, 32 Scans): 3072 (w), 3055 (w), 2957 (m), 2903 (m), 2366 (w), 2355 (w), 2336 (w), 1434 (m), 1414 (m), 1308 (m), 1247 (s), 1180 (w), 1158 (m), 1099 (m), 1070 (w), 1022 (m), 1002 (w), 985 (w), 923 (s), 896 (s), 854 (m), 829 (m), 808 (m), 790 (m), 744 (s), 698 (m), 679 (m), 652 (s), 633 (m), 618 (m), 607 (s), 589 (m), 556 (w). **Raman** (200 mW, 400 Scans, 25 °C, cm⁻¹): 3057 (3), 2962 (5), 2906 (10), 1586 (2), 1572 (1), 1503 (1), 1411 (1), 1317 (1), 1290 (1), 1250 (1), 1180 (1), 1098 (1), 1027 (1), 1002 (2), 936 (1), 899 (1), 873 (1), 792 (1), 749 (1), 703 (1), 679 (1), 651 (1), 633 (1), 496 (1), 468 (1), 433 (1), 396 (1), 318 (1), 137 (1). **MS** (CI⁺, Isobutan): 355 [M - Cl]⁺, 391 [M + H]⁺.

4.4.14 *N,N'*-Bis(trimethylsilyl)-*N*-(dimethylchlorsilyl)hydrazin(pentafluorphenyl)methylphosphan (Me₃Si)(Me₂ClSi)NN(SiMe₃)P(C₆F₅)Me (**20**).



Eine Lösung von *N,N'*-Bis(trimethylsilyl)-*N*-(dimethylchlorsilyl)hydrazin-(pentafluorphenyl)methylphosphan·Galliumtrichlorid-Addukt (Me₃Si)(Me₂ClSi)NN(SiMe₃)P(C₆F₅)Me · GaCl₃ (**16**) (0.600 g, 0.913 mmol) in 10 mL Dichlormethan wird bei 0 °C tropfenweise mit einer Lösung von *N,N*-Dimethylaminopyridin (0.117 g, 0.959 mmol) in 5 mL Dichlormethan versetzt. Es wird eine gelbliche Lösung erhalten, die langsam trüb wird. Nach weiteren zehn Minuten bei 0 °C wird die Lösung auf Raumtemperatur gebracht. Nach Entfernen des Lösungsmittels im Hochvakuum wird ein gelber Feststoff erhalten, der mit 8 mL *n*-Hexan extrahiert wird. Nach Filtration wird das Lösungsmittel im Hochvakuum entfernt und das erhaltene gelbe Öl bei 60 °C über einen Zeitraum von drei Stunden sublimiert, wobei 74 mg (0.15 mmol, 16 %) (Me₃Si)(Me₂ClSi)NN(SiMe₃)P(C₆F₅)Me (**20**) als farbloser, kristalliner Feststoff erhalten werden. **Smp.** 52 °C. **CHN:** C₁₅H₂₇ClF₅N₂PSi₃ (481.06): ber. C 37.45, H

5.66, N 5.82; gef. C 37.43, H 4.75, N 5.63. **NMR:** (Verhältnis **A1** : **A2** = 60 : 40). (**A1**): **¹H-NMR** (25°C, CD₂Cl₂, 300.13 MHz): δ = 0.04 (s, 3 H, SiCl(CH₃)₂), 0.32 (s, 9 H, N⁺Si(CH₃)₃ oder NSi(CH₃)₃), 0.33 (d, 9 H, $J(^{31}\text{P}-^1\text{H}) = 1.1$ Hz, N⁺Si(CH₃)₃ oder NSi(CH₃)₃), 0.44 (s, 3 H, SiCl(CH₃)₂), 1.75 (dt, 3 H, $^2J(^{31}\text{P}-^1\text{H}) = 9.4$ Hz, $J(^{19}\text{F}-^1\text{H}) = 1.6$ Hz, CH₃). **¹³C{¹H}-NMR** (25°C, CD₂Cl₂, 75.47MHz): δ = 3.00 (s, N⁺Si(CH₃)₃ oder NSi(CH₃)₃), 3.21 (s, N⁺Si(CH₃)₃ oder NSi(CH₃)₃), 4.49 (d, $^4J(^{31}\text{P}-^{13}\text{C}) = 1.8$ Hz), SiCl(CH₃)₂), 5.83 (s, SiCl(CH₃)₂), 12.2 - 14.5 (m, CH₃). **¹⁹F{¹H}-NMR** (25°C, CD₂Cl₂, 282.40 MHz): δ = -161.6 (m, 2 F), -151.1 (tt, 1F, $^3J(^{19}\text{F}-^{19}\text{F}) = 20.4$ Hz, $^4J(^{19}\text{F}-^{19}\text{F}) = 4.0$ Hz), -127.4 (m, 2 F). **²⁹Si-NMR** (25°C, CD₂Cl₂, 59.63 MHz): δ = 14.0, 17.2, 18.5. **³¹P{¹H}-NMR** (25°C, CD₂Cl₂, 121.49 MHz): δ = 31.3 (t, $^3J(^{31}\text{P}-^{19}\text{F}) = 44.0$ Hz). (**A2**): **¹H-NMR** (25°C, CD₂Cl₂, 300.13 MHz): δ = 0.03 (s, 9 H, N⁺Si(CH₃)₃ oder NSi(CH₃)₃), 0.31 (d, 9 H, $J(^{31}\text{P}-^1\text{H}) = 1.1$ Hz, N⁺Si(CH₃)₃ oder NSi(CH₃)₃), 0.57 (s, 3 H, SiCl(CH₃)₂), 0.62 (s, 3 H, SiCl(CH₃)₂), 1.79 (dt, 3 H, $^2J(^{31}\text{P}-^1\text{H}) = 9.7$ Hz, $J(^{19}\text{F}-^1\text{H}) = 1.6$ Hz, CH₃). **¹³C{¹H}-NMR** (25°C, CD₂Cl₂, 75.47MHz): δ = 2.9 - 3.1 (m, N⁺Si(CH₃)₃ und NSi(CH₃)₃), 5.53 (s, SiCl(CH₃)₂), 5.88 (s, SiCl(CH₃)₂), 12.2 - 14.5 (m, CH₃). **¹⁹F{¹H}-NMR** (25°C, CD₂Cl₂, 282.40 MHz): δ = -162.0 (m, 2 F), -151.4 (tt, 1 F, $^3J(^{19}\text{F}-^{19}\text{F}) = 20.4$ Hz, $^4J(^{19}\text{F}-^{19}\text{F}) = 4.0$ Hz), -127.4 (m, 2 F). **²⁹Si-NMR** (25°C, CD₂Cl₂, 59.63 MHz): δ = 12.2, 20.4. **³¹P{¹H}-NMR** (25°C, CD₂Cl₂, 121.49 MHz): δ = 32.7 (t, $^3J(^{31}\text{P}-^{19}\text{F}) = 44.0$ Hz). **IR** (ATR, 32 Scans): 2958 (m), 2903 (m), 2141 (m), 1940 (w), 1640 (m), 1514 (s), 1463 (s), 1417 (m), 1376 (m), 1284 (m), 1251 (s), 1137 (w), 1083 (s), 1020 (m), 974 (s), 918 (m), 901 (s), 861 (m), 831 (m), 808 (w), 792 (w), 754 (m), 729 (m), 710 (w), 681 (m), 655 (m), 633 (m), 605 (m), 588 (m), 534 (m). **Raman** (400 mW, 1000 Scans, 25 °C, cm⁻¹): 3479 (1), 2969 (5), 2910 (10), 1640 (2), 1514 (1), 1498 (1), 1416 (2), 1376 (1), 1316 (1), 1283 (1), 1250 (1), 1180 (1), 1137 (1), 1082 (1), 1022 (1), 979 (1), 907 (1), 868 (1), 823 (1), 794 (1), 754 (1), 685 (2), 656 (1), 636 (3), 586 (2), 559 (1), 503 (2), 446 (2), 410 (3), 397 (2), 379 (1), 339 (1), 308 (1), 231 (1), 208 (1), 138 (1), 111 (1). **MS** (Cl⁺, Isobutan): 445 [M - Cl]⁺, 481 [M + H]⁺.

Für die Röntgenkristallstrukturanalyse geeignete Einkristalle wurden durch Sublimation oder direkt aus der konzentrierten Reaktionslösung von **20** erhalten.

5. Zusammenfassung und Ausblick.

Durch Umsetzung von *N*-[Tris(trimethylsilyl)silyl]-*N*-trimethylsilylamino-dichlorphosphan ($(\text{Me}_3\text{Si})_3\text{SiN}(\text{SiMe}_3)\text{PCl}_2$ (**1**) mit Silbertrifluoracetat (AgTFA) bzw. mit Silbertrifluormethansulfonat (AgOTf) in Toluol zu **4** bzw. **5** wurden zwei neue Spezies erhalten, die vollständig charakterisiert werden konnten. Einkristallröntgenstrukturanalysen zeigten, dass bei der Reaktion von **1** mit AgTFA eine nulleophile Substitution erfolgte, bei der beide Chloratome gegen TFA-Gruppen ausgetauscht wurden, während bei der Reaktion von **1** mit AgOTf eine Me_3SiCl -Eliminierung und Umlagerung unter Dimerisierung auftrat, wobei eine Diphosphen-Spezies erhalten wurde. Dabei spielt vermutlich die Ladungsverteilung in den perfluorierten Anionen eine wesentliche Rolle.

Zusätzlich zu den in dieser Arbeit verwendeten Silbersalzen sind Reaktionen mit weiteren Silbersalzen denkbar (z.B. $\text{Ag}[\text{B}(\text{C}_6\text{F}_5)_4]$, $\text{Ag}[\text{Al}(\text{OR}_f)_4]$, AgBF_4 , AgSbF_6 , etc.), die mit *N*-[Tris(trimethylsilyl)silyl]-*N*-trimethylsilylamino-dichlorphosphan ($(\text{Me}_3\text{Si})_3\text{SiN}(\text{SiMe}_3)\text{PCl}_2$ (**1**) umgesetzt werden könnten. Damit sollte es möglich sein, die unterschiedlichen Reaktivitäten besser zu verstehen.

Im zweiten Teil der Arbeit wurden silylierte Hydrazinphosphane $(\text{Me}_3\text{Si})_2\text{NN}(\text{SiMe}_3)\text{P}(\text{R}_1)\text{R}_2$ ($\text{R}_1, \text{R}_2 = \text{Cl}, \text{Me}, \text{C}_6\text{H}_5, \text{C}_6\text{F}_5$) mit den Lewis-Säuren GaCl_3 sowie AlCl_3 umgesetzt. Die Hydrazinphosphane reagieren dabei je nach Substitution am Phosphor entweder zu einem einfachen Lewis-Säure-Addukt, oder es findet eine Chlor-Methyl-Austauschreaktion zwischen der Phosphan-Einheit und einer Silylgruppe statt. Die Lewis-Säure fungiert bei dieser Austauschreaktion formal als Katalysator und lässt sich mit einer stärkeren Base wie z.B. DMAP entfernen. Eine derartige Austauschreaktion konnte in der vorliegenden Arbeit somit erstmals in Phosphor-Verbindungen beobachtet werden.

In zukünftigen Studien könnte untersucht werden, inwieweit sich diese Lewis-Säure assistierte Chlor-Methyl-Austauschreaktion auch auf andere Lewis-Säuren übertragen lässt, und sich auch allgemein für die Einführung von Me_2SiCl -Gruppen bei anderen Element-Chlor-Verbindungen eignet.

6. Anhang.

6.1 Einkristall-Röntgenstrukturanalyse von *N*-[Tris(trimethylsilyl)silyl]-*N*-trimethylsilylamino-bis(trifluoracetato)phosphan (Me_3Si)₃SiN(SiMe₃)P(OCOCF₃)₂ (4).

6.1.1 Angaben zur Einkristall-Röntgenstrukturanalyse von 4.

Formeleinheit	C ₁₆ H ₃₆ F ₆ NO ₄ PSi ₅
Rel. Molmasse. [g mol ⁻¹]	591.88
Farbe	farblos
Kristallsystem	monoklin
Raumgruppe	C2/c
<i>a</i> [Å]	16.9769(5)
<i>b</i> [Å]	9.3993(3)
<i>c</i> [Å]	37.9843(12)
α [°]	90.00
β [°]	93.495(2)
γ [°]	90.00
<i>V</i> [Å ³]	6049.9(3)
<i>Z</i>	8
$\rho_{\text{calc.}}$ [g cm ⁻³]	1.300
μ [mm ⁻¹]	0.347
$\lambda_{\text{MoK}\alpha}$ [Å]	0.71073
<i>T</i> [K]	173(2)
gemessene Reflexe	69902
unabhängige Reflexe	9209
Reflexzahl	7148
<i>R</i> _{int.}	0.0410
<i>F</i> (000)	2480
<i>R</i> ₁ (<i>R</i> [<i>F</i> ² > 2σ(<i>F</i> ²)])	0.0412
w <i>R</i> ₂ (<i>F</i> ²)	0.0984
GooF	1.040
Zahl der freien Parameter	310

6.1.2 Ausgewählte Bindungslängen und Winkel von 4.

Schema 23. Nummerierungsschema von 4.

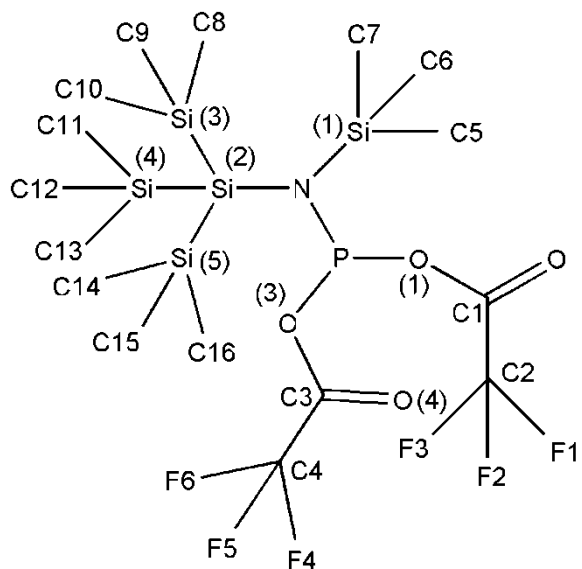


Tabelle 5. Ausgewählte Bindungslängen (Å), Winkel (°) und Diederwinkel (°) von 4.

P—N	1.6330 (13)	F2—C2—C1	111.51 (15)
P—O1	1.7116 (12)	F3—C2—C1	110.76 (16)
P—O3	1.7213 (12)	F1—C2—C1	110.41 (15)
Si1—N	1.8025 (13)	O4—C3—O3	127.32 (16)
Si1—C6	1.8477 (19)	O4—C3—C4	121.81 (16)
Si1—C7	1.8500 (19)	O3—C3—C4	110.85 (15)
Si1—C5	1.8554 (19)	F4—C4—F6	109.3 (2)
Si2—N	1.8251 (13)	F4—C4—F5	107.3 (2)
Si2—Si3	2.3687 (6)	F6—C4—F5	106.8 (2)
Si2—Si4	2.3695 (6)	F4—C4—C3	111.00 (18)
Si2—Si5	2.3912 (6)	F6—C4—C3	110.74 (17)
Si3—C9	1.8706 (18)	F5—C4—C3	111.61 (17)
Si3—C10	1.873 (2)	N—Si2—Si3—C9	145.91 (8)

Si3—C8	1.874 (2)	Si4—Si2—Si3—C9	-85.67 (7)
Si4—C12	1.8676 (19)	Si5—Si2—Si3—C9	28.70 (8)
Si4—C11	1.870 (2)	N—Si2—Si3—C10	-94.77 (10)
Si4—C13	1.880 (2)	Si4—Si2—Si3—C10	33.65 (9)
Si5—C15	1.8729 (17)	Si5—Si2—Si3—C10	148.02 (9)
Si5—C14	1.8768 (18)	N—Si2—Si3—C8	28.82 (9)
Si5—C16	1.8775 (17)	Si4—Si2—Si3—C8	157.24 (8)
O1—C1	1.3306 (19)	Si5—Si2—Si3—C8	-88.39 (8)
O2—C1	1.183 (2)	N—Si2—Si4—C12	54.93 (9)
O3—C3	1.327 (2)	Si3—Si2—Si4—C12	-70.85 (8)
O4—C3	1.185 (2)	Si5—Si2—Si4—C12	174.01 (8)
F1—C2	1.323 (2)	N—Si2—Si4—C11	-69.63 (10)
F2—C2	1.312 (2)	Si3—Si2—Si4—C11	164.59 (9)
F3—C2	1.319 (2)	Si5—Si2—Si4—C11	49.45 (9)
F4—C4	1.295 (3)	N—Si2—Si4—C13	171.35 (10)
F5—C4	1.311 (3)	Si3—Si2—Si4—C13	45.56 (9)
F6—C4	1.303 (2)	Si5—Si2—Si4—C13	-69.57 (9)
C1—C2	1.527 (2)	N—Si2—Si5—C15	-73.25 (8)
C3—C4	1.530 (3)	Si3—Si2—Si5—C15	44.75 (7)
N—P—O1	101.62 (6)	Si4—Si2—Si5—C15	163.67 (6)
N—P—O3	98.36 (6)	N—Si2—Si5—C14	51.69 (8)
O1—P—O3	91.90 (6)	Si3—Si2—Si5—C14	169.69 (7)
N—Si1—C6	107.22 (8)	Si4—Si2—Si5—C14	-71.39 (7)
N—Si1—C7	108.52 (7)	N—Si2—Si5—C16	167.72 (8)
C6—Si1—C7	112.88 (9)	Si3—Si2—Si5—C16	-74.28 (7)
N—Si1—C5	112.54 (8)	Si4—Si2—Si5—C16	44.64 (7)
C6—Si1—C5	109.71 (11)	O1—P—N—Si1	-57.42 (10)
C7—Si1—C5	106.07 (10)	O3—P—N—Si1	36.27 (10)
N—Si2—Si3	109.71 (5)	O1—P—N—Si2	122.04 (7)
N—Si2—Si4	114.61 (4)	O3—P—N—Si2	-144.27 (7)

Si3—Si2—Si4	111.95 (2)	C6—Si1—N—P	-93.61 (11)
N—Si2—Si5	108.52 (4)	C7—Si1—N—P	144.17 (10)
Si3—Si2—Si5	106.41 (2)	C5—Si1—N—P	27.10 (14)
Si4—Si2—Si5	105.16 (2)	C6—Si1—N—Si2	86.98 (11)
C9—Si3—C10	105.93 (9)	C7—Si1—N—Si2	-35.23 (11)
C9—Si3—C8	108.25 (10)	C5—Si1—N—Si2	-152.30 (11)
C10—Si3—C8	110.57 (11)	Si3—Si2—N—P	-98.97 (7)
C9—Si3—Si2	109.38 (6)	Si4—Si2—N—P	134.09 (6)
C10—Si3—Si2	115.46 (7)	Si5—Si2—N—P	16.91 (8)
C8—Si3—Si2	107.06 (7)	Si3—Si2—N—Si1	80.50 (8)
C12—Si4—C11	107.95 (10)	Si4—Si2—N—Si1	-46.44 (9)
C12—Si4—C13	104.66 (10)	Si5—Si2—N—Si1	-163.62 (7)
C11—Si4—C13	109.93 (12)	N—P—O1—C1	-138.04 (12)
C12—Si4—Si2	117.55 (7)	O3—P—O1—C1	123.02 (12)
C11—Si4—Si2	110.58 (7)	N—P—O3—C3	-168.01 (13)
C13—Si4—Si2	105.85 (8)	O1—P—O3—C3	-65.98 (13)
C15—Si5—C14	108.97 (8)	P—O1—C1—O2	11.9 (3)
C15—Si5—C16	106.97 (8)	P—O1—C1—C2	-169.46 (11)
C14—Si5—C16	105.31 (9)	O2—C1—C2—F2	-126.4 (2)
C15—Si5—Si2	114.17 (6)	O1—C1—C2—F2	54.8 (2)
C14—Si5—Si2	112.60 (7)	O2—C1—C2—F3	-5.6 (3)
C16—Si5—Si2	108.29 (6)	O1—C1—C2—F3	175.60 (15)
P—N—Si1	124.77 (8)	O2—C1—C2—F1	113.3 (2)
P—N—Si2	111.77 (7)	O1—C1—C2—F1	-65.44 (19)
Si1—N—Si2	123.46 (7)	P—O3—C3—O4	3.3 (3)
C1—O1—P	120.07 (11)	P—O3—C3—C4	-178.25 (13)
C3—O3—P	118.43 (11)	O4—C3—C4—F4	108.7 (2)
O2—C1—O1	127.99 (17)	O3—C3—C4—F4	-69.8 (2)
O2—C1—C2	122.75 (16)	O4—C3—C4—F6	-12.8 (3)
O1—C1—C2	109.24 (14)	O3—C3—C4—F6	168.64 (19)

F2—C2—F3	108.38 (16)	O4—C3—C4—F5	-131.7 (2)
F2—C2—F1	108.14 (18)	O3—C3—C4—F5	49.8 (2)
F3—C2—F1	107.50 (15)		

6.2 Einkristall-Röntgenstrukturanalyse von Bis{N-[(trifluormethylsulfonato)-bis(trimethylsilyl)silyl]-N-(trimethylsilyl)amino}diphosphen (TfO)(SiMe₃)₂SiN(SiMe₃)P=PN(SiMe₃)Si(SiMe₃)₂(OTf) (5).

6.2.1 Angaben zur Einkristall-Röntgenstrukturanalyse von 5.

Formeleinheit	C ₂₀ H ₅₄ F ₆ N ₂ O ₆ P ₂ S ₂ Si ₈
Rel. Molmasse [g mol ⁻¹]	883.43
Farbe	orange
Kristallsystem	monoklin
Raumgruppe	<i>P</i> 2 ₁ /n
<i>a</i> [Å]	9.7411(4)
<i>b</i> [Å]	17.2317(9)
<i>c</i> [Å]	27.196(1)
α [°]	90.00
β [°]	91.248(2)
γ [°]	90.00
<i>V</i> [Å ³]	4564.0(4)
<i>Z</i>	4
$\rho_{\text{calc.}}$ [g cm ⁻³]	1.286
μ [mm ⁻¹]	0.453
$\lambda_{\text{MoK}\alpha}$ [Å]	0.71073
<i>T</i> [K]	173(2)
gemessene Reflexe	40065
unabhängige Reflexe	10412
Reflexzahl	7287
<i>R</i> _{int.}	0.0475
<i>F</i> (000)	1856
<i>R</i> ₁ (<i>R</i> [<i>F</i> ² > 2σ(<i>F</i> ²)])	0.0612
w <i>R</i> ₂ (<i>F</i> ²)	0.1931
GooF	1.077
Zahl der freien Parameter	580

6.2.2 Ausgewählte Bindungslängen und Winkel von 5.

Schema 24. Nummerierungsschema von 5.

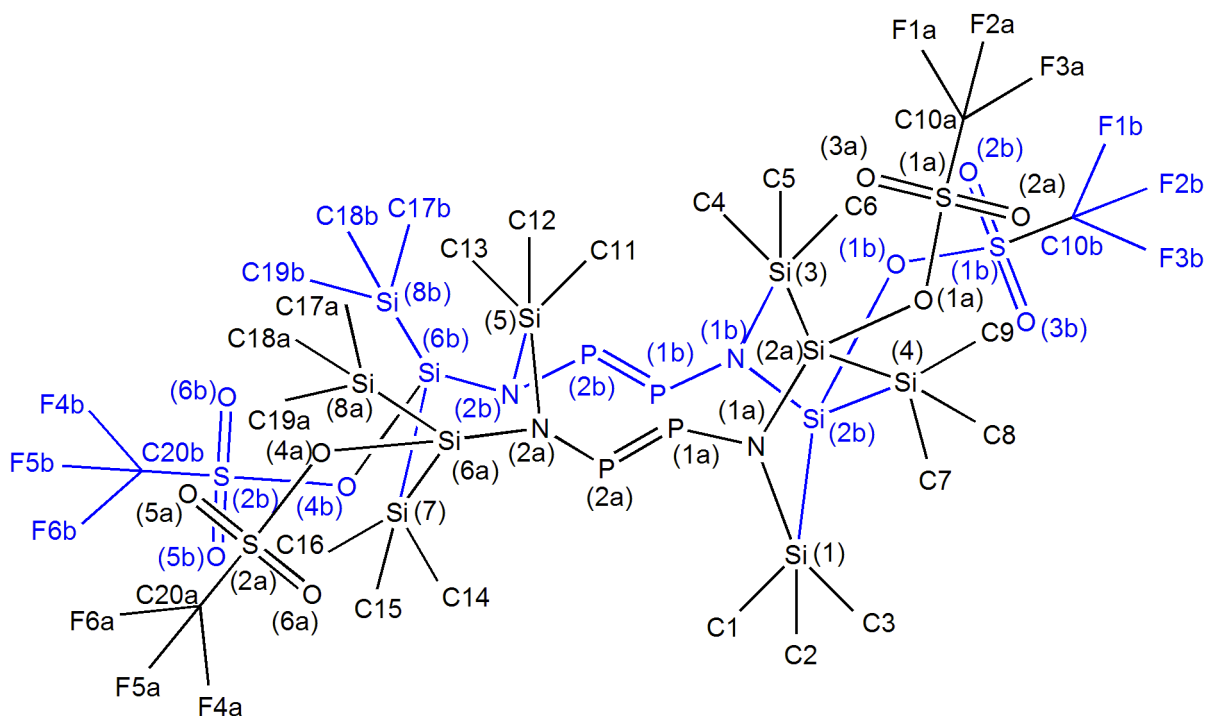


Tabelle 6. Ausgewählte Bindungslängen (Å), Winkel (°) und Diederwinkel (°) von 5.

Si1—N1A	1.783 (2)	C9—Si4—Si2A	116.11 (16)
Si1—C2	1.856 (4)	C8—Si4—Si2A	106.35 (15)
Si1—C1	1.860 (4)	C7—Si4—Si2A	105.45 (19)
Si1—C3	1.866 (3)	C9—Si4—Si2B	104.5 (4)
Si1—Si2B	2.693 (15)	C8—Si4—Si2B	116.1 (4)
Si3—N1B	1.65 (2)	C7—Si4—Si2B	107.2 (5)
Si3—C4	1.854 (4)	Si2A—Si4—Si2B	12.5 (3)
Si3—C6	1.873 (4)	N2A—Si5—C13	110.83 (16)
Si3—C5	1.886 (5)	N2A—Si5—C11	109.13 (16)
Si3—Si2A	2.397 (2)	N2A—Si5—C12	110.92 (15)
Si4—C9	1.869 (5)	N2A—Si5—N2B	23.0 (6)

Si4—C8	1.870 (5)	C13—Si5—N2B	100.0 (6)
Si4—C7	1.875 (5)	C11—Si5—N2B	132.0 (7)
Si4—Si2A	2.362 (2)	C12—Si5—N2B	97.1 (7)
Si4—Si2B	2.373 (18)	C16—Si7—Si6A	112.40 (13)
Si5—N2A	1.752 (3)	C14—Si7—Si6A	112.10 (13)
Si5—C13	1.843 (4)	C15—Si7—Si6A	105.36 (16)
Si5—C11	1.856 (4)	C16—Si7—Si6B	109.0 (3)
Si5—C12	1.866 (4)	C14—Si7—Si6B	123.5 (3)
Si5—N2B	2.05 (2)	C15—Si7—Si6B	96.0 (3)
Si7—C16	1.867 (4)	N1A—P1A—P2A	112.14 (12)
Si7—C14	1.870 (4)	N2A—P2A—P1A	96.55 (11)
Si7—C15	1.880 (4)	P1A—N1A—Si2A	109.56 (15)
Si7—Si6A	2.3731 (17)	P1A—N1A—Si1	124.45 (15)
Si7—Si6B	2.409 (14)	Si2A—N1A—Si1	125.11 (15)
P1A—N1A	1.704 (4)	Si6A—N2A—P2A	116.19 (15)
P1A—P2A	2.050 (2)	Si6A—N2A—Si5	128.69 (15)
P2A—N2A	1.747 (3)	P2A—N2A—Si5	114.79 (16)
N1A—Si2A	1.766 (3)	N1A—Si2A—O1A	103.24 (17)
N2A—Si6A	1.735 (3)	N1A—Si2A—Si4	115.20 (12)
Si2A—O1A	1.781 (6)	O1A—Si2A—Si4	103.0 (2)
Si6A—O4A	1.760 (13)	N1A—Si2A—Si3	113.52 (12)
Si6A—Si8A	2.3729 (17)	O1A—Si2A—Si3	109.3 (2)
Si8A—C18A	1.864 (6)	Si4—Si2A—Si3	111.52 (8)
Si8A—C19A	1.868 (6)	N2A—Si6A—O4A	106.9 (4)
Si8A—C17A	1.870 (5)	N2A—Si6A—Si8A	117.27 (12)
P1B—N1B	1.74 (3)	N1A—P1A—P2A—N2A	-178.89 (17)
P1B—P2B	2.04 (3)	P2A—P1A—N1A—Si2A	168.21 (14)
P2B—N2B	1.79 (3)	P2A—P1A—N1A—Si1	-1.5 (3)
N1B—Si2B	1.75 (3)	P1A—P2A—N2A—Si6A	-89.57 (16)
N2B—Si6B	1.81 (3)	P1A—P2A—N2A—Si5	96.36 (15)

Si2B—O1B	1.63 (3)	P1A—N1A—Si2A—O1A	141.8 (3)
Si6B—O4B	1.90 (5)	Si1—N1A—Si2A—O1A	-48.6 (3)
Si6B—Si8B	2.396 (15)	P1A—N1A—Si2A—Si4	-106.67 (16)
Si8B—C18B	1.859 (19)	Si1—N1A—Si2A—Si4	62.9 (2)
Si8B—C17B	1.868 (18)	P1A—N1A—Si2A—Si3	23.6 (2)
Si8B—C19B	1.876 (18)	Si1—N1A—Si2A—Si3	-166.78 (13)
S1A—O3A	1.380 (7)	P2A—N2A—Si6A—O4A	-122.4 (4)
S1A—O2A	1.431 (6)	Si5—N2A—Si6A—O4A	50.7 (4)
S1A—O1A	1.503 (7)	P2A—N2A—Si6A—Si8A	126.54 (13)
S1A—C10A	1.845 (13)	Si5—N2A—Si6A—Si8A	-60.4 (2)
C10A—F3A	1.280 (15)	P2A—N2A—Si6A—Si7	-9.2 (2)
C10A—F1A	1.294 (15)	Si5—N2A—Si6A—Si7	163.90 (15)
C10A—F2A	1.356 (19)	N1B—P1B—P2B—N2B	179.8 (16)
S1B—O2B	1.50 (3)	P2B—P1B—N1B—Si3	8(3)
S1B—O3B	1.50 (4)	P2B—P1B—N1B—Si2B	-161.8 (13)
S1B—O1B	1.59 (3)	P1B—P2B—N2B—Si6B	112.1 (13)
S1B—C10B	1.83 (4)	P1B—P2B—N2B—Si5	-100.1 (13)
C10B—F2B	1.18 (4)	P2B—N2B—Si6B—O4B	151.5 (17)
C10B—F1B	1.23 (4)	Si5—N2B—Si6B—O4B	11 (2)
C10B—F3B	1.24 (8)	P2B—N2B—Si6B—Si8B	39.9 (14)
S2A—O6A	1.432 (5)	Si5—N2B—Si6B—Si8B	-100.2 (16)
S2A—O5A	1.433 (5)	P2B—N2B—Si6B—Si7	-98.6 (11)
S2A—O4A	1.505 (13)	Si5—N2B—Si6B—Si7	121.4 (14)
S2A—C20A	1.802 (5)	Si3—N1B—Si2B—O1B	45.3 (18)
C20A—F4A	1.293 (7)	P1B—N1B—Si2B—O1B	-142.9 (16)
C20A—F5A	1.305 (7)	Si3—N1B—Si2B—Si4	-60.8 (17)
C20A—F6A	1.337 (8)	P1B—N1B—Si2B—Si4	111.0 (15)
S2B—O5B	1.332 (14)	Si3—N1B—Si2B—Si1	170.8 (10)
S2B—O4B	1.45 (5)	P1B—N1B—Si2B—Si1	-17.4 (18)
S2B—C20B	1.62 (2)	Si7—Si6B—Si8B—C19B	156.2 (17)

S2B—O6B	1.66 (2)	O3A—S1A—O1A—Si2A	110.2 (5)
F4B—C20B	1.339 (17)	O2A—S1A—O1A—Si2A	-29.6 (6)
F5B—C20B	1.388 (18)	C10A—S1A—O1A—Si2A	-142.1 (6)
F6B—C20B	1.354 (19)	N1A—Si2A—O1A—S1A	-82.0 (4)
N1A—Si1—C2	108.78 (15)	Si4—Si2A—O1A—S1A	157.7 (4)
N1A—Si1—C1	107.17 (16)	Si3—Si2A—O1A—S1A	39.1 (4)
N1A—Si1—C3	112.75 (14)	O3A—S1A—C10A—F3A	50.8 (13)
O4A—Si6A—Si8A	99.9 (4)	O2A—S1A—C10A—F3A	-179.6 (10)
N2A—Si6A—Si7	115.28 (11)	O1A—S1A—C10A—F3A	-62.2 (12)
O4A—Si6A—Si7	102.5 (3)	O3A—S1A—C10A—F1A	-72.6 (11)
Si8A—Si6A—Si7	112.32 (7)	O2A—S1A—C10A—F1A	57.0 (11)
C18A—Si8A—Si6A	107.04 (19)	O1A—S1A—C10A—F1A	174.4 (9)
C19A—Si8A—Si6A	111.4 (2)	O3A—S1A—C10A—F2A	169.4 (8)
C17A—Si8A—Si6A	109.82 (16)	O2A—S1A—C10A—F2A	-61.0 (9)
N1B—P1B—P2B	111.0 (12)	O1A—S1A—C10A—F2A	56.4 (8)
N2B—P2B—P1B	90.5 (10)	O2B—S1B—O1B—Si2B	-110 (2)
Si3—N1B—P1B	131.6 (14)	O3B—S1B—O1B—Si2B	40 (3)
Si3—N1B—Si2B	116.8 (13)	C10B—S1B—O1B—Si2B	147 (2)
P1B—N1B—Si2B	110.9 (14)	N1B—Si2B—O1B—S1B	65 (2)
P2B—N2B—Si6B	106.6 (14)	Si4—Si2B—O1B—S1B	-178.8 (17)
P2B—N2B—Si5	112.3 (12)	Si1—Si2B—O1B—S1B	-56 (2)
Si6B—N2B—Si5	129.9 (12)	O2B—S1B—C10B—F2B	-164 (3)
O1B—Si2B—N1B	105.7 (15)	O3B—S1B—C10B—F2B	61 (4)
O1B—Si2B—Si4	98.1 (12)	O1B—S1B—C10B—F2B	-64 (4)
N1B—Si2B—Si4	113.0 (10)	O2B—S1B—C10B—F1B	62 (3)
O1B—Si2B—Si1	116.5 (10)	O3B—S1B—C10B—F1B	-73 (3)
N1B—Si2B—Si1	108.2 (11)	O1B—S1B—C10B—F1B	162 (3)
Si4—Si2B—Si1	114.9 (6)	O2B—S1B—C10B—F3B	-54 (4)
N2B—Si6B—O4B	96.0 (14)	O3B—S1B—C10B—F3B	172 (4)
N2B—Si6B—Si8B	113.6 (10)	O1B—S1B—C10B—F3B	46 (4)

O4B—Si6B—Si8B	107.1 (16)	O6A—S2A—O4A—Si6A	-66.7 (7)
N2B—Si6B—Si7	109.9 (9)	O5A—S2A—O4A—Si6A	72.0 (8)
O4B—Si6B—Si7	106.4 (13)	C20A—S2A—O4A—Si6A	-176.0 (6)
Si8B—Si6B—Si7	120.6 (5)	N2A—Si6A—O4A—S2A	61.3 (7)
C18B—Si8B—Si6B	112.8 (18)	Si8A—Si6A—O4A—S2A	-176.1 (6)
C17B—Si8B—Si6B	108.8 (15)	Si7—Si6A—O4A—S2A	-60.4 (7)
C19B—Si8B—Si6B	108.9 (15)	O6A—S2A—C20A—F4A	-57.5 (6)
O3A—S1A—O2A	121.0 (4)	O5A—S2A—C20A—F4A	172.7 (5)
O3A—S1A—O1A	110.5 (4)	O4A—S2A—C20A—F4A	58.6 (6)
O2A—S1A—O1A	113.7 (3)	O6A—S2A—C20A—F5A	69.4 (6)
O3A—S1A—C10A	104.1 (7)	O5A—S2A—C20A—F5A	-60.4 (6)
O2A—S1A—C10A	107.7 (5)	O4A—S2A—C20A—F5A	-174.5 (6)
O1A—S1A—C10A	96.4 (6)	O6A—S2A—C20A—F6A	-175.7 (4)
S1A—O1A—Si2A	138.1 (4)	O5A—S2A—C20A—F6A	54.5 (5)
F3A—C10A—F1A	110.1 (11)	O4A—S2A—C20A—F6A	-59.6 (5)
F3A—C10A—F2A	106.8 (13)	O5B—S2B—O4B—Si6B	-15 (5)
F1A—C10A—F2A	107.2 (8)	C20B—S2B—O4B—Si6B	-152 (3)
F3A—C10A—S1A	112.2 (7)	O6B—S2B—O4B—Si6B	105 (3)
N1A—Si1—C2	108.78 (15)	N2B—Si6B—O4B—S2B	-172 (3)
N1A—Si1—C1	107.17 (16)	Si8B—Si6B—O4B—S2B	-55 (4)
N1A—Si1—C3	112.75 (14)	Si7—Si6B—O4B—S2B	75 (4)
C2—Si1—Si2B	128.0 (4)	O5B—S2B—C20B—F4B	172.3 (15)
C1—Si1—Si2B	112.7 (4)	O4B—S2B—C20B—F4B	-46 (2)
C3—Si1—Si2B	81.8 (4)	O6B—S2B—C20B—F4B	58.9 (16)
N1B—Si3—C4	88.2 (7)	O5B—S2B—C20B—F6B	50 (3)
N1B—Si3—C6	138.4 (7)	O4B—S2B—C20B—F6B	-168 (3)
N1B—Si3—C5	99.1 (8)	O6B—S2B—C20B—F6B	-63 (2)
C4—Si3—Si2A	114.09 (15)	O5B—S2B—C20B—F5B	-67.3 (19)
C6—Si3—Si2A	105.39 (16)	O4B—S2B—C20B—F5B	75 (2)
C5—Si3—Si2A	108.19 (17)	O6B—S2B—C20B—F5B	179.3 (16)

6.3 Einkristall-Röntgenstrukturanalyse von *N,N',N'*-Tris(trimethylsilyl)hydrazin-(pentafluorphenyl)chlorphosphan (Me₃Si)₂NN(SiMe₃)P(C₆F₅)Cl (11).

6.3.1 Angaben zur Einkristall-Röntgenstrukturanalyse von 11.

Formeleinheit	C ₁₅ H ₂₇ ClF ₅ N ₂ PSi ₃
Rel. Molmasse [g mol ⁻¹]	481.08
Farbe	farblos
Kristallsystem	monoklin
Raumgruppe	<i>P</i> 2 ₁ / <i>c</i>
<i>a</i> [Å]	15.509(3)
<i>b</i> [Å]	12.823(3)
<i>c</i> [Å]	11.945(2)
α [°]	90.00
β [°]	99.81(3)
<i>V</i> [Å ³]	2340.7(8)
<i>Z</i>	4
$\rho_{\text{calc.}}$ [g cm ⁻³]	1.365
μ [mm ⁻¹]	0.428
$\lambda_{\text{MoK}\alpha}$ [Å]	0.71073
<i>T</i> [K]	173(2)
gemessene Reflexe	24985
unabhängige Reflexe	6751
Reflexzahl	5772
<i>R</i> _{int.}	0.0335
<i>F</i> (000)	1000
<i>R</i> ₁ (<i>R</i> [<i>F</i> ² > 2σ(<i>F</i> ²)])	0.0351
w <i>R</i> ₂ (<i>F</i> ²)	0.1076
GooF	1.077
Zahl der freien Parameter	253

6.3.2 Ausgewählte Bindungslängen und Winkel von 11.

Schema 25. Nummerierungsschema von 11.

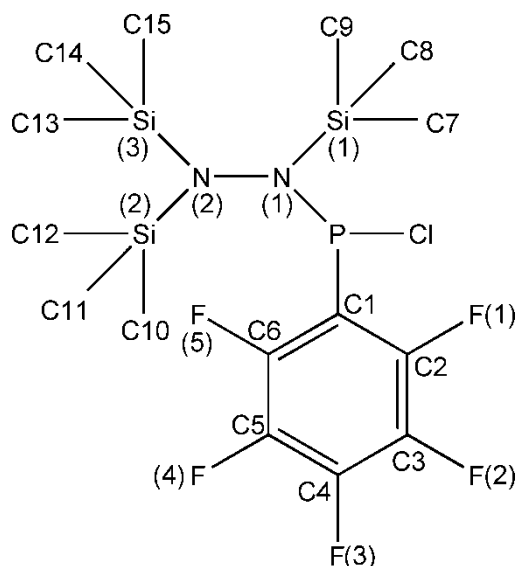


Tabelle 7. Ausgewählte Bindungslängen (Å), Winkel (°) und Diederwinkel (°) von 11.

P—N1	1.6714 (11)	P—N1—Si1	113.04 (6)
P—C1	1.8530 (15)	N1—N2—Si2	118.22 (7)
P—Cl	2.1050 (6)	N1—N2—Si3	116.86 (8)
Si1—N1	1.8084 (11)	Si2—N2—Si3	123.77 (6)
Si1—C9	1.8571 (16)	C6—C1—P	129.53 (11)
Si1—C7	1.8603 (18)	C2—C1—P	115.03 (11)
Si1—C8	1.8679 (17)	C1—P—N1—N2	-43.86 (11)
Si2—N2	1.7694 (11)	Cl—P—N1—N2	59.68 (10)
Si2—C11	1.8615 (15)	C1—P—N1—Si1	138.42 (7)
Si2—C12	1.8718 (16)	Cl—P—N1—Si1	-118.03 (6)
Si2—C10	1.8740 (15)	C9—Si1—N1—N2	-10.11 (11)
Si3—N2	1.7758 (11)	C7—Si1—N1—N2	109.14 (12)
Si3—C14	1.8641 (15)	C8—Si1—N1—N2	-131.02 (10)
Si3—C15	1.8687 (16)	C9—Si1—N1—P	167.71 (7)

Si3—C13	1.8701 (15)	C7—Si1—N1—P	-73.04 (11)
N1—N2	1.4612 (14)	C8—Si1—N1—P	46.80 (9)
F1—C2	1.3453 (18)	P—N1—N2—Si2	99.93 (10)
F2—C3	1.3400 (18)	Si1—N1—N2—Si2	-82.53 (10)
F3—C4	1.3393 (18)	P—N1—N2—Si3	-91.83 (10)
F4—C5	1.3465 (19)	Si1—N1—N2—Si3	85.70 (10)
F5—C6	1.3364 (17)	C11—Si2—N2—N1	-30.07 (11)
C1—C6	1.394 (2)	C12—Si2—N2—N1	-149.61 (10)
C1—C2	1.395 (2)	C10—Si2—N2—N1	90.60 (10)
C2—C3	1.379 (2)	C11—Si2—N2—Si3	162.57 (7)
C3—C4	1.380 (2)	C12—Si2—N2—Si3	43.03 (10)
C4—C5	1.372 (2)	C10—Si2—N2—Si3	-76.76 (9)
C5—C6	1.385 (2)	C14—Si3—N2—N1	-11.06 (11)
N1—P—C1	107.14 (6)	C15—Si3—N2—N1	-129.61 (10)
N1—P—Cl	107.80 (4)	C13—Si3—N2—N1	111.45 (9)
C1—P—Cl	97.07 (5)	C14—Si3—N2—Si2	156.47 (8)
N1—Si1—C9	110.15 (6)	C15—Si3—N2—Si2	37.91 (10)
N1—Si1—C7	108.60 (7)	C13—Si3—N2—Si2	-81.02 (9)
N1—Si1—C8	109.45 (7)	N1—P—C1—C6	73.25 (14)
N2—Si2—C11	112.63 (6)	Cl—P—C1—C6	-37.88 (13)
N2—Si2—C12	107.41 (6)	N1—P—C1—C2	-109.77 (11)
N2—Si2—C10	114.27 (6)	Cl—P—C1—C2	139.10 (11)
N2—Si3—C14	111.67 (6)	P—C1—C2—F1	4.32 (19)
N2—Si3—C15	109.84 (6)	P—C1—C2—C3	-176.55 (13)
N2—Si3—C13	113.18 (6)	P—C1—C6—F5	-3.5 (2)
N2—N1—P	125.46 (8)	P—C1—C6—C5	176.58 (12)
N2—N1—Si1	121.46 (8)		

6.4 Einkristall-Röntgenstrukturanalyse von N,N',N'-Tris(trimethylsilyl)hydrazin-chlormethylphosphan · Galliumtrichlorid-Addukt (Me₃Si)₂NN(SiMe₃)P(Cl)Me · GaCl₃ (14).

6.4.1 Angaben zur Einkristall-Röntgenstrukturanalyse von 14.

Formeleinheit	C ₁₀ H ₃₀ Cl ₄ GaN ₂ PSi ₃
Rel. Molmasse [g mol ⁻¹]	505.12
Farbe	farblos
Kristallsystem	monoklin
Raumgruppe	<i>P</i> 2 ₁
<i>a</i> [Å]	8.5157(2)
<i>b</i> [Å]	12.6961(4)
<i>c</i> [Å]	11.0010(3)
α [°]	90.00
β [°]	99.6790(10)
<i>V</i> [Å ³]	1172.46(6)
<i>Z</i>	2
$\rho_{\text{calc.}}$ [g cm ⁻³]	1.431
μ [mm ⁻¹]	1.847
$\lambda_{\text{MoK}\alpha}$ [Å]	0.71073
<i>T</i> [K]	173(2)
gemessene Reflexe	17472
unabhängige Reflexe	6068
Reflexzahl	5820
<i>R</i> _{int.}	0.0216
<i>F</i> (000)	520
<i>R</i> ₁ (<i>R</i> [<i>F</i> ² > 2σ(<i>F</i> ²)])	0.0177
w <i>R</i> ₂ (<i>F</i> ²)	0.0464
GooF	1.014
Zahl der freien Parameter	201

6.4.2 Ausgewählte Bindungslängen und Winkel von 14.

Schema 26. Nummerierungsschema von 14.

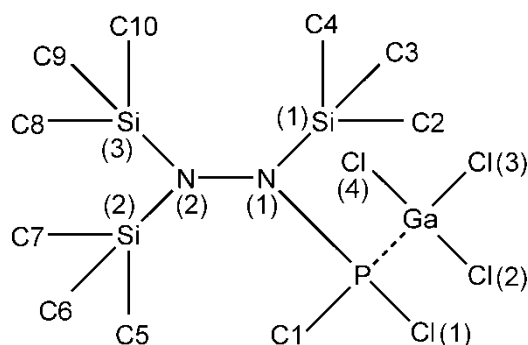


Tabelle 8. Ausgewählte Bindungslängen (Å), Winkel (°), und Diederwinkel von 14.

Ga—Cl1	2.1544 (4)	N1—N2—Si2	119.59 (9)
Ga—Cl2	2.1556 (4)	Si3—N2—Si2	124.07 (7)
Ga—Cl3	2.1586 (4)	N2—Si2—C7	108.28 (7)
Ga—P	2.4201 (3)	N2—Si2—C6	110.98 (8)
P—N1	1.6474 (10)	N2—Si2—C5	111.67 (8)
P—C1	1.7931 (16)	Cl1—Ga—P—N1	67.75 (6)
P—Cl4	2.0470 (5)	Cl2—Ga—P—N1	-57.66 (6)
Si1—N1	1.8112 (11)	Cl3—Ga—P—N1	-174.63 (6)
Si1—C3	1.8506 (17)	Cl1—Ga—P—C1	-164.18 (6)
Si1—C4	1.8537 (17)	Cl2—Ga—P—C1	70.41 (6)
Si1—C2	1.8546 (17)	Cl3—Ga—P—C1	-46.56 (6)
Si3—N2	1.7710 (13)	Cl1—Ga—P—Cl4	-57.61 (2)
Si3—C9	1.8535 (18)	Cl2—Ga—P—Cl4	176.98 (2)
Si3—C8	1.861 (2)	Cl3—Ga—P—Cl4	60.01 (2)
Si3—C10	1.8704 (16)	C1—P—N1—N2	20.17 (12)
N1—N2	1.4626 (15)	Cl4—P—N1—N2	-91.56 (10)
N2—Si2	1.7740 (12)	Ga—P—N1—N2	146.77 (8)

Si2—C7	1.8649 (15)	C1—P—N1—Si1	-165.59 (9)
Si2—C6	1.8669 (19)	Cl4—P—N1—Si1	82.69 (8)
Si2—C5	1.868 (2)	Ga—P—N1—Si1	-38.98 (10)
Cl1—Ga—Cl2	113.272 (17)	C3—Si1—N1—N2	-109.44 (11)
Cl1—Ga—Cl3	110.570 (19)	C4—Si1—N1—N2	10.94 (13)
Cl2—Ga—Cl3	111.853 (19)	C2—Si1—N1—N2	129.51 (11)
Cl1—Ga—P	112.697 (16)	C3—Si1—N1—P	76.42 (10)
Cl2—Ga—P	107.356 (15)	C4—Si1—N1—P	-163.21 (10)
Cl3—Ga—P	100.356 (15)	C2—Si1—N1—P	-44.63 (11)
N1—P—C1	110.01 (7)	P—N1—N2—Si3	-98.79 (10)
N1—P—Cl4	110.83 (5)	Si1—N1—N2—Si3	86.78 (11)
C1—P—Cl4	101.73 (6)	P—N1—N2—Si2	88.68 (11)
N1—P—Ga	122.73 (4)	Si1—N1—N2—Si2	-85.75 (10)
C1—P—Ga	106.64 (6)	C9—Si3—N2—N1	27.90 (12)
Cl4—P—Ga	102.744 (18)	C8—Si3—N2—N1	147.15 (10)
N1—Si1—C3	107.51 (7)	C10—Si3—N2—N1	-91.64 (11)
N1—Si1—C4	109.61 (7)	C9—Si3—N2—Si2	-159.94 (9)
N1—Si1—C2	108.77 (7)	C8—Si3—N2—Si2	-40.69 (11)
N2—Si3—C9	111.96 (7)	C10—Si3—N2—Si2	80.52 (11)
N2—Si3—C8	108.22 (8)	N1—N2—Si2—C7	132.98 (10)
N2—Si3—C10	113.12 (8)	Si3—N2—Si2—C7	-38.90 (11)
N2—N1—P	117.61 (8)	N1—N2—Si2—C6	-106.79 (13)
N2—N1—Si1	119.54 (8)	Si3—N2—Si2—C6	81.32 (12)
P—N1—Si1	122.60 (6)	N1—N2—Si2—C5	13.24 (13)
N1—N2—Si3	115.88 (9)	Si3—N2—Si2—C5	-158.64 (10)

6.5 Einkristall-Röntgenstrukturanalyse von *N,N'*-Bis(trimethylsilyl)-*N*-(dimethylchlorsilyl)hydrazinmethylphenylphosphan · Galliumtrichlorid-Addukt (Me₃Si)(Me₂ClSi)NN(SiMe₃)P(Me)Ph · GaCl₃-Addukt 15).

6.5.1 Angaben zur Einkristall-Röntgenstrukturanalyse von 15.

Formeleinheit	C ₁₅ H ₃₂ Cl ₄ GaN ₂ PSi ₃
Rel. Molmasse [g mol ⁻¹]	567.19
Farbe	farblos
Kristallsystem	monoklin
Raumgruppe	<i>P</i> 2 ₁ / <i>c</i>
<i>a</i> [Å]	9.7090(19)
<i>b</i> [Å]	15.819(3)
<i>c</i> [Å]	18.523(5)
α [°]	90.00
β [°]	110.96(3)
<i>V</i> [Å ³]	2656.6(10)
<i>Z</i>	4
$\rho_{\text{calc.}}$ [g cm ⁻³]	1.418
μ [mm ⁻¹]	1.639
$\lambda_{\text{MoK}\alpha}$ [Å]	0.71073
<i>T</i> [K]	173(2)
Gemessene Reflexe	44518
Unabhängige Reflexe	7710
Reflexzahl	6890
<i>R</i> _{int.}	0.0180
<i>F</i> (000)	1168
<i>R</i> ₁ (<i>R</i> [<i>F</i> ² > 2σ(<i>F</i> ²)])	0.0330
w <i>R</i> ₂ (<i>F</i> ²)	0.0995
GooF	1.059
Zahl der freien Parameter	244

6.5.2 Ausgewählte Bindungslängen und Winkel von 15.

Schema 27. Nummerierungsschema von 15.

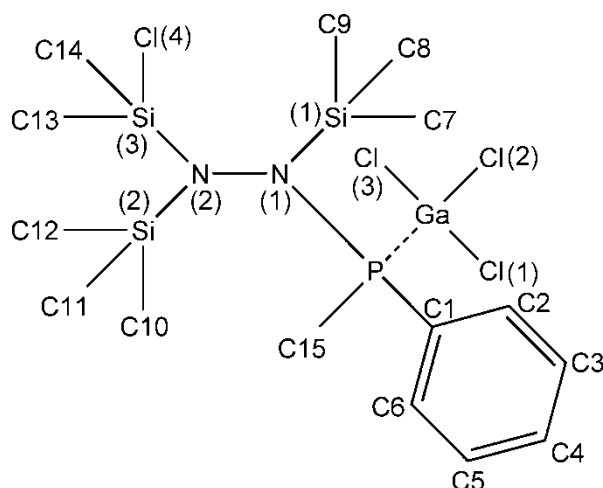


Tabelle 9. Ausgewählte Bindungslängen (Å), Winkel (°) und Diederwinkel (°) von 15.

P—N1	1.6787 (15)	N1—N2—Si3	118.48 (11)
P—C15	1.805 (2)	N1—N2—Si2	117.97 (11)
P—C1	1.8093 (19)	Si3—N2—Si2	123.23 (9)
P—Ga	2.3892 (7)	C2—C1—C6	119.6 (2)
Si1—N1	1.8047 (15)	C2—C1—P	119.09 (17)
Si1—C8	1.856 (2)	C6—C1—P	121.30 (19)
Si1—C9	1.860 (2)	N1—P—Ga—Cl3	60.89 (7)
Si1—C7	1.861 (2)	C15—P—Ga—Cl3	−179.75 (8)
Si2—N2	1.7803 (16)	C1—P—Ga—Cl3	−69.79 (8)
Si2—C10	1.860 (3)	N1—P—Ga—Cl2	−65.46 (6)
Si2—C12	1.900 (2)	C15—P—Ga—Cl2	53.91 (8)
Si2—C11	1.901 (2)	C1—P—Ga—Cl2	163.86 (8)
Si3—N2	1.7568 (16)	N1—P—Ga—Cl1	−179.50 (6)
Si3—C14	1.844 (2)	C15—P—Ga—Cl1	−60.14 (8)
Si3—C13	1.859 (2)	C1—P—Ga—Cl1	49.82 (8)

Si3—Cl4	2.0717 (9)	C15—P—N1—N2	35.80 (14)
Ga—Cl3	2.1595 (9)	C1—P—N1—N2	-80.01 (14)
Ga—Cl2	2.1681 (7)	Ga—P—N1—N2	151.04 (9)
Ga—Cl1	2.1758 (8)	C15—P—N1—Si1	-148.36 (11)
N1—N2	1.466 (2)	C1—P—N1—Si1	95.84 (12)
C1—C2	1.389 (4)	Ga—P—N1—Si1	-33.12 (12)
C1—C6	1.396 (3)	N1—P—Ga—Cl3	60.89 (7)
C2—C3	1.397 (3)	C8—Si1—N1—N2	12.05 (15)
C3—C4	1.380 (5)	C9—Si1—N1—N2	-108.30 (14)
C4—C5	1.368 (6)	C7—Si1—N1—N2	130.54 (13)
C5—C6	1.389 (3)	C8—Si1—N1—P	-163.73 (12)
N1—P—C15	109.21 (9)	C9—Si1—N1—P	75.92 (14)
N1—P—C1	112.81 (8)	C7—Si1—N1—P	-45.24 (14)
C15—P—C1	104.56 (11)	P—N1—N2—Si3	88.02 (13)
N1—P—Ga	118.30 (5)	Si1—N1—N2—Si3	-88.20 (13)
C15—P—Ga	101.45 (7)	P—N1—N2—Si2	-98.35 (12)
C1—P—Ga	109.05 (7)	Si1—N1—N2—Si2	85.43 (13)
N1—Si1—C8	108.76 (9)	C14—Si3—N2—N1	8.82 (15)
N1—Si1—C9	109.78 (9)	C13—Si3—N2—N1	133.86 (13)
N1—Si1—C7	110.54 (10)	C14—Si3—N2—N1	-110.74 (11)
N2—Si2—C10	111.75 (10)	C14—Si3—N2—Si2	-164.45 (10)
N2—Si2—C12	107.48 (9)	C13—Si3—N2—Si2	-39.41 (14)
N2—Si2—C11	114.26 (9)	C14—Si3—N2—Si2	75.99 (11)
N2—Si3—C14	114.08 (8)	C10—Si2—N2—N1	14.85 (19)
N2—Si3—C13	110.63 (9)	C12—Si2—N2—N1	135.08 (14)
N2—Si3—C14	109.55 (6)	C11—Si2—N2—N1	-105.92 (15)
C14—Si3—Cl4	106.74 (8)	C10—Si2—N2—Si3	-171.85 (16)
C13—Si3—Cl4	105.09 (8)	C12—Si2—N2—Si3	-51.61 (14)
Cl3—Ga—Cl2	111.75 (3)	C11—Si2—N2—Si3	67.38 (15)
Cl3—Ga—Cl1	109.27 (4)	N1—P—C1—C2	-78.52 (18)

Cl2—Ga—Cl1	109.80 (3)	C15—P—C1—C2	162.93 (17)
Cl3—Ga—P	119.61 (3)	Ga—P—C1—C2	55.07 (18)
Cl2—Ga—P	104.94 (3)	N1—P—C1—C6	98.66 (17)
Cl1—Ga—P	100.74 (3)	C15—P—C1—C6	-19.89 (19)
N2—N1—P	115.96 (11)	Ga—P—C1—C6	-127.75 (15)
N2—N1—Si1	117.64 (10)	P—C1—C2—C3	174.2 (2)
P—N1—Si1	126.27 (9)	P—C1—C6—C5	-174.02 (17)

6.6 Einkristall-Röntgenstrukturanalyse von *N,N',N'*-Tris(trimethylsilyl)hydrazinmethylphenylphosphan · Galliumtrichlorid-Addukt (Me₃Si)₂NN(SiMe₃)P(Me)Ph · GaCl₃ (17).

6.6.1 Angaben zur Einkristall-Röntgenstrukturanalyse von 17.

Formeleinheit	C ₁₆ H ₃₅ Cl ₃ GaN ₂ PSi ₃
Rel. Molmasse [g mol ⁻¹]	546.77
Farbe	farblos
Kristallsystem	monoklin
Raumgruppe	<i>P</i> 2 ₁ /n
<i>a</i> [Å]	9.8091(3)
<i>b</i> [Å]	15.7487(5)
<i>c</i> [Å]	17.4956(6)
α [°]	90.00
β [°]	99.759(2)
<i>V</i> [Å ³]	2663.62(15)
<i>Z</i>	4
$\rho_{\text{calc.}}$ [g cm ⁻³]	1.363
μ [mm ⁻¹]	1.535
$\lambda_{\text{MoK}\alpha}$ [Å]	0.71073
<i>T</i> [K]	173(2)
gemessene Reflexe	47351
unabhängige Reflexe	9630
Reflexzahl	7860
<i>R</i> _{int.}	0.0260
<i>F</i> (000)	1136
<i>R</i> ₁ (<i>R</i> [<i>F</i> ² > 2σ(<i>F</i> ²)])	0.0299
w <i>R</i> ₂ (<i>F</i> ²)	0.0820
GooF	1.069
Zahl der freien Parameter	245

6.6.2 Ausgewählte Bindungslängen und Winkel von 17.

Schema 28. Nummerierungsschema von 17.

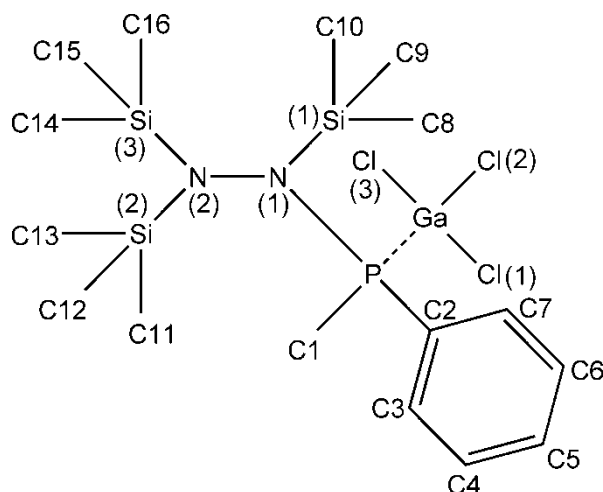


Tabelle 10. Ausgewählte Bindungslängen (Å), Winkel (°), und Diederwinkel (°) von 17.

Ga—Cl2	2.1562 (5)	C2—C3—C4	120.00 (18)
Ga—Cl1	2.1681 (4)	C5—C4—C3	119.8 (2)
Ga—Cl3	2.1723 (4)	C6—C5—C4	120.59 (16)
Ga—P	2.3876 (3)	C5—C6—C7	120.17 (19)
P—N1	1.6742 (10)	Cl2—Ga—P—N1	58.65 (5)
P—C1	1.8040 (14)	Cl1—Ga—P—N1	-67.50 (4)
P—C2	1.8104 (13)	Cl3—Ga—P—N1	178.41 (4)
N1—N2	1.4703 (14)	Cl2—Ga—P—C1	178.36 (5)
N1—Si1	1.7956 (11)	Cl1—Ga—P—C1	52.20 (5)
N2—Si3	1.7739 (11)	Cl3—Ga—P—C1	-61.89 (5)
N2—Si2	1.7749 (10)	Cl2—Ga—P—C2	-72.37 (6)
Si1—C10	1.8511 (15)	Cl1—Ga—P—C2	161.47 (5)
Si1—C9	1.8584 (17)	Cl3—Ga—P—C2	47.39 (6)
Si1—C8	1.8640 (17)	C1—P—N1—N2	37.00 (10)
Si2—C11	1.8555 (15)	C2—P—N1—N2	-79.07 (10)

Si2—C13	1.8648 (14)	Ga—P—N1—N2	151.89 (6)
Si2—C12	1.8704 (16)	C1—P—N1—Si1	-146.26 (8)
Si3—C15	1.8612 (18)	C2—P—N1—Si1	97.67 (9)
Si3—C14	1.8628 (19)	Ga—P—N1—Si1	-31.37 (8)
Si3—C16	1.8661 (19)	P—N1—N2—Si3	-100.12 (8)
C2—C3	1.381 (2)	Si1—N1—N2—Si3	82.87 (9)
C2—C7	1.397 (2)	P—N1—N2—Si2	88.94 (9)
C3—C4	1.397 (2)	Si1—N1—N2—Si2	-88.07 (9)
C4—C5	1.381 (3)	N2—N1—Si1—C10	12.86 (10)
C5—C6	1.364 (4)	P—N1—Si1—C10	-163.78 (8)
Cl2—Ga—Cl1	111.435 (18)	N2—N1—Si1—C9	-107.71 (10)
Cl2—Ga—Cl3	109.00 (2)	P—N1—Si1—C9	75.65 (10)
Cl1—Ga—Cl3	109.896 (19)	N2—N1—Si1—C8	131.20 (9)
Cl2—Ga—P	120.330 (15)	P—N1—Si1—C8	-45.45 (10)
Cl1—Ga—P	104.609 (15)	N1—N2—Si2—C11	8.45 (11)
Cl3—Ga—P	100.856 (15)	Si3—N2—Si2—C11	-161.98 (8)
N1—P—C1	109.75 (6)	N1—N2—Si2—C13	128.34 (9)
N1—P—C2	113.01 (6)	Si3—N2—Si2—C13	-42.08 (10)
C1—P—C2	104.40 (7)	N1—N2—Si2—C12	-114.10 (10)
N1—P—Ga	118.84 (4)	Si3—N2—Si2—C12	75.47 (10)
C1—P—Ga	100.61 (5)	N1—N2—Si3—C15	21.30 (12)
C2—P—Ga	108.62 (4)	Si2—N2—Si3—C15	-168.16 (10)
N2—N1—P	115.20 (8)	N1—N2—Si3—C14	141.16 (10)
N2—N1—Si1	118.56 (7)	Si2—N2—Si3—C14	-48.31 (11)
P—N1—Si1	126.16 (6)	N1—N2—Si3—C16	-100.52 (12)
N1—N2—Si3	117.58 (7)	Si2—N2—Si3—C16	70.02 (11)
N1—N2—Si2	118.83 (7)	N1—P—C2—C3	-77.06 (12)
Si3—N2—Si2	122.93 (6)	C1—P—C2—C3	163.73 (12)
N1—Si1—C10	109.45 (6)	Ga—P—C2—C3	57.05 (12)
N1—Si1—C9	109.44 (6)	N1—P—C2—C7	101.13 (12)

N1—Si1—C8	110.45 (7)	C1—P—C2—C7	-18.08 (13)
N2—Si2—C11	112.35 (6)	Ga—P—C2—C7	-124.76 (10)
N2—Si2—C13	109.26 (6)	C7—C2—C3—C4	-2.4 (2)
N2—Si2—C12	111.66 (6)	P—C2—C3—C4	175.86 (13)
N2—Si3—C15	112.27 (7)	C2—C3—C4—C5	1.0 (3)
N2—Si3—C14	107.21 (8)	C3—C4—C5—C6	0.4 (3)
N2—Si3—C16	115.35 (7)	C4—C5—C6—C7	-0.4 (3)
C3—C2—C7	119.40 (14)	C5—C6—C7—C2	-1.0 (2)
C3—C2—P	119.39 (12)	C3—C2—C7—C6	2.4 (2)
C7—C2—P	121.19 (12)	P—C2—C7—C6	-175.80 (12)

6.7 Einkristall-Röntgenstrukturanalyse von *N,N'*-Bis(trimethylsilyl)-*N*-(dimethylchlorosilyl)hydrazinmethylphenylphosphan · Aluminiumtrichlorid-Addukt (Me₃Si)(Me₂ClSi)NN(SiMe₃)P(Me)Ph · AlCl₃ (18).

6.7.1 Angaben zur Einkristall-Röntgenstrukturanalyse von 18.

Formeleinheit	C ₁₅ H ₃₂ AlCl ₄ N ₂ PSi ₃
Rel. Molmasse [g mol ⁻¹]	524.45
Farbe	farblos
Kristallsystem	monoklin
Raumgruppe	<i>P</i> 2 ₁ /n
<i>a</i> [Å]	9.7093(4)
<i>b</i> [Å]	15.8340(5)
<i>c</i> [Å]	17.5820(6)
α [°]	90.00
β [°]	100.026(2)
<i>V</i> [Å ³]	2661.73(17)
<i>Z</i>	4
$\rho_{\text{calc.}}$ [g cm ⁻³]	1.309
μ [mm ⁻¹]	0.678
$\lambda_{\text{MoK}\alpha}$ [Å]	0.71073
<i>T</i> [K]	173(2)
gemessene Reflexe	41783
unabhängige Reflexe	8468
Reflexzahl	6622
<i>R</i> _{int.}	0.0292
<i>F</i> (000)	1096
<i>R</i> ₁ (<i>R</i> [<i>F</i> ² > 2σ(<i>F</i> ²)])	0.0360
w <i>R</i> ₂ (<i>F</i> ²)	0.1025
GooF	1.052
Zahl der freien Parameter	251

6.7.2 Ausgewählte Bindungslängen und Winkel von 18.

Schema 29. Nummerierungsschema von 18.

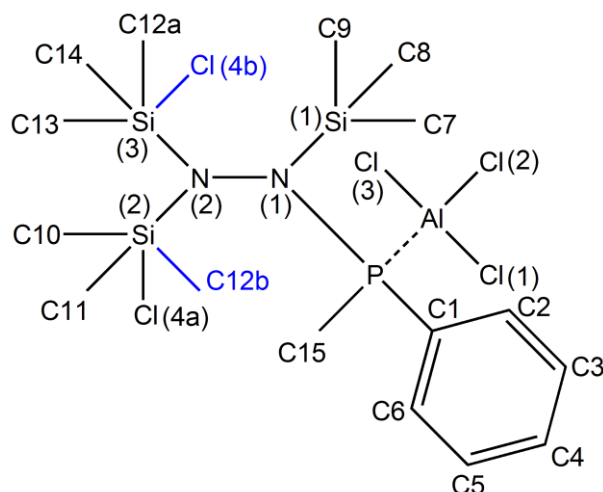


Tabelle 11. Ausgewählte Bindungslängen (Å), Winkel (°), und Diederwinkel (°) von 18.

P—N1	1.6860 (12)	C6—C1—P	121.96 (14)
P—C15	1.8100 (16)	C1—C2—C3	119.8 (2)
P—C1	1.8138 (15)	C4—C3—C2	119.9 (2)
P—Al	2.4303 (6)	N1—P—Al—Cl3	60.50 (6)
Al—Cl3	2.1108 (7)	C15—P—Al—Cl3	179.83 (6)
Al—Cl2	2.1167 (6)	C1—P—Al—Cl3	-70.77 (6)
Al—Cl1	2.1233 (7)	N1—P—Al—Cl2	-64.74 (5)
Si1—N1	1.7986 (12)	C15—P—Al—Cl2	54.59 (6)
Si1—C8	1.8575 (17)	C1—P—Al—Cl2	163.99 (6)
Si1—C9	1.8588 (19)	N1—P—Al—Cl1	-179.72 (5)
Si1—C7	1.8609 (18)	C15—P—Al—Cl1	-60.39 (6)
Si2—N2	1.7782 (12)	C1—P—Al—Cl1	49.01 (6)
Si2—C14	1.860 (2)	C15—P—N1—N2	34.60 (11)
Si2—C12A	1.873 (10)	C1—P—N1—N2	-79.20 (11)
Si2—C13	1.8992 (18)	Al—P—N1—N2	150.49 (7)

Si2—C14B	1.949 (12)	C15—P—N1—Si1	-149.22 (9)
Si3—N2	1.7527 (13)	C1—P—N1—Si1	96.98 (10)
Si3—C10	1.8457 (17)	Al—P—N1—Si1	-33.32 (10)
Si3—C11	1.8621 (16)	C8—Si1—N1—N2	11.76 (12)
Si3—C12B	1.911 (15)	C9—Si1—N1—N2	-108.66 (11)
Si3—C14A	2.0771 (8)	C7—Si1—N1—N2	130.22 (10)
N1—N2	1.4715 (15)	C8—Si1—N1—P	-164.39 (9)
C1—C2	1.392 (3)	C9—Si1—N1—P	75.18 (11)
C1—C6	1.397 (2)	C7—Si1—N1—P	-45.93 (11)
C2—C3	1.400 (3)	P—N1—N2—Si3	88.31 (10)
C3—C4	1.378 (4)	Si1—N1—N2—Si3	-88.20 (11)
C4—C5	1.373 (4)	P—N1—N2—Si2	-97.99 (10)
C5—C6	1.384 (3)	Si1—N1—N2—Si2	85.50 (10)
N1—P—C15	108.44 (7)	C10—Si3—N2—N1	8.96 (12)
N1—P—C1	111.92 (6)	C11—Si3—N2—N1	134.09 (11)
C15—P—C1	103.72 (8)	C12B—Si3—N2—N1	-120.8 (6)
N1—P—Al	119.58 (4)	C14A—Si3—N2—N1	-110.58 (9)
C15—P—Al	101.78 (6)	C10—Si3—N2—Si2	-164.39 (8)
C1—P—Al	109.73 (5)	C11—Si3—N2—Si2	-39.26 (11)
Cl3—Al—Cl2	113.29 (3)	C12B—Si3—N2—Si2	65.8 (6)
Cl3—Al—Cl1	111.17 (3)	C14A—Si3—N2—Si2	76.08 (8)
Cl2—Al—Cl1	111.54 (3)	C14—Si2—N2—N1	14.67 (14)
Cl3—Al—P	117.02 (3)	C12A—Si2—N2—N1	136.7 (6)
Cl2—Al—P	103.33 (2)	C13—Si2—N2—N1	-106.13 (12)
Cl1—Al—P	99.52 (2)	C14B—Si2—N2—N1	133.0 (7)
N1—Si1—C8	109.01 (7)	C14—Si2—N2—Si3	-171.94 (12)
N1—Si1—C9	110.04 (7)	C12A—Si2—N2—Si3	-49.9 (6)
N1—Si1—C7	110.65 (8)	C13—Si2—N2—Si3	67.26 (11)
N2—Si2—C14	111.76 (8)	C14B—Si2—N2—Si3	-53.6 (7)
N2—Si2—C12A	108.7 (6)	N1—P—C1—C2	-79.60 (14)

N2—Si2—C13	114.41 (7)	C15—P—C1—C2	163.72 (13)
N2—Si2—C14B	106.6 (6)	Al—P—C1—C2	55.61 (14)
N2—Si3—C10	114.25 (7)	N1—P—C1—C6	97.68 (14)
N2—Si3—C11	110.73 (7)	C15—P—C1—C6	-19.00 (15)
N2—Si3—C12B	104.5 (6)	Al—P—C1—C6	-127.11 (12)
N2—Si3—C14A	109.74 (5)	C6—C1—C2—C3	-2.8 (3)
N2—N1—P	116.60 (8)	P—C1—C2—C3	174.51 (15)
N2—N1—Si1	117.51 (8)	C1—C2—C3—C4	0.9 (3)
P—N1—Si1	125.78 (7)	C2—C3—C4—C5	1.1 (3)
N1—N2—Si3	118.55 (9)	C3—C4—C5—C6	-1.1 (3)
N1—N2—Si2	117.88 (9)	C4—C5—C6—C1	-0.8 (3)
Si3—N2—Si2	123.25 (7)	C2—C1—C6—C5	2.8 (2)
C2—C1—C6	119.22 (16)	P—C1—C6—C5	-174.45 (14)
C2—C1—P	118.77 (13)		

6.8 Einkristall-Röntgenstrukturanalyse von *N,N'*-Bis(trimethylsilyl)-*N*-(dimethylchlorosilyl)hydrazin(pentafluorphenyl)methylphosphan (Me₃Si)(Me₂ClSi)NN(SiMe₃)P(C₆F₅)Me (20).

6.8.1 Angaben zur Einkristall-Röntgenstrukturanalyse von 20.

Formeleinheit	C ₁₅ H ₂₇ ClF ₅ N ₂ PSi ₃
Rel. Molmasse [g mol ⁻¹]	481.08
Farbe	farblos
Kristallsystem	<u>monoklin</u>
Raumgruppe	<i>P</i> 2 ₁ / <i>c</i>
<i>a</i> [Å]	16.6656(8)
<i>b</i> [Å]	9.3800(4)
<i>c</i> [Å]	15.2884(8)
α [°]	90.00
β [°]	99.467(2)
γ [°]	90.00
<i>V</i> [Å ³]	2357.4(2)
<i>Z</i>	4
$\rho_{\text{calc.}}$ [g cm ⁻³]	1.355
μ [mm ⁻¹]	0.425
$\lambda_{\text{MoK}\alpha}$ [Å]	0.71073
<i>T</i> [K]	173(2)
gemessene Reflexe	25693
unabhängige Reflexe	4628
Reflexzahl	3312
<i>R</i> _{int.}	0.0422
<i>F</i> (000)	1000
<i>R</i> ₁ (<i>R</i> [<i>F</i> ² > 2σ(<i>F</i> ²)])	0.1030
w <i>R</i> ₂ (<i>F</i> ²)	0.2632
GooF	1.068
Zahl der freien Parameter	471

6.8.2 Ausgewählte Bindungslängen und Winkel von **20**.

Schema 30. Nummerierungsschema von **20**.

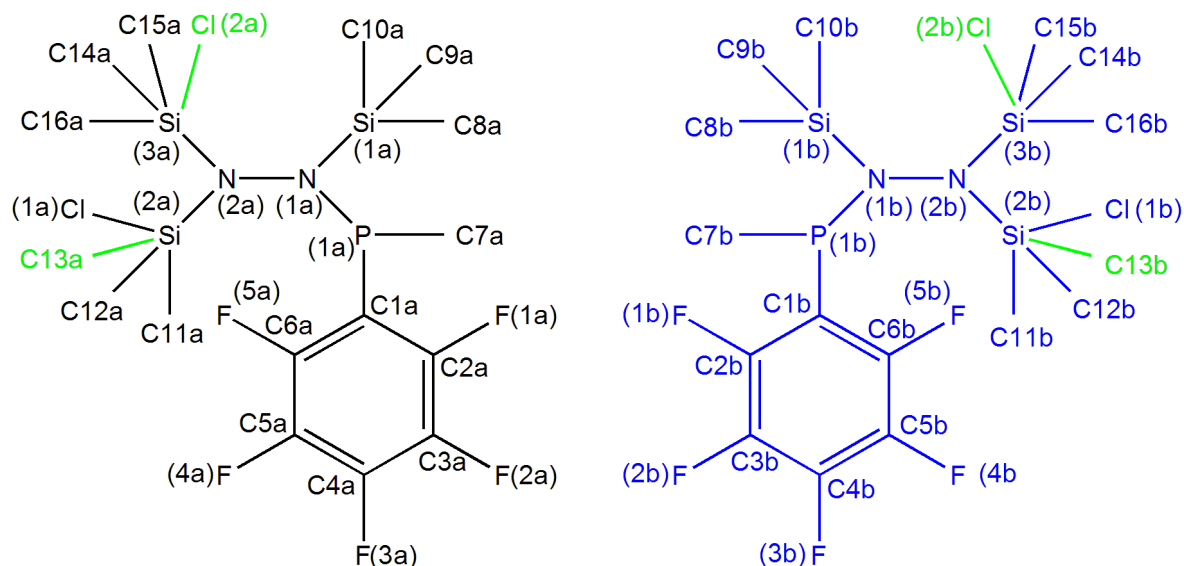


Tabelle 12. Ausgewählte Bindungslängen (Å), Winkel (°), und Diederwinkel (°) von **20** (nur Daten der Hauptkomponente des fehlgeordneten Moleküls sind dargestellt).

P1A—N1A	1.689 (9)	C3A—C2A—C1A	120.0
P1A—C1A	1.897 (9)	F2A—C3A—C2A	120.1 (17)
P1A—C7A	1.97 (7)	F2A—C3A—C4A	119.8 (17)
N1A—N2A	1.492 (11)	C2A—C3A—C4A	120.0
N1A—Si1A	1.762 (9)	F3A—C4A—C5A	118.6 (16)
N2A—Si2A	1.741 (10)	F3A—C4A—C3A	121.3 (16)
N2A—Si3A	1.777 (11)	C5A—C4A—C3A	120.0
Si1A—C9A	1.79 (2)	F4A—C5A—C4A	121.3 (17)
Si1A—C8A	1.83 (2)	F4A—C5A—C6A	118.7 (17)
Si1A—C10A	1.89 (3)	C4A—C5A—C6A	120.0
Si2A—C11A	1.83 (5)	F5A—C6A—C5A	120.0 (17)
Si2A—C13A	1.8600 (11)	F5A—C6A—C1A	120.0 (17)
Si2A—C12A	1.89 (2)	C1A—P1A—N1A—N2A	-56.4 (10)
Si2A—Cl1A	2.026 (8)	C7A—P1A—N1A—N2A	56 (2)

Si3A—C16A	1.83 (2)	C1A—P1A—N1A—Si1A	119.8 (8)
Si3A—C15A	1.8600 (12)	C7A—P1A—N1A—Si1A	-128 (2)
Si3A—C14A	1.933 (19)	P1A—N1A—N2A—Si2A	103.7 (9)
Si3A—C12A	1.990 (15)	Si1A—N1A—N2A—Si2A	-72.4 (10)
C1A—C2A	1.3900	P1A—N1A—N2A—Si3A	-92.6 (9)
C1A—C6A	1.3900	Si1A—N1A—N2A—Si3A	91.3 (9)
C2A—F1A	1.306 (9)	N2A—N1A—Si1A—C9A	-152.2 (11)
C2A—C3A	1.3900	P1A—N1A—Si1A—C9A	31.6 (10)
C3A—F2A	1.346 (11)	N2A—N1A—Si1A—C8A	92.1 (12)
C3A—C4A	1.3900	P1A—N1A—Si1A—C8A	-84.1 (11)
C4A—F3A	1.374 (12)	N2A—N1A—Si1A—C10A	-34.4 (15)
C4A—C5A	1.3900	P1A—N1A—Si1A—C10A	149.4 (12)
C5A—F4A	1.319 (12)	N1A—N2A—Si2A—C11A	-37.1 (14)
C5A—C6A	1.3900	Si3A—N2A—Si2A—C11A	160.4 (12)
C6A—F5A	1.306 (12)	N1A—N2A—Si2A—C13A	106.9 (18)
N1A—P1A—C1A	108.0 (5)	Si3A—N2A—Si2A—C13A	-55.6 (19)
N1A—P1A—C7A	108 (3)	N1A—N2A—Si2A—C12A	-151.9 (10)
C1A—P1A—C7A	105 (2)	Si3A—N2A—Si2A—C12A	45.7 (11)
N2A—N1A—P1A	121.0 (7)	N1A—N2A—Si2A—C11A	87.7 (9)
N2A—N1A—Si1A	120.8 (7)	Si3A—N2A—Si2A—C11A	-74.8 (9)
P1A—N1A—Si1A	118.1 (5)	N1A—N2A—Si3A—C16A	-4.9 (15)
N1A—N2A—Si2A	119.6 (8)	Si2A—N2A—Si3A—C16A	158.3 (14)
N1A—N2A—Si3A	115.5 (7)	N1A—N2A—Si3A—C15A	-111.4 (17)
Si2A—N2A—Si3A	122.8 (6)	Si2A—N2A—Si3A—C15A	51.7 (18)
N1A—Si1A—C9A	109.5 (8)	N1A—N2A—Si3A—C14A	115.5 (9)
N1A—Si1A—C8A	112.8 (8)	Si2A—N2A—Si3A—C14A	-81.3 (9)
C9A—Si1A—C8A	104.3 (9)	N1A—N2A—Si3A—C12A	-123.7 (8)
N1A—Si1A—C10A	113.3 (11)	Si2A—N2A—Si3A—C12A	39.4 (10)
C9A—Si1A—C10A	105.8 (14)	N1A—P1A—C1A—C2A	79.7 (8)
C8A—Si1A—C10A	110.5 (15)	C7A—P1A—C1A—C2A	-35 (3)

N2A—Si2A—C11A	112.5 (16)	N1A—P1A—C1A—C6A	-101.6 (8)
N2A—Si2A—C13A	116.1 (18)	C7A—P1A—C1A—C6A	144 (3)
C11A—Si2A—C13A	120 (2)	C6A—C1A—C2A—F1A	178.8 (13)
N2A—Si2A—C12A	108.1 (8)	P1A—C1A—C2A—F1A	-2.5 (12)
C11A—Si2A—C12A	104.4 (14)	C6A—C1A—C2A—C3A	0.0
C13A—Si2A—C12A	91.7 (16)	P1A—C1A—C2A—C3A	178.7 (8)
N2A—Si2A—C11A	113.3 (5)	F1A—C2A—C3A—F2A	3.6 (11)
C11A—Si2A—C11A	109.4 (11)	C1A—C2A—C3A—F2A	-177.5 (12)
C13A—Si2A—C11A	17.7 (14)	F1A—C2A—C3A—C4A	-178.9 (12)
C12A—Si2A—C11A	108.6 (8)	C1A—C2A—C3A—C4A	0.0
N2A—Si3A—C16A	111.8 (7)	F2A—C3A—C4A—F3A	-1.2 (14)
N2A—Si3A—C15A	112 (2)	C2A—C3A—C4A—F3A	-178.7 (12)
C16A—Si3A—C15A	96.1 (19)	F2A—C3A—C4A—C5A	177.5 (12)
N2A—Si3A—C14A	111.1 (7)	C2A—C3A—C4A—C5A	0.0
C16A—Si3A—C14A	107.7 (11)	F3A—C4A—C5A—F4A	0.4 (13)
C15A—Si3A—C14A	117.2 (17)	C3A—C4A—C5A—F4A	-178.4 (15)
N2A—Si3A—C12A	107.1 (7)	F3A—C4A—C5A—C6A	178.8 (12)
C16A—Si3A—C12A	108.6 (12)	C3A—C4A—C5A—C6A	0.0
C15A—Si3A—C12A	12.5 (16)	F4A—C5A—C6A—F5A	-3.4 (12)
C14A—Si3A—C12A	110.5 (6)	C4A—C5A—C6A—F5A	178.2 (12)
C2A—C1A—C6A	120.0	F4A—C5A—C6A—C1A	178.4 (15)
C2A—C1A—P1A	125.2 (14)	C4A—C5A—C6A—C1A	0.0
C6A—C1A—P1A	114.8 (14)	C2A—C1A—C6A—F5A	-178.2 (12)
F1A—C2A—C3A	116.4 (17)	P1A—C1A—C6A—F5A	3.0 (12)
F1A—C2A—C1A	123.6 (17)	C2A—C1A—C6A—C5A	0.0

7. Literatur.

- 1 D. Michalik, A. Schulz, A. Villinger, *Inorg. Chem.* **2008**, *47*, 11798-11806.
- 2 A. Schulz, P. Mayer, A. Villinger, *Inorg. Chem.* **2007**, *46*, 8316-8322.
- 3 A. Villinger, A. Westenkirchner, R. Wustrack, A. Schulz, *Inorg. Chem.* **2008**, *47*, 9140-9142.
- 4 R. Kuzora, A. Schulz, A. Villinger, R. Wustrack, *Dalton Transactions* **2009**, 3904-3011.
- 5 A. F. Holleman and E. Wiberg, *Lehrbuch der Anorganischen Chemie*, W. de Gryter, Berlin, New York, 1995, 102. Aufl., Anhang V.
- 6 G. Fischer, S. Herler, P. Mayer, A. Schulz, A. Villinger, J. J. Weigand, *Inorg. Chem.* **2005**, *44*, 1740-1751.
- 7 D. An, K. Toyota, M. Yasunami, M. Yoshifuji, *Heteroatom Chem.* **1995**, *1*, 33-40.
- 8 M. Schaffrath, A. Villinger, D. Michalik, U. Rosenthal, A. Schulz, *Organometallics* **2008**, *27*, 1393-1398.
- 9 M. Mantina, A. C. Chamberlin, R. Valero, C. J. Cramer, D. G. Truhlar, *J. Phys. Chem. A* **2009**, *113*, 5806-5812.
- 10 N. Burford, T. S. Cameron, D. J. LeBlanc, P. Losier, S. Sereda, G. Wu, *Organometallics* **1997**, *16*, 4712-4717.

-
- 11 E. Niecke and D. Gudat, *Angew. Chem.* **1991**, *103*, 251-270; *Angew. Chem., Int. Ed. Engl.* **1991**, *30*, 217-237.
- 12 C. Hubrich, D. Michalik, A. Schulz, A. Villinger, *Z. Anorg. Allg. Chem.* **2008**, *634*, 1403-1408.
- 13 G. M. Whitesides, F. D. Gutowski, *J. Org. Chem.* **1976**, *17*, 2882-2885.
- 14 a) K. Seppelt, W. Sundermeyer, *Chem. Ber.* **1969**, *102*, 1247-1252. b) N. Metzler, H. Nöth, H. Sachdev, *Angew. Chem.* **1994**, *106*, 1837-1839. N. Metzler, H. Nöth, H. Sachdev, *Angew. Chem., Int. Ed. Engl.* **1994**, *17*, 1746-1747. c) K. Bode, U. Klingebiel, M. Noltemeyer, H. Witte-Abel, *Z. Anorg. Allg. Chem.* **1995**, *621*, 500-505.
- 15 E. Niecke, O. Altmeyer, M. Nieger, F. Knoll, *Angew. Chem.* **1987**, *99*, 1299-1300. E. Niecke, O. Altmeyer, M. Nieger, F. Knoll. *Angew. Chem., Int. Ed. Engl.* **1987**, *26*, 1256-1257.
- 16 H. J. Bestmann, J. Lienert, E. Heid, *Chem. Ber.* **1982**, *115*, 3875-3879.
- 17 M. Kuprat, M. Lehmann, A. Schulz, A. Villinger, *Organometallics* **2010**, *29*, 1421-1427.
- 18 M. Yoshifuji. In *Handbuch der Präparativen Anorganischen Chemie*, S. 118-122, 4. Aufl., Engl.; Karsch, H. H. Ed.; Thieme-Verlag: Stuttgart.
- 19 C. B. Fischer, S. Xu, H. Zipse, *Chem. Eur. J.* **2006**, *12*, 5779-5784.
- 20 Sheldrick, G. M.: SHELXS-97: Program for the Solution of Crystal Structures, University of Göttingen, Germany **1997**.
- 21 Sheldrick, G. M.: SHELXL-97: Program for the Refinement of Crystal Structures, University of Göttingen, Germany **1997**.

22 Sheldrick, G. M.: SADABS. Version 2. University of Göttingen, Germany **2004**.